

MINISTERUL EDUCAȚIEI SI INVATAMINTULUI  
INSTITUTUL POLITEHNIC "TRAIAN VUIA" DIN TIMIȘOARA  
FACULTATEA DE ELECTROTEHNICA

ing. EUGEN MÂRZA

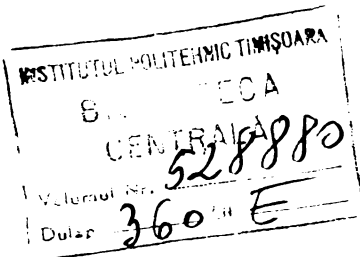
ASUPRA POSIBILITATILOR DE GENERARE A UNOR  
SEMNALE CU FORMA PROGRAMATA PRIN METODE  
DE CONVERSIE NUMERIC-ANALOGICA

TEZA DE DOCTORAT

BIBLIOTECA CENTRALĂ  
UNIVERSITATEA "POLITEHNICA"  
TIMIȘOARA

CONDUCATOR STIINȚIFIC:  
**Prof.dr.ing. EUGEN POP**

Timișoara - 1987





Această teză constituie rezultatul unei activități de cercetare susținute, concentrată îndeosebi în ultimii trei ani și desfășurată sub îndrumarea competentă și plină de înțelegere a conducerului științific, profesor dr.ing. Eugen Pop.

Pentru sfaturile și încurajările primite pe întreaga durată a pregătirii lucrării, pentru sprijinul profesional și moral precum și pentru răbdarea de care a dat dovedă fi aduc cele mai calde mulțumiri și îi rămîn profund îndatorat.

Aduc mulțumirile mele profesorului dr.ing. Anton Policec pentru înțelegerea de care a dat dovedă precum și pentru tehnica de calcul pe care mi-a pus-o la dispoziție, cu generozitate, ceea ce mi-a permis rularea unui număr mare de programe de calcul finalize prin numeroasele tabele cu date prezentate pe parcursul tezei, experimentarea diferenților algoritmilor și realizarea unui generator de semnale cu formă programabilă arbitrar.

Mulțumesc doamnei Mierluț Nelica și doamnei Maghetiu Elena pentru calitatea redactării acestei lucrări.

De asemenea, mulțumesc tuturor colegilor și prietenilor care m-au ajutat în diverse ocazii în perioada elaborării tezei.

ing. Eugen Mărza



C U P R I N S

INTRODUCERE . . . . .	1
Cap.1. BAZELE TEORETICE SI STADIUL ACTUAL AL SISTEMELOR DE RECONSTRUCTIE FIZICA . . . . .	4
1.1. Reconstituirea semnalelor eșantionate . . . . .	4
1.2. Reconstrucția fizică prin interpolare . . . . .	6
1.2.1. Generalități . . . . .	6
1.2.2. Interpolarea ideală . . . . .	7
1.2.3. Interpolarea reală . . . . .	8
1.2.4. Spectrul funcției de interpolare în cazul semnalelor aperiodice . . . . .	8
1.2.5. Spectrul funcției de interpolare în cazul semnalelor periodice . . . . .	10
1.3. Convertorul numeric-analogic . . . . .	13
1.3.1. Parametrii statici ai convertorului numeric-analogic . . . . .	13
1.3.2. Parametrii dinamici ai convertorului numeric-analogic . . . . .	14
1.3.3. Sisteme de conversie N/A cu interpolare liniară . . . . .	15
1.4. Interpolarea combinată . . . . .	16
1.4.1. Principiul interpolării numerice . . . . .	16
1.4.2. Spectrul semnalului reconstituit în cazul interpolării combinate . . . . .	18
1.5. Sisteme de interpolare numerică . . . . .	20
1.5.1. Funcționarea și construcția sistemelor de interpolare numerică . . . . .	20
1.5.2. Proiectarea sistemelor de interpolare numerică . . . . .	22
1.5.3. Metode de proiectare în domeniul fréquentă . . . . .	22
1.5.4. Metode de proiectare în domeniul timp . . .	23
Cap.2. NUCLEU POLINOMIALE DE INTERPOLARE . . . . .	24
2.1. Generalități . . . . .	24
2.2. Condițiile impuse nucleelor polinomiale . . . . .	24
2.3. Nucleul de interpolare în cazul N=1 . . . . .	26
2.4. Nucleul de interpolare în cazul N=2 . . . . .	27
2.5. Nucleul de interpolare în cazul N=3 . . . . .	29

2.6. Nucleul de interpolare în cazul N=4 . . . . .	29
2.7. Construcția unui nucleu de interpolare de ordinul trei cu performanțe ridicăte . . . . .	33
2.8. Compararea nucleelor de ordinul trei (în cazul N=4) pe baza răspunsului în frecvență . . . . .	35
<b>Cap.3. UTILIZAREA ERORII MEDII PATRATICE LA ESTIMAREA PERFORMANȚELOR UNUI SISTEM DE INTERPOLARE . . . . .</b>	<b>38</b>
3.1. Introducere . . . . .	38
3.2. Cazul interpolării într-o singură fază . . . . .	38
3.3. Cazul interpolării în două faze consecutive . . . . .	42
3.4. Interpretarea erorii globale la interpolarea în două faze consecutive . . . . .	45
<b>Cap.4. COMPARAREA SISTEMELOR DE INTERPOLARE CU AJUTORUL ERORII MEDII PATRATICE . . . . .</b>	<b>47</b>
4.1. Posibilitățile practice de aplicare a erorii medii pătratice . . . . .	47
4.2. Cazul semnalului cu densitate de putere constantă ( $S_1$ ) . . . . .	47
4.3. Cazul semnalului cu densitate de putere uniform descrescătoare cu frecvență ( $S_2$ ) . . . . .	49
4.4. Cazul semnalului cu densitate de putere uniform crescătoare cu frecvență ( $S_3$ ) . . . . .	50
4.5. Compararea nucleelor de interpolare (sisteme de interpolare într-o singură fază) . . . . .	51
4.6. Compararea nucleelor în cazul semnalului cu densitate de putere constantă . . . . .	51
4.7. Compararea nucleelor în cazul semnalului cu densitate de putere uniform descrescătoare . . . . .	55
4.8. Compararea nucleelor în cazul semnalului cu densitate de putere uniform crescătoare . . . . .	58
4.9. Concluzii privind performanțele nucleelor polinomiale de interpolare . . . . .	61
4.10. Compararea sistemelor de interpolare în două faze consecutive, fază a două (de interpolare analogică) fiind un CNA (ZOH) . . . . .	62
4.11. Compararea sistemelor de interpolare în două faze consecutive care utilizează în ambele faze nucle polinomiale de ordin superior . . . . .	72

<b>Cap.5. CRESTEREA PRECIZIEI SISTEMELOR DE INTERPOLARE PRIN MINIMIZAREA ERORII MEDII PATRATICE. CAZUL OPTIMAL . . . . .</b>	<b>77</b>
<b>5.1. Introducere . . . . .</b>	<b>77</b>
<b>5.2. Nucleul optimal de interpolare . . . . .</b>	<b>77</b>
<b>5.3. Studiul cazului optimal pentru N=2 . . . . .</b>	<b>79</b>
<b>5.4. Studiul cazului optimal pentru N=4 . . . . .</b>	<b>85</b>
<b>5.5. Studiul interpolării în două faze consecutive, prima fază fiind optimă iar faza a doua fiind un CNA . . . . .</b>	<b>90</b>
<b>5.6. Nucleul optimal pentru faza a doua de interpolare . . . . .</b>	<b>92</b>
<b>5.7. Estimarea erorilor unui sistem de interpolare în două faze consecutive care utilizează în faza a doua un nucleu optimă . . . . .</b>	<b>95</b>
<b>5.8. Estimarea erorilor unui sistem de interpolare în două faze care utilizează în ambele faze nuclee optimale . . . . .</b>	<b>96</b>
<b>Cap.6. POSIBILITATI DE IMPLEMENTARE SI CONCLUZII PRIVIND NUCLELELE DE INTERPOLARE . . . . .</b>	<b>99</b>
<b>6.1. Posibilitățile de implementare a sistemelor de interpolare . . . . .</b>	<b>99</b>
<b>6.1.1. Sisteme de interpolare de tip real . . . . .</b>	<b>99</b>
<b>6.1.2. Generatoare de semnal de formă arbitrară . . .</b>	<b>103</b>
<b>6.2. Descrierea instalației experimentale utilizate pentru implementarea algoritmilor de interpolare. . .</b>	<b>106</b>
<b>6.3. Concluzii privind performanțele și facilitățile de implementare a diferitelor tipuri de nuclee de interpolare . . . . .</b>	<b>108</b>
<b>6.3.1. Nucleele polinomiale . . . . .</b>	<b>108</b>
<b>6.3.2. Nucleele optimale . . . . .</b>	<b>109</b>
<b>CONTRIBUTII . . . . .</b>	<b>111</b>
<b>BIBLIOGRAFIE . . . . .</b>	<b>115</b>
<b>ANEXA . . . . .</b>	<b>123</b>

## INTRODUCERE

Procesarea numerică a semnalelor analogice reprezintă o problemă de actualitate care stă și va mai rămâne mult timp în atenția specialistilor din domeniul electronicii și telecomunicațiilor.

La baza transmisiei, stocării și prelucrării numerice a semnalelor analogice se găsește teorema eşantionării, ale cărei fundamente teoretice au fost puse de J.M.Whittaker, Kotelnikov și C.Shannon în prima jumătate a acestui secol.

Această teoremă joacă rolul unei punți de legătură între semnalele analogice (continue în timp sau continue) și semnalele numerice (discrete în timp). În anumite condiții, precizate de această teoremă, un semnal analogic poate fi complet reprezentat prin valorile sale instantanee (eşantioane), plasate uniform sau neuniform în timp, ceea ce face posibilă reconstituirea sa /13, 66, 75, 79, 101/. În domeniul telecomunicațiilor, aplicația acestei teoreme a permis transmiterea simultană a mai multor semnale pe același canal fizic prin separarea lor în timp (multiplexare temporală). Pe baza ei s-au dezvoltat tehnici analogice de transmisie cum ar fi modularea impulsurilor în amplitudine, durată, poziție sau frecvență, precum și tehnici numerice, în cadrul căror locul principal îl deține modularea impulsurilor în cod (PCM) /76, 96, 104/. Dezvoltarea explozivă a circuitelor numerice în ultimele două decenii a asigurat suportul fizic pentru realizarea de sisteme, care utilizează tehnica PCM, din ce în ce mai complexe, începînd cu telefonia și ajungînd la comunicațiile prin sateliți.

Eficiența acestor sisteme a fost ridicată în mod continuu în sensul creșterii cantității de informații transmise pe un canal, în condițiile reducerii probabilității de eroare și a ridicării calității semnalului recepționat. Principalele direcții de acțiune în acest sens sunt creșterea vitezei de transmisie, mărirea numărului de căi multiplexate și reducerea numărului de

eșantioane transmise.

Teorema eșantionării fixează limita inferioară a frecvenței de eșantionare a unui semnal analogic, garantând posibilitatea teoretică de reconstituire perfectă a semnalului la recepție.

Calitatea semnalului reconstituit va depinde însă și de performanțele sistemului de reconstrucție fizică a semnalului recepționat.

Conversia numeric-analogică, în strânsă corelație cu frecvența de eșantionare, joacă rolul fundamental în procesul de reconstrucție a semnalului analogic original.

Un alt domeniu de actualitate în tehnica electronică modernă îl constituie realizarea de generatoare de semnale cu formă arbitrară, cu largi utilizări în testarea aparaturii de laborator, biomedicale precum și a echipamentelor de telecomunicații. În cazul acestor aparatelor problema fundamentală o constituie generația unui semnal analogic pornind de la o secvență de date numerice (eșantioane) prelucrate și stocate în memoria aparatului /14, 30, 60/.

Spre deosebire de semnalul recepționat dintr-un canal de telecomunicații și care are o variație aleatoare în timp, în acest caz, caracterul semnalului este determinist. Cu toate acestea, problemele care se pun sistemului de reconstrucție rămân aceleași.

Prezenta teză de doctorat conține rezultatele cercetărilor autorului orientate asupra sistemelor de conversie numeric-analogică destinate reconstituirii fidele a unui semnal analogic, pornind de la eșantioanele sale aflate sub forma unei secvențe numerice.

În primul capitol se prezintă bazele teoretice ale reconstrucției fizice a semnalelor eșantionate. Pentru început sunt reliefate modelele de semnal ale sistemelor de interpolare precum și structura spectrală a semnalelor reconstituite.

Analiza stadiului actual al sistemelor de reconstrucție fidelă pune în evidență limitele sistemelor analogice de interpolare, prezintă soluția actuală de interpolare combinată și trece în revistă principalele metode de analiză și proiectare a sistemelor de interpolare numerică.

În capitolul al doilea se analizează condițiile pe care trebuie să le îndeplinească nucleele polinomiale de interpolare.

Pentru cazul în care funcția de interpolare se construiește pe baza a patru eșantioane consecutive, sunt analizate trei

tipuri de nuclee polinomiale consacrate și se construiește un al patrulea tip original. Se efectuează o comparație între cele patru nuclee, pe baza răspunsului în frecvență.

In capitolul al treilea se prezintă și se dezvoltă o metodă de estimare și comparare a performanțelor sistemelor de interpolare bazată pe evaluarea erorii medii pătratice.

In capitolul al patrulea se efectuează diverse comparații între sisteme de interpolare polinomială, pe baza metodei dezvoltate în capitolul precedent.

In capitolul cinci se analizează proprietățile și performanțele nucleelor de interpolare optimă (din punct de vedere al erorii medii pătratice).

In capitolul săse sănătățile de implementare practică a diferitelor tipuri de nuclee, se descrie o instalație experimentală pentru utilizarea interpolării la generarea de semnale de formă arbitrară și se trag o serie de concluzii privind performanțele de ansamblu ale diferitelor nuclee de interpolare.

Teza se încheie cu prezentarea principalelor contrăbutuții ale autorului la problematica abordată.

## CAPITOLUL 1.

### BAZELE TEORETICE SI STADIUL ACTUAL AL SISTEMELOR DE RECONSTRUCTIE FIZICA

#### 1.1. Reconstituirea semnalelor esantionate

Conversia unei secvențe de date într-un semnal analogic reprezintă un proces complex ale cărui performanțe sunt strâns legate de modul de obținere a secvenței de date generatoare.

Secvența de date poate fi rezultatul unui proces de conversie A/N aplicat unui semnal continual real sau poate proveni dintr-un sistem de calcul. În ambele situații, semnalul parcurge un lanț de transformări ce poate fi privit în mod unitar conform figurii nr.1.1 /26, 45, 66, 101, 103, 104/.

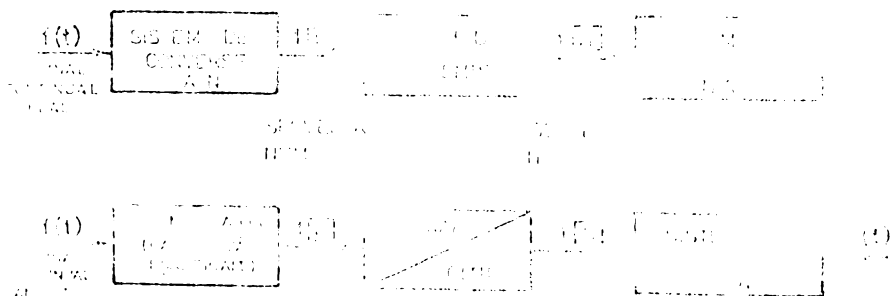


Fig.1.1.

Sistemul de generare a secvenței numerice  $f[n]$  poate fi în ambele situații echivalat cu modelul de semnal prezentat în figura 1.2 /66, 69, 77, 80/.

În modul sămănător, sistemul de conversie a secvenței numerice în semnal continual se poate echivala cu modelul de semnal

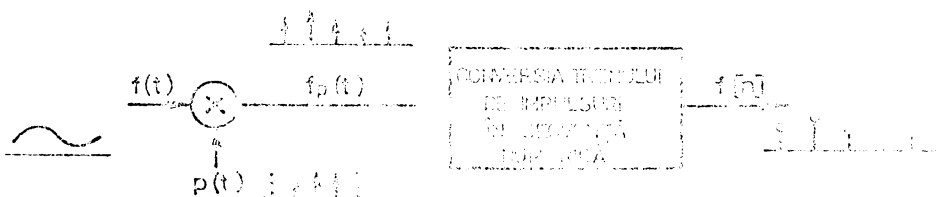


Fig.1.2.

prezentat în figura 1.3 /56, 66, 59, 70, 77, 78, 80, 100/.

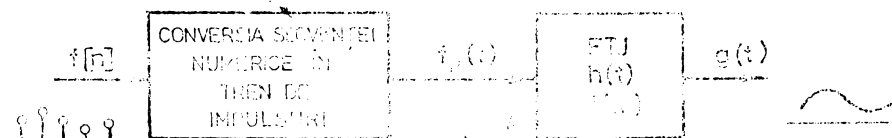


Fig.1.3.

In cazul ideal (în care se neglijăază efectele cuantizării și posibilitățile de apariție a erorilor în procesul de transmisie sau stocare),

Conectarea în cascadă a modelelor prezentate în figurile 1.2 și 1.3 conduce la modelul echivalent pentru întregul lanț de semnal conform figurii 1.4.

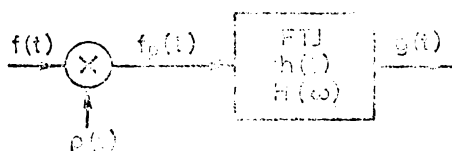


Fig.1.4.

Modelul prezentat în figura 1.4 are acoperire matematică prin teorema eșantionării. Dacă filtrul trece-jos este ideal și semnalul  $f(t)$  îndeplinește toate condițiile cerute de teorema eșantionării, semnalul reconstituit  $g(t)$  va fi identic cu semnalul original  $f(t)$  /66, 69, 103/.

Utilizarea unui filtru trece-jos real va avea ca efect generarea unei funcții  $g(t)$  care va fi diferită de funcția originală /69/.

Proiectarea unui sistem de reconstrucție fizică trebuie realizată în condițiile reducerii erorilor de reconstituire sub un anumit nivel, impus de aplicația căreia îi este destinat sistemul respectiv. În cele ce urmează, pentru a pune în evidență doar contribuția la eroare a sistemului de reconstrucție, procesul de eșantionare se va considera ideal.

### 1.2. Reconstrucția fizică prin interpolare

#### 1.2.1. Generalități

Reconstrucția unui semnal prin interpolare reprezintă un proces de aproximare de un tip special, în care funcția de interpolare trebuie să coincidă cu semnalul original în anumite puncte, denumite noduri de interpolare /38, 55, 105/.

Notând cu  $f(t)$  semnalul original și cu  $g(t)$  funcția de interpolare, trebuie respectată condiția  $g(x_k) = f(x_k)$  unde  $x_k$  reprezintă un nod de interpolare.

O primă posibilitate de interpolare este utilizarea unui polinom de un anumit grad impus, care să îndeplinească această condiție. Interpolarea prin polinoame poate fi însă divergentă /55, 67/. În al doilea rînd, un sistem de reconstrucție fizică, ce trebuie să funcționeze în timp real, nu poate fi realizat pe această cale întrucât secvența semnalului de intrare poate dura un timp nedeterminat, ceea ce va face imposibilă calcularea polinomului de interpolare în timpul în care sosește secvența.

Funcția de interpolare care are proprietatea de a converge către funcția continuă pe care o interpolează este funcția Spline, o funcție segmentar polinomială, segmentele de polinoame, care o compun, racordindu-se în noduri împreună cu un anumit număr de derivate ale acestora /22, 37, 55/. Funcția de interpolare poate fi exprimată ca o combinație liniară de forma (1.1):

$$g(x) = \sum_{k=-\infty}^{\infty} c_k h_k \left( \frac{x-x_k}{T_s} \right) \quad (1.1)$$

În această expresie,  $c_k$  reprezintă un set de coeficienți care sunt egali cu eșantioanele funcției interpolate iar  $h_k$  reprezintă nucleul de interpolare folosit și care asigură realizarea in-

terpolării de tip Spline. Cu  $T_s$  s-a notat perioada de eşantionare care, în cele ce urmează se va considera constantă (eşantionare uniformă).

### 1.2.2. Interpolarea ideală

Revenind la modelul de semnal din figura 1.4, în care  $p(t)$  reprezintă trenul de impulsuri  $\delta$ , folosit la eşantionarea uniformă ideală, acesta are expresia:

$$p(t) = \sum_{n=-\infty}^{\infty} \delta(t-nT_s) \quad (1.2)$$

unde cu  $T_s$  s-a notat raportul  $2\pi/\omega_s$  ce reprezintă pasul de eşantionare.

Multiplicarea semnalului original  $f(t)$  cu trenul de impulsuri  $p(t)$  conduce la trenul modulat  $f_p(t)$  având expresia:

$$f_p(t) = f(t) \cdot p(t) = \sum_{n=-\infty}^{\infty} f(nT_s) \cdot \delta(t-nT_s) \quad (1.3)$$

Aplicînd convoluţia în timp a semnalului  $f_p(t)$  cu răspunsul la impuls al sistemului de reconstrucţie  $h(t)$  se obține expresia funcţiei de interpolare  $g(t)$  conform relaţiei /66, 70, 77, 102/ :

$$g(t) = f_p(t) * h(t) = \sum_{n=-\infty}^{\infty} f(nT_s) h(t-nT_s) \quad (1.4)$$

In cazul ideal (utilizînd un filtru trece-jos ideal) răspunsul la impuls  $h(t)$  are expresia dată de relaţia /13, 66, 77, 80/ :

$$h_{id}(t) = \frac{\sin \frac{\pi t}{T_s}}{\frac{\pi t}{T_s}} = \sin c \frac{t}{T_s} \quad (1.5)$$

Funcţia de interpolare care se obține în acest caz are expresia:

$$g(t) = \sum_{n=-\infty}^{\infty} f(nT_s) \sin c \frac{t-nT_s}{T_s} \quad (1.6)$$

In această expresie  $f(nT_s)$  reprezintă eșantioanele semnalului original iar  $\sin c \frac{t-nT_s}{T_s}$  este nucleul ideal de interpolare, translatat pe axa timpului.

In condiţiile în care este respectată teorema eşantionării, funcţia  $g(t)$  dată de relaţia (1.6) reprezintă o interpolare perfectă a semnalului original.

Procesul de interpolare ideală este reprezentat sugestiv prin figura 1.5.



Fig.1.5.

#### 1.2.3. Interpolarea reală

Utilizarea practică a nucleului ideal de interpolare este imposibilă datorită faptului că acesta reprezintă răspunsul la impuls al unui FIJ ideal și prin urmare este de durată infinită /69/.

Un sistem fizic de reconstrucție a unui semnal eșantionat va avea întotdeauna un răspuns la impuls de durată finită. Acest fapt face ca funcția de interpolare să difere întotdeauna de funcția interpolată (cu excepția valorilor din nodurile de interpolare). O posibilitate de apreciere a diferențelor dintre funcția originală și cea de interpolare este oferită de analiza în domeniul frecvență.

#### 1.2.4. Spectrul funcției de interpolare în cazul semnalelor aperiode

În ipoteza că semnalul original  $f(t)$  admite o transformată Fourier  $F(\omega)$  și în plus este de bandă limitată (adică  $F(\omega)=0$  pentru  $|\omega| > \omega_c$ ), utilizând o frecvență de eșantionare  $\omega_s \geq 2\omega_c$ , se

obține pentru semnalul  $f_p(t)$  transformata Fourier  $F_p(\omega)$  dată de relația /66, 68/ :

$$F_p(\omega) = \frac{1}{2\pi} [F(\omega) * P(\omega)] \quad (1.7)$$

Tinând seama de faptul că  $P(\omega)$  reprezintă transformata Fourier a trenului de impulsuri de eşantionare  $p(t)$ , care este:

$$P(\omega) = \frac{2\pi}{T_s} \sum_{n=-\infty}^{\infty} \delta(\omega - n\omega_s) \quad (1.8)$$

se obține pentru  $F_p(\omega)$  expresia:

$$F_p(\omega) = \frac{1}{T_s} \sum_{n=-\infty}^{\infty} F(\omega - n\omega_s) \quad (1.9)$$

Funcția de interpolare va avea transformata  $G(\omega) = H(\omega)$ .

$\cdot F_p(\omega)$  unde  $H(\omega)$  este funcția de transfer a sistemului de interpolare utilizat. Se obține în continuare /70/ :

$$G(\omega) = \frac{H(\omega)}{T_s} \cdot \sum_{n=-\infty}^{\infty} F(\omega - n\omega_s) \quad (1.10)$$

Din această relație rezultă că, dacă  $H(\omega)$  nu este funcția de transfer a unui FTJ ideal,  $G(\omega)$  va fi diferit de  $F(\omega)$  în domeniul  $[0, \omega_c]$  și, în plus, se va întinde pe o distanță mare în domeniul frecvențelor superioare lui  $\omega_c$ .

In cazul în care sistemul de reconstrucție fizică este un convertor numeric-analogic, acesta acționează ca un element de menținere de ordinul zero ("zero order hold" - ZOH) care are răspunsul la impuls  $h(t)$  de forma prezentată în figura 1.6.

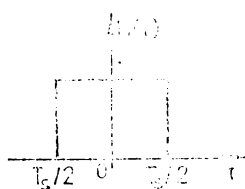


Fig.1.6.

Funcția sa de transfer are expresia:

$$H(\omega) = T_s \cdot \sin c \frac{\omega}{\omega_s} \quad (1.11)$$

iar spectrul funcției de interpolare  $G(\omega)$  va fi în acest caz:

$$G(\omega) = \sin c \frac{\omega}{\omega_s} \cdot \sum_{n=-\infty}^{\infty} F(\omega - n\omega_s) \quad (1.12)$$

In situația în care convertorul numeric-analogic simplu este înlocuit cu un sistem de conversie numeric-analogică de construcție specială, se poate obține o interpelare liniară între eşantioane /47, 11/. Răspunsul la impuls  $h(t)$  al unui astfel de sistem este prezentat în figura 1.7.

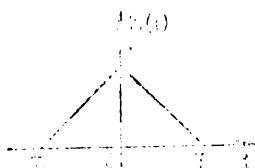


Fig.1.7.

Un astfel de sistem, cu menținere de ordinul întâi ("first order hold" - FOH) realizează o funcție de transfer având expresia:

$$H(\omega) = T_s \sin c^2 \frac{\omega}{\omega_s} \quad (1.13)$$

iar funcția de interpolare obținută va avea spectrul  $G(\omega)$ :

$$G(\omega) = \sin c^2 \frac{\omega}{\omega_s} \cdot \sum_{n=-\infty}^{\infty} F(\omega - n\omega_s) \quad (1.14)$$

#### 1.2.5. Spectrul funcției de interpolare în cazul semnalelor periodice

Utilizarea unor generatoare de semnale de formă arbitrară presupune în majoritatea aplicațiilor producerea unor semnale care se repetă periodic. Din acest motiv prezintă interes și spectrul funcției de interpolare pentru semnale periodice.

Dacă semnalul original  $f(t)$  este periodic, de bandă limitată, deci permite descompunerea sa într-o serie Fourier convergentă, atunci el poate fi exprimat prin relația:

$$f(t) = \sum_{m=-M}^{M} a_m e^{j m \omega_0 t} \quad (1.15)$$

unde  $\omega_0$  este frecvența fundamentală,  $T_0$  perioada iar  $a_m$  sint amplitudinile armonicelor având expresia:

$$a_m = \frac{1}{T_0} \int_{-T_0/2}^{T_0/2} f(t) e^{-j m \omega_0 t} dt \quad (1.16)$$

Cu  $M$  s-a notat ordinul armonic maxim ( $a_m \neq 0$  pentru  $|m| > M$ ). Pentru ca acest semnal să conțină după eșantionare toate informațiile necesare reconstituirii trebuie, conform teoremei eșantionării semnalelor periodice, ca numărul de eșantioane prelevate pe o perioadă,  $N$ , să îndeplinească condiția:

$$N \geq 2M+1. \quad (1.17)$$

Valoarea lui  $N$  va reprezenta valoarea raportului dintre frecvența de eșantionare și frecvența fundamentală a semnalului original:

$$N = \frac{\omega_s}{\omega_0} = \frac{T_0}{T_s}$$

Trenul de impulsuri  $p(t)$ , utilizat la eșantionarea ideală, se va utiliza sub forma unei serii Fourier /66, 77/ :

$$p(t) = \frac{1}{T_s} \sum_{n=-\infty}^{\infty} e^{jn\omega_s t} \quad (1.18)$$

Expresia semnalului eșantionat  $f_p(t)$  se obține prin următoarea multiplicare:

$$f_p(t) = f(t) \cdot p(t) = \left( \sum_{m=-M}^M a_m e^{jm\omega_0 t} \right) \cdot \left( \frac{1}{T_s} \sum_{n=-\infty}^{\infty} e^{jn\omega_s t} \right) \quad (1.19)$$

Pentru a efectua calculele din relația (1.19) se poate face uz de următoarea proprietate /70/ :

Fie două semnale periodice  $f_1(t)$  și  $f_2(t)$  având aceeași perioadă  $T_0 = 2\pi/\omega_0$ . Produsul lor poate fi restrâns astfel:

$$\begin{aligned} f_1(t) \cdot f_2(t) &= \left( \sum_{m=-\infty}^{\infty} a_m' e^{jm\omega_0 t} \right) \cdot \left( \sum_{l=-\infty}^{\infty} b_l' e^{jl\omega_0 t} \right) = \\ &= \sum_{m=-\infty}^{\infty} \sum_{l=-\infty}^{\infty} a_m' b_l' e^{j(m+l)\omega_0 t} = \sum_{k=-\infty}^{\infty} \left( \sum_{l=-\infty}^{\infty} a_k' b_l' \right) e^{jk\omega_0 t} \end{aligned} \quad (1.20)$$

In cazul nostru, pentru a putea aplica această proprietate, se definesc cele două semnale  $f_1(t)$  și  $f_2(t)$  astfel:

$$f_1(t) = f(t) = \sum_{m=-\infty}^{\infty} a_m' e^{jm\omega_0 t} \text{ unde } a_m' = \begin{cases} a_m & \text{pt. } |m| \leq M \\ 0 & \text{pt. } |m| > M \end{cases} \quad (1.21)$$

$$f_2(t) = p(t) = \frac{1}{T_s} \sum_{l=-\infty}^{\infty} b_l' e^{jl\omega_0 t} \text{ unde } b_l' = \begin{cases} 1 & \text{pt. } l=n \cdot N \\ 0 & \text{pt. } l \neq n \cdot N \end{cases} \quad (1.22)$$

Dacă se înmulțesc cele două semnale se obține relația:

$$f_p(t) = \sum_{m=-\infty}^{\infty} \sum_{l=-\infty}^{\infty} \frac{a_m' b_l'}{T_s} e^{j(m+l)\omega_0 t} =$$

$$= \sum_{k=-\infty}^{\infty} \left( \sum_{\ell=-\infty}^{\infty} \frac{a'_{k-\ell} b'_{\ell}}{T_s} \right) e^{jk\omega_0 t} \quad (1.23)$$

Notind cu  $d_k = \sum_{\ell=-\infty}^{\infty} \frac{a'_{k-\ell} b'_{\ell}}{T_s}$  rezultă:

$$f_p(t) = \sum_{k=-\infty}^{\infty} d_k e^{jk\omega_0 t} \quad (1.24)$$

Prin urmare, semnalul eşantionat  $f_p(t)$  este tot un semnal periodic. Produsele  $a'_{k-\ell} b'_{\ell}$  sunt nenule cind sunt îndeplinite simultan condiţiile:

$$\begin{cases} \ell = nN \\ |k-\ell| \leq M \end{cases} \text{ sau } \begin{cases} \ell = nN \\ k-M \leq \ell \leq k+M \end{cases} \quad (1.25)$$

Aceste condiţii sunt îndeplinite pentru o singură valoare a lui  $\ell$  și prin urmare este adevărată relația:

$$\sum_{\ell=-\infty}^{\infty} \frac{a'_{k-\ell} b'_{\ell}}{T_s} = \frac{a'_{k-nN}}{T_s} \quad (1.26)$$

Tinând cont și de modul în care a fost definit  $a'_m$  rezultă că:

$$d_k = \begin{cases} \frac{a_m}{T_s} & \text{pentru } k=m+nN \\ 0 & \text{pentru } k \neq m+nN \end{cases} \quad (1.27)$$

Aplicând metoda răspunsului unui sistem la un semnal de intrare periodic /70/ se obține expresia funcției de interpolare:

$$g(t) = \sum_{k=-\infty}^{\infty} d_k \cdot H(k\omega_0) \cdot e^{jk\omega_0 t} \quad (1.28)$$

și prin urmare se constată că și funcția de interpolare este tot o serie Fourier.

În mai poate fi exprimată în forma:

$$g(t) = \sum_{k=-\infty}^{\infty} A_k e^{jk\omega_0 t} \quad \text{unde } A_k = \begin{cases} \frac{a_m}{T_s} H(k\omega_0) & \text{pt. } k=m+nN \\ 0 & \text{pt. } k \neq m+nN \end{cases} \quad (1.29)$$

În cazul în care sistemul de reconstrucție este un CNA (ZOH), se obține, conform relațiilor (1.11) și (1.29), pentru funcția de interpolare expresia:

$$g(t) = \sum_{k=-\infty}^{\infty} a_m \sin c \frac{k}{N} e^{jk\omega_0 t} \quad \text{unde } k=m+nN \quad (1.30)$$

Dacă se utilizează interpolarea liniară (FOH) se obține:

$$g(t) = \sum_{k=-\infty}^{\infty} a_m \sin c^2 \frac{k}{N} e^{jk\omega_0 t} \quad \text{unde } k=m+nN \quad (1.31)$$

Utilitatea acestor relații poate fi pusă în evidență cu ajutorul tabelului nr.1, în care se prezintă amplitudinile armonicelor unui semnal sinusoidal, cu amplitudinea 1, eșantionat și reconstituit cu un convertor N/A (fiind vorba de ZOH se utilizează relația (1.30)) în funcție de N și de ordinul armonic  $k = l+nN$  (m=1 în cazul unui semnal sinusoidal).

TABELUL Nr.1

n	N=10		N=100		N=1000	
	Ordin armonic	Amplitudine	Ordin armonic	Amplitudine	Ordin armonic	Amplitudine
0	fundamental	0,9836	fundamental	0,9998	fundamental	0,99998
-1	9	0,1093	99	0,0101	999	0,00101
1	11	0,0894	101	0,0099	1001	0,00099
-2	19	0,0518	199	0,0050	1999	0,00050
2	20	0,0468	201	0,0050	2001	0,00050

### 1.3. Convertorul numeric-analogic

Convertorul numeric-analogic (CNA) este un element care nu poate lipsi din nici un sistem de reconstrucție fizică a semnalelor eșantionate. În esență un CNA este un circuit decodificator. El acceptă la intrare un semnal numeric D și o referință R și generează la ieșire un semnal analogic A=R.D. De obicei D este subunitar (de ex.  $D=a_1 \cdot 2^{-1} + a_2 \cdot 2^{-2} + \dots + a_n \cdot 2^{-n}$ ) /34, 35, 77, 78/.

#### 1.3.1. Parametrii statici ai convertorului numeric-analogic

Un prim parametru static al CNA este funcția de transfer. Aceasta arată corespondența dintre semnalul numeric de la intrare și tensiunea analogică de la ieșire. Pentru fiecare cod binar de la intrare există o singură valoare posibilă a ieșirii. Pasul cu care se poate schimba ieșirea este cuanta Q. Numărul de stări distincte de la ieșire este  $2^n$  unde n este numărul de

biți al semnalului numeric acceptat de CNA la intrare. Acest număr determină rezoluția CNA precum și zgomotul de cuantizare /35, 87, 90, 107/.

Acuratețea sau precizia unui convertor este influențată de rezoluție dar mai este afectată și de o serie de erori statice cum sunt eroarea de scală, eroarea de cîstig, eroarea de offset, eroarea de liniaritate. În plus, un rol important îl joacă variațiile de temperatură la care este supus convertorul /48, 99/.

În funcție de condițiile de utilizare și calitatea convertorului este posibil ca precizia acestuia să fie mai mică cu unul sau doi biți în comparație cu rezoluția pentru care a fost construit.

### 1.3.2. Parametrii dinamici ai convertorului numeric-analogic

Funcționarea unui CNA este determinată, pe lîngă parametrii statici, de o serie de parametri dinamici cum sunt timpul de stabilire ("settling time"), care reprezintă timpul necesar convertorului pentru a atinge valoarea finală după o tranziție de coduri, viteza de creștere ("slew rate") a tensiunii de ieșire precum și viteza de conversie, care reprezintă viteza cu care convertorul permite repetarea unui ciclu de conversie.

Convertorul numeric-analogic, utilizat într-un sistem de reconstrucție fizică, poate constitui o importantă sursă de zgomote și distorsiuni /10, 52, 106/.

Această situație a fost semnalată odată cu apariția diverselor sisteme de generare a unor semnale sinusoidale sau de altă formă prin metode de conversie N/A /2, 9, 21, 24, 33, 41, 64, 89, 93, 94/.

Zgomotul de cuantizare, care apare în sistemele de conversie N/A, poate proveni din sistemul numeric care precede convertorul sau, dacă numărul de biți al convintului eșantion este mai mare decât numărul de biți al convertorului, atunci desigur, convertorul este cel care generează zgomotul de cuantizare. Pe lîngă acest zgomot, mai pot apărea distorsiunile de soc ("glitch") precum și distorsiunile pe care le introduce prin viteza finită de variație amplificatorul de la ieșirea CNA /106/.

Tendința care s-a manifestat în domeniul construcției convertoarelor numeric-analogice a fost perfecționarea tehnolo-

gică (s-a trecut de la realizarea discretă la monolitică sau hibridă) creșterea rezoluției și acurateței, creșterea vitezei de conversie, reducerea timpului de stabilire precum și realizarea de circuite specializate care să suprime apariția distorsiunilor de soc /31, 40, 46, 58, 59, 92, 95/.

In plus, în ultimii ani, s-au dezvoltat convertoare pre-văzute cu circuite de interfață în scopul asigurării unei compatibilități directe cu sistemele de calcul realizate cu microprocesoare /1, 7, 12, 25, 29, 44, 59, 91, 109/.

Principala deficiență a convertorului N/A o constituie răspunsul în frecvență  $H(\omega) = T_s \cdot \sin c \frac{\omega}{\omega_s}$  pe care acesta îl realizează. Această caracteristică de frecvență, corespunzând elementului de menținere de ordinul zero, este mult diferită de funcția de transfer a unui filtru trece-jos ideal. Ea nu depinde nici de acuratețe, nici de rezoluție și nici de alți parametri statici sau dinamici susceptibili de îmbunătățiri.

### 1.3.3. Sisteme de conversie N/A cu interpolare liniară

O primă cale pe care s-a mers, în scopul îmbunătățirii funcției de transfer pe care o realizează sistemul de conversie N/A, a fost realizarea de sisteme cu interpolare liniară /11, 47/. Un astfel de sistem utilizează două sau mai multe conver-

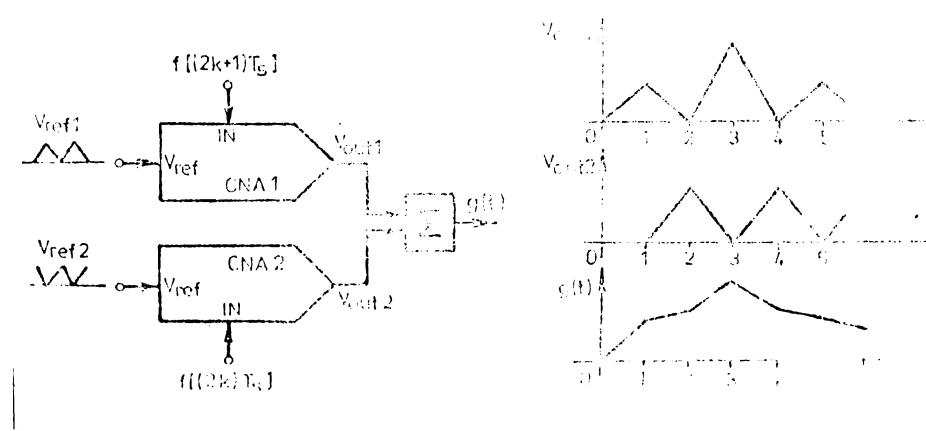


Fig.1.8.

toare N/A a căror ieșire este însumată pentru a forma semnalul interpolat. Un exemplu de sistem de interpolare liniară este prezentat în figura 1.8.

Sistemul din figură utilizează două CNA, a căror ieșire este însumată. Unul din cele două convertoare primește la intrare eșantioanele cu număr de ordine par (0, 2, 4, ...), iar celălalt eșantioanele cu număr de ordine impar (1, 3, 5, ...). Tensiunile de referință sunt variabile în timp (în formă triunghiulară) și defazate cu o jumătate de perioadă (se folosesc CNA multiplicate).

Sistemul realizează o interpolare analogică liniară dar ridică condiții deosebite asupra calității și imperechierii celor două CNA.

Sisteme de interpolare analogică de ordin mai ridicat decât interpolarea liniară presupun o complexitate constructivă mult prea mare pentru a se justifica realizarea lor practică. În aceste condiții, soluția care s-a impus în ultimul timp a fost combinarea unui sistem de interpolare numerică cu un convertor numeric-analogic.

#### 1.4. Interpolarea combinată

##### 1.4.1. Principiul interpolării numerice

Reconstrucția unui semnal (eșantionat) utilizând un sistem de conversie N/A obișnuit (ZOH sau chiar FOFH) nu asigură performanțe satisfăcătoare decât în situația în care semnalul original este eșantionat cu o frecvență mult mai mare decât cea limită impusă de teorema eșantionării.

Întreținerea unui sistem de interpolare numerică între secvența de eșantionare de intrare și CNA poate asigura ridicarea performanțelor procesului de reconstrucție la un nivel acceptabil deoarece interpolarea numerică are ca principal efect mărirea numărului de eșantioane care ajunge la intrarea CNA făcând ca acesta să opereze la o frecvență mai mare decât frecvența inițială (la care a fost eșantionat semnalul original) /8, 20, 84, 85/.

Efectul unui interpolator numeric este prezentat în figura 1.9.

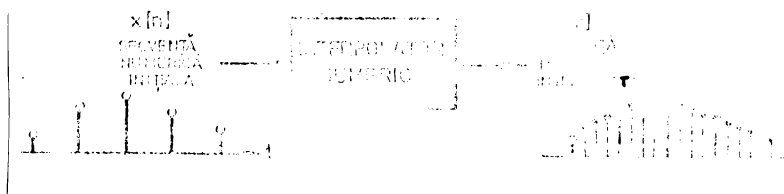


Fig.1.9.

Prin interpolare numerică, între două eșantioane consecutive ale secvenței inițiale, se intercalează un anumit număr de eșantioane suplimentare, calculate după o anumită regulă. Acest procedeu este implementat pe o structură de filtru numeric special conceput pentru acest scop (filtru numeric de interpolare) /19, 20, 23, 73, 83, 108/.

Din punct de vedere al prelucrării semnalului, interpolatorul numeric poate fi echivalent cu un sistem analogic care transformă secvența numerică inițială în tren de impulsuri, filtrează analogic, cu un FTJ acest tren, generând un semnal analogic care este apoi reeșantionat cu o frecvență mai mare decât frecvența inițială. Urmează apoi o transformare a trenului de impulsuri, obținut după a doua eșantionare, în secvență numerică /66/.

Acest model echivalent este prezentat în figura 1.10.

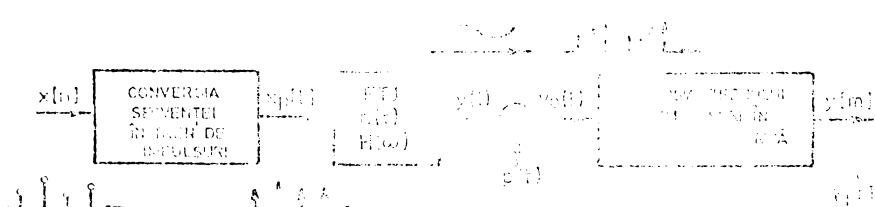


Fig.1.10.

528880 / 360E

In aceste condiții, întregul lanț de semnal, care începe cu funcția continuă originală și se încheie cu funcția de interpolare, se poate echivala cu modelul din figura 1.11 (Obs. se consideră că eșantionarea în ambele faze este ideală).

Implementarea unui astfel de sistem de reconstrucție poate asigura o calitate ridicată a semnalului final de interpolare

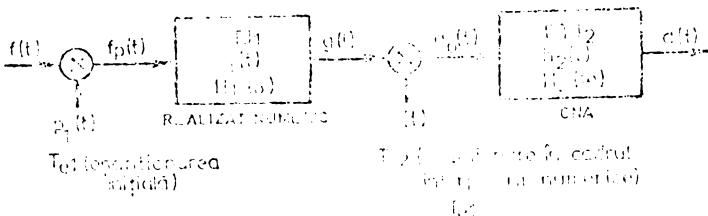


Fig.1.11.

$d(t)$  dacă proiecțarea este riguroasă și se ține seama de toți factorii care intervin în acest proces. În caz contrar nu este însă exclusă posibilitatea unei înrăutățiri a calității semnalului reconstituit în comparație cu situația în care se utilizează direct un convertor N/A.

#### 1.4.2. Spectrul semnalului reconstituit în cazul interpolării combinate

In situația în care semnalul original  $f(t)$  admite o transformată Fourier  $F(\omega)$  de bandă limitată, asupra acesteia, în cursul procesului de reconstrucție combinată, conform modelului din figura 1.11, se efectuează următoarele transformări:

$$F(\omega) \rightarrow F_p(\omega) = \frac{1}{2\pi} [F(\omega) * P_1(\omega)] \quad (\omega_{s1})$$

$$F_p(\omega) \rightarrow G(\omega) = H_1(\omega) \cdot F_p(\omega)$$

$$G(\omega) \rightarrow G_p(\omega) = \frac{1}{2\pi} [G(\omega) * P_2(\omega)] \quad (\omega_{s2})$$

$$G_p(\omega) \rightarrow D(\omega) = H_2(\omega) \cdot G_p(\omega)$$

In final, se obține expresia spectrului de frecvențe al semnalului de interpolare  $D(\omega)$ :

$$D(\omega) = \frac{1}{T_{s1}} \cdot \frac{1}{T_{s2}} \cdot H_2(\omega) \sum_{m=-\infty}^{\infty} H_1(\omega - m\omega_{s2}) \sum_{n=-\infty}^{\infty} F(\omega - n\omega_{s1} - m\omega_{s2}) \quad (1.32)$$

Având în vedere că  $H_1(\omega)$  și  $H_2(\omega)$  sunt funcțiile de transfer corespunzătoare unor filtre trece-jos, se poate presupune că spectrele translatate prin eșantionare în banda de tăiere a acestor filtre pot fi neglijate.

In aceste condiții, spectrul de frecvențe al semnalului de interpolare va avea expresia simplificată:

$$D(\omega) = \frac{1}{T_{sl}} \cdot \frac{1}{T_{s2}} \cdot H_2(\omega) \cdot H_1(\omega) \cdot F(\omega) \quad (1.33)$$

Această aproximare se justifică pe deplin dacă interpolația numerică se face cu un filtru cu performanțe ridicate, corespunzător unui filtru trece-jos de ordin superior.

În plus interpolarea pe cale numerică poate fi la rîndul ei efectuată în mai multe etape consecutive, ceea ce va avea ca efect multiplicarea funcțiilor de transfer ale filtrelor corespunzătoare.

O relație echivalentă relației (1.33) se poate obține pentru cazul semnalelor periodice.

Dacă semnalul original este periodic și poate fi reprezentat printr-o serie Fourier cu un număr finit de termeni, de amplitudini finite,  $f(t) = \sum_{m=-M}^{M} a_m e^{j m \omega_0 t}$ , asupra acestui semnal, prin transformările care decurg din modelul prezentat în figura 1.11, se obține semnalul de interpolare  $d(t)$  avînd expresia:

$$d(t) = \frac{1}{T_{sl}} \cdot \frac{1}{T_{s2}} \sum_{i=-\infty}^{\infty} a_m H_1[(m+nN_1)\omega_0] H_2[(m+nN_1+\ell N_2)\omega_0] e^{j i \omega_0 t} \quad (1.34)$$

In ipoteza că filtrelle  $H_1(\omega)$  și  $H_2(\omega)$  suprimă total semnalele în zona de tăiere, se obține o formă simplificată:

$$d(t) = \frac{1}{T_{sl}} \cdot \frac{1}{T_{s2}} \sum_{m=-M}^{M} a_m H_1(m\omega_0) H_2(m\omega_0) e^{j m \omega_0 t} \quad (1.35)$$

Această relație este utilă întrucît evidențiază efectul reconstruirii asupra componentelor semnalului original.

Se pierde însă din vedere îmbogățirea spectrală generată de interpolare. În realitate, oricît de bun ar fi filtrul de interpolare numerică, el este urmat de un CNA care realizează o caracteristică de transfer mult diferită de cea a unui filtru trece-jos ideal.

Din acest motiv, analiza în domeniul frecvență a sistemelor de reconstrucție combinată (filtru numeric + CNA) este în general dificilă și neconcludentă. Pe parcursul prezentei lucrări se va prezenta o altă metodă de analiză mai avantajoasă.

## 1.5. Sisteme de interpolare numerică

### 1.5.1. Funcționarea și construcția sistemelor de interpolare numerică

Sistemele de interpolare numerică au ca principală sarcină mărirea frecvenței de eșantionare a secvenței numerice de intrare de un anumit număr de ori (multiplicarea ei cu un factor întreg sau rațional). Această operație trebuie astfel realizată încât ansamblul format de interpolatorul numeric și convertorul N/A care îl urmează să asigure o îmbunătățire a calității semnalului reconstruit.

Modelul de semnal și transformările la care este supusă secvența numerică de la intrare sunt prezentate în figura 1.12 /20, 88/.

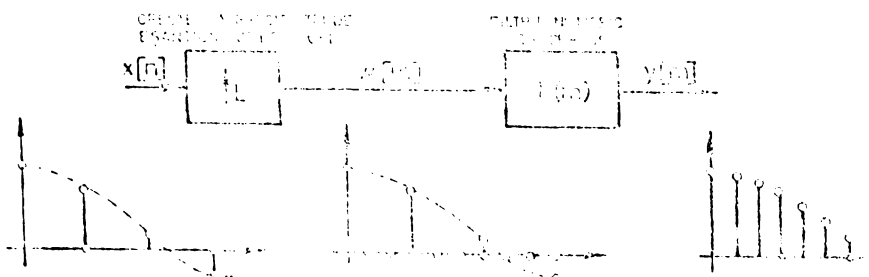


Fig.1.12.

In figură a fost prezentat cazul în care frecvența de eșantionare se mărește de trei ori ( $L=3$ ). Se observă că în secvență inițială  $x[n]$  între fiecare două eșanțioane consecutive se introduc în primă fază cîte două eșanțioane de valoare nulă ( $L-1$  în general). Se obține secvența  $w[m]$  a cărei expresie analitică este dată de relația:

$$w[m] = \begin{cases} x\left[\frac{m}{L}\right] & \text{pentru } m=0, \pm L, \pm 2L, \dots \\ 0 & \text{în rest} \end{cases} \quad (1.36)$$

Trecerea secvenței  $w[m]$  printr-un filtru numeric trece-jos produce la ieșirea acestuia secvența interpolată  $y[m]$ .

Realizarea unor sisteme de interpolare numerică are de obicei la bază utilizarea unor filtre numerice nerecursive (cu

răspunsul la impuls de durată finită - "FIR") /15, 20, 71, 84/.

În general, un filtru numeric nerecursiv realizează secvența de ieșire pe baza secvenței de intrare și a unei ecuații de forma următoare:

$$y[m] = \sum_{n=-\infty}^{\infty} g[n] \cdot x[m-n] \quad (1.37)$$

În cazul sistemului de interpolare, filtrul numeric cu răspunsul la impuls  $h[m]$  va produce la ieșire secvența:

$$y[m] = \sum_{k=-\infty}^{\infty} h[m-k] \cdot w[k] \quad (1.38)$$

Trecind de la  $w[k]$  la  $x[\frac{k}{L}]$  și făcând notațiile următoare:

$$\left\lfloor \frac{m}{L} \right\rfloor = \text{partea întreagă a raportului } \frac{m}{L} \quad (1.39)$$

$$m \oplus L \neq \text{valoarea lui } m \text{ modulo } L \quad (1.40)$$

se obține ecuația sistemului de interpolare:

$$y[m] = \sum_{n=-\infty}^{\infty} h[nL+m \oplus L] \cdot x\left[\left\lfloor \frac{m}{L} \right\rfloor - n\right] \quad (1.41)$$

Făcind notația:

$$g_m[n] = h[nL+m \oplus L] \quad (1.42)$$

se obține /20/ :

$$y[m] = \sum_{n=-\infty}^{\infty} g_m[n] \cdot x\left[\left\lfloor \frac{m}{L} \right\rfloor - n\right] \quad (1.43)$$

Coefficienții  $g_m[n]$ , ai filtrului de interpolare, sunt periodici după indicele  $m$  cu perioada  $L$  /20/.

Utilizarea unor coeficienți cu variație periodică în timp face structura sistemelor de interpolare numerică să fie mai complexă decât a filtrelor numerice nerecursive uzuale (invariante în timp) /18, 42, 54/.

În situația în care mărimea frecvenței de eșantionare trebuie efectuată prin multiplicare cu un factor rational, interpolatorul numeric este urmat de un sistem de decimare /20/.

Implementarea interpolatoarelor numerice poate fi realizată sub formă unor filtre FIR în forma directă sau prin utilizarea unor rețele polifazice /4, 6, 20, 61/.

Datorită avantajelor pe care le prezintă, din punct de vedere al volumului de coeficienți ce trebuie stocați în memoria sistemului precum și al volumului de calcule necesare, se preferă realizarea de sisteme de interpolare simple prin buplarea

în casadă a mai multor interpolații simple (cu cît  $L$  este mai mare cu atât structura interpolatorului este mai complexă).

Această metodă poartă în literatură denumirea de "multi-stage implementation" /20, 28, 82/.

Există și lucrări în care se prezintă utilizarea unor filtre recursive (IIR) pentru interpolare numerică /19, 43, 84/.

#### 1.5.2. Proiectarea sistemelor de interpolare numerică

Proiectarea unui sistem de interpolare numerică presupune alegerea unei anumite structuri precum și dimensionarea coeficienților filtrelor numerice utilizate, în funcție de aplicația practică pentru care este destinat sistemul /20, 23, 73, 83, 88, 108/.

Calculul coeficienților filtrelor de interpolare se poate efectua fie printr-o analiză în domeniul frecvență, pe baza condiționării răspunsului în frecvență al interpolatorului, /17, 20, 36/, fie printr-o analiză în domeniul timp, pe baza condiționării răspunsului la impuls  $h[m]$  al filtrului /16, 20, 22, 37, 65, 74, 85/.

#### 1.5.3. Metode de proiectare în domeniul frecvență

În cadrul acestei categorii de metode de proiectare, o primă metodă este aproximarea optimă în sens Cebîșev ("equiripple design") a caracteristicii de transfer a filtrului. Această metodă presupune definirea unei scheme de toleranță a caracteristicii și este optimă în sensul că maximul erorii de aproximare în anumite regiuni de interes este minimizat /51, 71/.

O altă metodă este proiectarea pentru jumătate de bandă ("half-band design") și este destinată sistemelor care dublează numărul de eșantioane. Ea se bazează pe simetria caracteristicii filtrelor față de punctul  $\omega_s/2$  /3, 5/.

Metoda erorii minime ("minimax error") asigură minimizarea erorii maxime a caracteristicii de frecvență a filtrului pe întregul interval cuprins între 0 și  $\omega_s$  /63/.

O ultimă metodă importantă este minimizarea erorii medii pătratică a răspunsului în timp tratat în cazul unor semnale deterministe. Această metodă conduce la impunerea unor restricții asupra funcției de transfer a filtrului /62, 63, 72/.

#### 1.5.4. Metode de proiectare în domeniul timp

In cadrul acestor metode un prim loc important îl detine interpolarea clasică (interpolarea Lagrange) și ea se bazează pe definirea coeficienților interpolatorului numeric pornind de la răspunsul la impuls (nucleul) al unor sisteme analogice. Acest răspuns la impuls, construit pe segmente de polinoame de un anumit grad, se încadrează în categoria de interpolare denumită generic "spline" /16, 22, 27, 37, 85/.

O altă metodă importantă este metoda ferestrei temporale ("window design") și ea se bazează pe calculul coeficienților din răspunsul la impuls al interpolatorului ideal, multiplicat cu o fereastră temporală simetrică de o anumită formă /65, 81/.

O ultimă metodă importantă este cea în care dimensionarea coeficienților se face pe baza minimizării erorii medie pătratică a răspunsului, în timp tratat în cazul unor semnale aleatoare /50, 53, 62, 74, 85/.

Această metodă va fi utilizată și dezvoltată în continuare, în cadrul acestei lucrări, pe baza ei ajungându-se la o serie de concluzii importante privind realizarea sistemelor de reconstrucție fizică a semnalelor eșantionate, în condițiile asigurării unei fidelități cât mai bună a semnalului analogic reconstruit (prin intermediul ansamblului interpolator numeric - convertor N/A).

## CAPITOLUL 2.

### NUCLEI POLINOMIALE DE INTERPOLARE

#### 2.1. Generalități

Sistemele de reconstrucție prin interpolare sunt caracterizate, din punct de vedere al teoriei semnalelor, prin răspunsul la impuls  $h(t)$ , răspuns care în acest caz poartă denumirea de nucleu de interpolare ("interpolation kernel").

Valorile nucleului, calculate în anumite puncte, sunt utilizate la construcția sistemelor de interpolare numerică; ele jucând rolul coeficienților filtrelor numerice.

O categorie larg răspândită de nuclee de interpolare o constituie nucleele polinomiale, nuclee a căror construcție este de fapt segmentar polinomială. Astfel de nuclee pot asigura convergența procesului de interpolare o dată cu creșterea frecvenței de eșantionare a semnalului original /16, 22, 27, 37, 39, 49, 55/.

#### 2.2. Condițiile impuse nucleelor polinomiale

In literatură sunt precizate o serie de condiții pe care trebuie să le îndeplinească nucleul de interpolare pentru ca interpolarea reală să se apropie cât mai mult de cea ideală /20, 39, 53/.

În acest scop, nucleul real trebuie să interpoleze nucleul ideal (prezentat în capitolul anterior și având expresia analitică dată de (1.5)) în toate nodurile de interpolare. De aici rezultă un prim set de condiții:

$$\begin{aligned} h(0) &= 1 \\ h(kT_s) &= 0 \quad \text{pentru } \forall k \in \mathbb{Z} \end{aligned} \tag{2.1}$$

Nucleul ideal fiind o funcție pară și nucleul real trebuie să fie o funcție pară;

$$h(t) = h(-t) \quad (2.2)$$

Dacă nucloul ideal are toate derivatele de ordin impar împare iar cele de ordin par pare și nucleul real trebuie să îndeplinească aceste condiții:

$$h'(t) = -h'(-t) \quad (2.3)$$

$$h''(t) = h''(-t)$$

etc.

Nucleul de interpelare trebuie să aibă o lungime finită. Dacă se folosesc  $N$  esantioane consecutive la construcția funcției de interpolare, atunci lungimea nucleului este chiar  $N \cdot T_s$ , adică:

$$h(|t| \geq N \frac{T_s}{2}) = 0 \quad (2.4)$$

Utilizarea unui număr finit de esantioane pentru construcția funcției de interpelare se efectuează utilizând relația:

$$g(t) = \sum_{k=-K_1}^{K_2} f(kT_s) \cdot h(t-kT_s) \quad (2.5)$$

$$\text{unde } K_1 + K_2 + 1 = N$$

Variabila  $t$  ia valori într-un interval de lungime egală cu  $T_s$  și care este plasat la mijlocul intervalului  $[-K_1 T_s, K_2 T_s]$ . O condiție optională pentru nucleele de interpolare reală dar care se aplică întotdeauna la nucleele polinomiale este conservarea componentei continue a semnalului original. Această condiție poate fi exprimată în forma:

$$H(0) = T_s \quad \text{sau} \quad \int_{-\infty}^{\infty} h(t) dt = T_s \quad (2.6)$$

Dacă această condiție este respectată atunci funcția de interpolare va asigura interpelarea perfectă a unei secvențe de esantioane de valoare constantă (prelevate prin eșantionarea unei funcții constante). În această situație, întrucât

$$g(t) = f(kT_s) = \text{ct.} \quad \text{pentru } \forall k \in \mathbb{Z} \quad (2.7)$$

relația (2.5) devine:

$$\sum_{k=-K_1}^{K_2} h(t-kT_s) = 1 \quad \text{pentru } \forall k \text{ și } \forall t \quad (2.8)$$

Din relația (2.8) prin derivări succesive se obțin condițiile suplimentare:

$$\sum_{k=-K_1}^{K_2} h^{(n)}(t-kT_s) = 0 \quad (2.9)$$

Construcția unui nucleu de interpolare real presupune găsirea unei funcții segmentare care să îndeplinească condițiile enunțate anterior și deci să se apropie cât mai mult de forma nucleului ideal.

Pentru nucleul ideal se cunosc valerile sale și ale derivațelor sale în toate nodurile de interpolare. Principalele valori sunt trecute în tabelul 2.1.

TABELUL 2.1.

$t$	0	$\pm T_s$	$\pm 2T_s$	$\pm 3T_s$	etc.
$h(t)$	1	0	0	0	...
$h'(t)$	0	$\mp \frac{1}{T_s}$	$\pm \frac{1}{2T_s}$	$\mp \frac{1}{3T_s}$	...
$h''(t)$	$-\frac{2}{3T_s^2}$	$\frac{2}{T_s^2}$	$-\frac{1}{2T_s^2}$	$\frac{2}{9T_s^2}$	

Aceste valori trebuie respectate pe cît posibil și de nucleul polinomial de interpolare.

Utilizarea unei anumite formule de interpolare (Lagrange, Spline, etc.) conduce, pentru o situație dată, la o anumită soluție. Utilizarea de metode de interpolare diferite va conduce în cele mai multe cazuri la soluții (nuclee) diferite.

### 2.3. Nucleul de interpolare în cazul N=1

Cazul în care se utilizează un singur eşantion pentru construcția funcției de interpolare este cazul cel mai simplu ca realizare dar și cel mai nedest că performanțe. El corespunde modului de funcționare al convertorului numeric-analogic (ZOH).

Din relațiile (2.8), (2.9) și respectiv (2.4) rezultă:

$$h(t) = 1 \quad \text{pentru } |t| < \frac{T}{2} \quad (2.10)$$

$$h'(t) = 0 \quad \text{pentru } |t| < \frac{T_s}{2} \quad (2.11)$$

$$h(t) = 0 \quad \text{pentru } |t| \geq \frac{T_s}{2} \quad (2.12)$$

Condițiile (2.10), (2.11) și (2.12) pot fi îndeplinite simultan de un singur nucleu care va avea expresia:

$$h(t) = \begin{cases} 1 & \text{pentru } |t| < \frac{T_s}{2} \\ 0 & \text{pentru } |t| \geq \frac{T_s}{2} \end{cases} \quad (2.13)$$

Acest nucleu realizează funcția de transfer:

$$H(\omega) = T_s \sin c \frac{\omega}{\omega_s} \quad (2.14)$$

și are forma de variație în timp prezentată în figura 2.1.

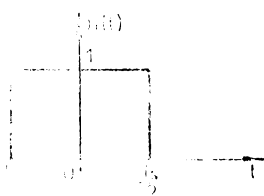


Fig.2.1.

Acest nucleu are toate derivatele nule și reprezintă cea mai simplă aproximare a nucleului ideal.

În condițiile enunțate, menținerea de ordinul zero (ZOH) reprezintă singura soluție în cazul N=1.

Renunțarea la condiția (2.8) respectiv (2.10) în cazul de față poate conduce și la alte soluții dar nucleele respective nu mai pot asigura interpolarea exactă a unei funcții constante.

#### 2.4. Nucleul de interpolare în cazul N=2

Dacă la construcția funcției de interpolare se utilizează două eşantioane consecutive, atunci condițiile (2.4), (2.8) și (2.9) devin:

$$h(t) = 0 \quad \text{pentru } |t| \geq T_s \quad (2.15)$$

$$h(t) + h(t-T_s) = 1 \quad \text{pentru } \forall t \in [0, T_s] \quad (2.16)$$

$$h'(t) + h'(t-T_s) = 0 \text{ pentru } \forall t \in [0, T_s] \quad (2.17)$$

$$h''(t) + h''(t-T_s) = 0 \text{ pentru } \forall t \in [0, T_s]$$

.....

Se poate arăta că, în aceste condiții, se poate construi un nucleu care să asigure interpolarea perfectă a unui semnal care are o două derivată nulă pe tot domeniul.

Considerind că  $f(t)$  are prima derivată constantă între două esantioane consecutive și dezvoltând în serie Taylor în jurul originii pe  $f(t)$  se obține:

$$f(t) = f(0) + t \cdot f'(0) \quad (2.18)$$

Din relația (2.5) prin derivare rezultă:

$$g'(t) = f(0)h'(t) + f(T_s)h'(t-T_s) \quad (2.19)$$

Inlocuind în această relație pe  $f(T_s)$  cu valoarea dată de (2.18) și ținând cont că din (2.17) rezultă că  $h'(t-T_s) = -h'(t)$  se obține:

$$g'(t) = -T_s f'(0)h'(t) \quad (2.20)$$

Decarece s-a presupus că prima derivată este conservată prin interpolare adică  $g'(t) = f'(t) = \text{ct.}$  rezultă că:

$$h'(t) = -\frac{1}{T_s} \text{ pentru } t \in [0, T_s] \quad (2.21)$$

Prin urmare  $h(t)$  trebuie să fie un polinom de gradul I de forma:

$$h(t) = at + b \quad \text{unde } a = -\frac{1}{T_s} \quad (2.22)$$

Punind condițiile  $h(0)=1$  și  $h(T_s)=0$  precum și  $h(t)=0$  pentru  $|t| > T_s$  se obține soluția unică:

$$h(t) = \begin{cases} \frac{T_s - |t|}{T_s} & \text{pentru } |t| < T_s \\ 0 & \text{pentru } |t| \geq T_s \end{cases} \quad (2.23)$$

Acest nucleu reprezintă cazul interpolării liniare (de ordinul I sau FOH) și realizează o funcție de transfer având expresia:

$$H(\omega) = T_s \cdot \sin c^2 \frac{\omega}{\omega_s} \quad (2.24)$$

Forma acestui nucleu a fost prezentată în figura 1.7.

Pentru cazul N=2 se pot construi și alte nucleu fie de grad mai mare dar exprimate printr-un singur polinom fie realizate prin raccordări de mai multe polinoame.

Complicarea nucleului de interpolare în cazul N=2 poate aduce în cel mai bun caz o îmbunătățire a răspunsului în freq-

vență în domeniul frecvențelor joase și o îmbunătățire concomitentă în domeniul frecvențelor înalte.

### 2.5. Nucleul de interpolare în cazul N=3

In cazul în care, pentru construcția funcției de interpolare, se utilizează trei eşantioane consecutive, se poate arăta, procedind analog cazului N=2, că respectarea condițiilor enunțate la punctul 2.2 și condiția de interpolare perfectă a unui semnal care are o două derivată constantă între două eşantioane consecutive (respectiv derivata a treia nulă) conduc la o soluție unică.

In acest caz nucleul care se obține corespunde interpolației Lagrange de ordinul doi a nucleului ideal și are expresia următoare:

$$h(t) = \begin{cases} \frac{-t^2 + T_s^2}{T_s^2} & \text{pentru } |t| < \frac{T_s}{2} \\ \frac{t^2 - 3T_s |t| + 2}{2T_s^2} & \text{pentru } \frac{T_s}{2} \leq |t| < \frac{3T_s}{2} \\ 0 & \text{pentru } |t| \geq \frac{3T_s}{2} \end{cases} \quad (2.25)$$

Acest nucleu realizează un răspuns în frecvență având expresia:

$$H(\omega) = T_s \sin c^3 \frac{\omega}{\omega_s} - \frac{3}{8} T_s \sin c \frac{3\omega}{\omega_s} + \frac{3}{8} T_s \sin c \frac{\omega}{\omega_s} \quad (2.26)$$

Si în acest caz, renunțind la condiția conservării derivatei de ordinul doi, se pot construi și alte nucle fără să se obțină însă o îmbunătățire a răspunsului în frecvență.

### 2.6. Nucleul de interpolare în cazul N=4

Cazul utilizării a patru eşantioane consecutive la construcția funcției de interpolare prezintă o importanță deosebită. Acest caz este cel mai frecvent utilizat în practică (utilizarea a mai mult de patru eşantioane complică sistemul de interpolare) datorită unui compromis acceptabil între complexitate și performanțe.

Pentru cazul acesta se utilizează mai multe nuclese de interpolare diferite (Lagrange de ordinul 3, Spline de ordinul 3,

"Cubic convolution interpolation kernel") /39, 53, 85, 88/.

In acest caz se poate arăta că există posibilitatea construirii unui nucleu care are proprietatea de a interpola perfect un semnal care are derivata a patra nulă (deci derivata a treia constantă între două eşantioane). Se consideră un nucleu de forma:

$$h(t) = \begin{cases} \frac{a|t|^3 + bT_s t^2 + cT_s^2 |t| + dT_s^3}{T_s^3} & \text{pt. } |t| < T_s \\ \frac{e|t|^3 + fT_s t^2 + gT_s^2 |t| + hT_s^3}{T_s^3} & \text{pt. } T_s \leq |t| < 2T_s \\ 0 & \text{pt. } |t| \geq 2T_s \end{cases} \quad (2.27)$$

Condiția  $h(0) = 1$  conduce la  $d=1$

Condiția  $g'''(t)=f''(t)=ct.$  conduce la  $a=\frac{1}{2}$ ,  $e=-\frac{1}{6}$

Condiția  $g''(t)=f''(t)=ct.$  (pentru  $f'''(t)=0$ ) conduce la  $f=1$ ,  $b=-1$

Condiția  $h(T_s)=0$  conduce la  $c=-\frac{1}{2}$  iar condițiile  $h(T_s)_+=0$  și  $h(2T_s)=0$  conduc la  $b=1$  și  $g=-\frac{11}{6}$ .

Se obține ca soluție unică nucleul având expresia:

$$h(t) = \begin{cases} \frac{|t|^3 - 2T_s t^2 - T_s^2 |t| + 2T_s^3}{2T_s^3} & \text{pt. } |t| < T_s \\ \frac{-|t|^3 + 6T_s t^2 - 11T_s^2 |t| + 6T_s^3}{6T_s^3} & \text{pt. } T_s \leq |t| < 2T_s \\ 0 & \text{pt. } |t| \geq 2T_s \end{cases} \quad (2.28)$$

Nucleul având expresia dată de (2.28) este nucleul Lagrange de ordinul trei ("CL") și el corespunde interpolariei cu polinoame Lagrange de ordinul 3 a nucleului ideal între nodurile de eşantionare din intervalul  $[-2T_s, 2T_s]$  /53, 85/.

Acest nucleu realizează un răspuns în frecvență dat de relația:

$$H(\omega) = T_s \sin c^4 \frac{\omega}{\omega_s} - \frac{2}{3} T_s \sin c^2 \frac{2\omega}{\omega_s} + \frac{2}{3} T_s \sin c \frac{2\omega}{\omega_s} \quad (2.29)$$

Forma acestui nucleu precum și a derivatelor sale este prezentată în figura 2.2.

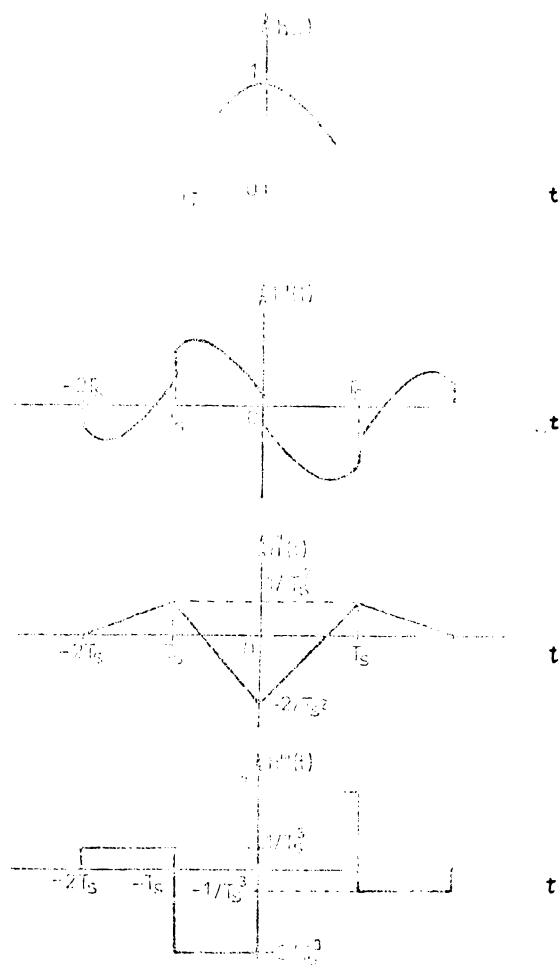


Fig.2.2.

Utilizarea metodei de interpolare Spline, cu polinoame de gradul trei, pentru nucleul ideal, conduce la un alt nucleu care poartă în literatură numele de nucleu Spline de ordinul trei (sau "Cubic Spline" - CS) /53/.

Acest nucleu are o formă asemănătoare cu cea a nucleului Lagrange de ordinul trei și este definit prin următoarea relație:

$$h(t) = \begin{cases} \frac{|t^3| - 2T_s t^2 + T_s^3}{T_s^3} & \text{pt. } |t| < T_s \\ \frac{-|t^3| + 5T_s t^2 - 8T_s^2 |t| + 4T_s^3}{T_s^3} & \text{pt. } T_s \leq |t| < 2T_s \\ 0 & \text{în rest} \end{cases} \quad (2.30)$$

Răspunsul în frecvență al acestui nucleu are expresia:

$$H(\omega) = \frac{T_s}{\omega^2 T_s^2} (12 \sin c^2 \frac{\omega}{\omega_s} - 24 \sin c^2 \frac{2\omega}{\omega_s} + 8 \sin c \frac{4\omega}{\omega_s} + 4 \sin c \frac{2\omega}{\omega_s}) \quad (2.31)$$

In legătură cu nucleul spline de ordinul trei trebuie făcută observația că acest nucleu nu mai asigură conservarea derivatei de ordinul trei (nu mai îndeplinește condiția  $g'''(t)=f'''(t)$  pentru  $f^{IV}(t)=0$ ).

Un alt nucleu de ordinul trei este cel definit în lucrarea /39/ și denumit "Cubic Convolution Interpolation Kernel" (CCIK). Acest nucleu este definit prin relația:

$$h(t) = \begin{cases} \frac{3|t^3| - 5T_s t^2 + 2T_s^3}{2T_s^3} & \text{pt. } |t| < T_s \\ \frac{-|t^3| + 5T_s t^2 - 8T_s^2 |t| + 4T_s^3}{2T_s^3} & \text{pt. } T_s \leq |t| < 2T_s \\ 0 & \text{în rest} \end{cases} \quad (2.32)$$

Acest nucleu realizează următoarea funcție de transfer:

$$H(\omega) = 3T_s \sin c^4 \frac{\omega}{\omega_s} - 2T_s \sin c^2 \frac{\omega}{\omega_s} \cdot \sin c \frac{2\omega}{\omega_s} \quad (2.33)$$

In figura 2.3, sunt prezentate formele pentru nucleul Spline de ordinul trei (CS) și "Cubic Convolution Interpolation Kernel" (CCIK) precum și derivatările lor.

In legătură cu nucleul CCIK trebuie spus că acesta, deși nu asigură conservarea derivatei a treia ( $g'''(t)=f'''(t)$  pentru  $f^{IV}(t)=0$ ) realizează o proprietate de forma  $g'''(t)=k \cdot f'''(t)$ .

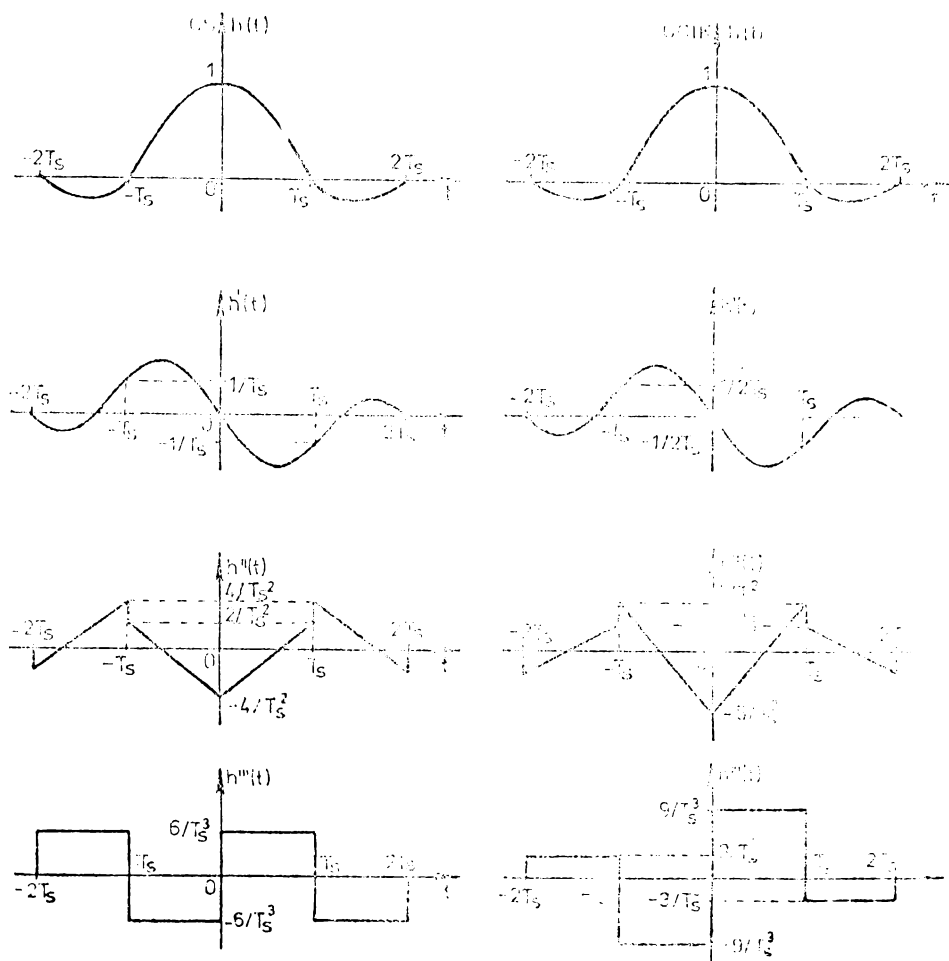


Fig.2.3.

#### 2.7. Construcția unui nucleu de interpolare de ordinul trei cu performanțe ridicăte

Din analiza derivatelor nucleelor de ordinul trei (Lagrange, Spline și CCIK) se constată că acestea prezintă anumite discontinuități. Astfel nucleul Lagrange are prima derivată discontinuă în punctele  $t=0$  și  $t=T_s$ , iar nucleele Spline și CCIK au

derivata a două disconținuă în punctele  $t=\pm T_s$  /49/.

În continuare se urmărește construcția unui nucleu care să prezinte și prima și a două derivată continue în punctele  $t=0$ ,  $t=\pm T_s$ .

Se pornește de la forma generală a nucleului de ordinul trei pentru cazul  $N=4$ , formă dată de relația (2.27).

Pentru simplificarea calculelor se va trata cazul  $T_s=1$ , ceea ce conduce la un nucleu general de forma:

$$h(t) = \begin{cases} a|t^3| + bt^2 + c|t| + d & \text{pt. } |t| < T_s \\ e|t^3| + ft^2 + g|t| + h & \text{pt. } T_s \leq |t| < 2T_s \\ 0 & \text{în rest} \end{cases} \quad (2.34)$$

Cerința ca acest nucleu să interpoleze nucleul ideal și să prezinte derive continue obligă verificarea de către  $h(t)$  a următoarelor condiții:

$$h(0) = 0, \quad h(1_-) = 0, \quad h(1_+) = 0, \quad h(2_-) = 0 \quad (2.35)$$

$$h'(0) = 0, \quad h'(1_-) = h'(1_+), \quad h'(2_-) = 0 \quad (2.36)$$

$$h''(1_-) = h''(1_+) \quad (2.37)$$

Aceste condiții conduc la un sistem de ecuații, având necunoscutele  $a$ ,  $b$ ,  $c$ ,  $d$ ,  $e$ ,  $f$ ,  $g$  și  $h$ , a cărui soluție unică este următoarea:

$$\begin{aligned} a &= \frac{5}{4}, & b &= -\frac{9}{4}, & c &= 0, & d &= 1 \\ e &= -\frac{3}{4}, & f &= \frac{15}{4}, & g &= -\frac{24}{4}, & h &= \frac{12}{4} \end{aligned} \quad (2.38)$$

Cu ajutorul coeficienților (2.38) determinați anterior se poate scrie expresia analitică a nucleului denumit "Cubic Continual" (CC) :

$$h(t) = \begin{cases} \frac{5|t^3|-9T_s t^2+4T_s^3}{4T_s^3} & \dots \quad \text{pt. } |t| < T_s \\ \frac{-3|t^3|+15T_s t^2-24T_s^2|t|+12T_s^3}{4T_s^3} & \quad \quad \quad \text{pt. } T_s \leq |t| < 2T_s \\ 0 & \text{în rest} \end{cases} \quad (2.39)$$

Acest nucleu are funcția de transfer dată de expresia:

$$H(\omega) = \frac{6T_s}{\omega^2 T_s^2} \left( 2 \sin e^2 \frac{\omega}{\omega_s} - 3 \sin c^2 \frac{2\omega}{\omega_s} + \sin o \frac{4\omega}{\omega_s} \right). \quad (2.40)$$

Forma acestui nucleu precum și a derivațelor sale este prezentată în figura 2.4 :

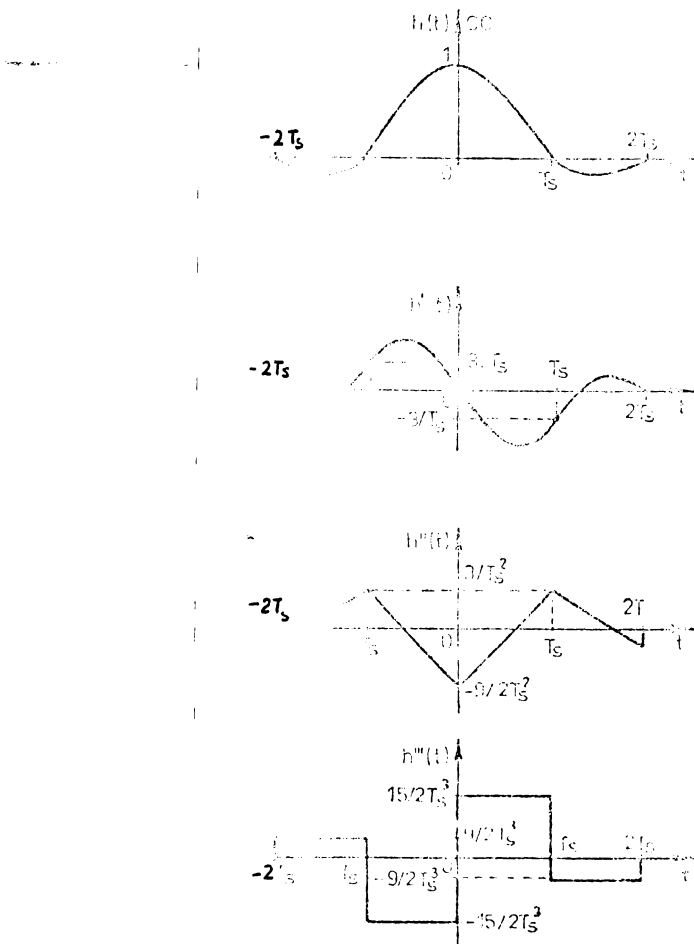


Fig.2.4.

### 2.8. Compararea nucleelor de ordinul trei (în cazul N=4) pe baza răspunsului în frecvență

Pentru a se putea aprecia performanțele nucleelor de același ordin se poate proceda într-o primă etapă la compararea a funcției de transfer  $H(\omega)$  pe care acestea o realizează.

Utilizând relațiile (2.29), (2.31), (2.33) și (2.40) pentru nucleele Lagrange, Spline, CGIK și respectiv CC, în tabelul

2.2 se prezintă valerile lui  $H(\omega)$ , corespunzătoare celor patru nucleei, pentru  $\omega \in [0, \omega_s]$ . Valoarea au fost calculate cu pasul  $\omega/\omega_s = 0,05$ .

TABELUL 2.2.

$\omega/\omega_s$	$H_{Id}$	$H_{L3}$	$H_{CCIK}$	$H_{S3}$	$H_{CO}$
0	1	1	1	1	1
0,05	1	0,999852	0,999879	1,006311	1,003100
0,1	1	0,997710	0,998119	1,022881	1,010200
0,15	1	0,988965	0,990894	1,039615	1,015254
0,2	1	0,967439	0,972952	1,046829	1,009890
0,25	1	0,927212	0,939019	1,032049	0,985534
0,3	1	0,864444	0,885251	0,985978	0,935614
0,35	1	0,778706	0,810388	0,904278	0,857333
0,4	1	0,673478	0,716335	0,788811	0,752573
0,45	1	0,555689	0,608052	0,647483	0,627768
0,5	x	0,434445	0,492767	0,492767	0,492767
0,55	0	0,319267	0,378731	0,339279	0,359005
0,6	0	0,218315	0,273803	0,201015	0,237409
0,65	0	0,137010	0,184168	0,088864	0,136509
0,7	0	0,077369	0,113478	0,008864	0,061171
0,75	0	0,038132	0,062558	-0,038224	0,012167
0,8	0	0,015589	0,029672	-0,056494	-0,013410
0,85	0	0,004806	0,011263	-0,053363	-0,021050
0,9	0	0,000903	0,002911	-0,037666	-0,017377
0,95	0	0,000052	0,000307	-0,017747	-0,008720
1	0	0	0	0	0

Analizând datele din tabelul 2.2 se constată că nucleele Lagrange și CCIK au răspunsul în frecvență foarte apropiat. Nucleul CCIK este mai apropiat de nucleul ideal la joasă frecvență dar mai îndepărtat la frecvențe în jurul lui  $\omega_s$ .

Nucleul Spline prezintă o supracrestere la frecvențe joase și o trecere prin zero înainte de  $\omega_s$ .

Nucleul cubic continuu are o formă apropiată de cea a nucleului Spline dar cu o supracrestere mai mică la frecvențe joase.

Pentru a pune în evidență comportarea nucleelor la valori diferite ale raportului  $\omega_s/\omega_n$ , unde  $\omega_n$  este banda semnalului

original, se poate defini o eroare medie a funcției de transfer a nucleului relativă la răspunsul în frecvență al filtrului trece-jos ideal.

Notând această eroare cu  $e_m$ , sa se poate calcula cu relația:

$$e_m = \frac{1}{K} \sum_{k=1}^K \left| H_{id}(\omega_k) - H(\omega_k) \right| \quad (2.41)$$

Cu K s-a notat numărul de puncte echidistante  $\omega_k$  în care se calculează diferența dintre cele două răspunsuri în frecvență.

Utilizând pasul  $\omega_s/\omega_m = 0,05$  se obțin valorile din tabelul 2.3.

TABELUL 2.3.

Nucleul utilizat	$e_m$		
	$\frac{\omega_s}{\omega_m} = 2$	$\frac{\omega_s}{\omega_m} = 3$	$\frac{\omega_s}{\omega_m} = 4$
Lagrange	0,162897	0,046845	0,014858
CCIK	0,166800	0,050490	0,017154
Spline	0,083132	0,034915	0,029264
CG	0,087322	0,033147	0,016469

Pe baza datelor din tabelul 2.3 se poate trage concluzia că, în cazul limită  $\omega_s = 2\omega_m$ , nucleul Spline este superior celorlalte nucleu, el fiind urmat înăpăroape de nucleul cubic continuu.

In celelalte cazuri considerate, nucleul cubic continuu este cel mai bun. Se observă că la  $\omega_s = 4\omega_m$ , nucleul Spline a devenit cel mai defavorabil. Aceste prime concluzii vor fi confirmate ulterior pe baza unei analize mai riguroase, cu ajutorul metodei erorii medii pătratice.

## CAPITOLUL 3.

### UTILIZAREA ERORII MEDII PATRATICE LA ESTIMAREA PERFORMANTELOR UNUI SISTEM DE INTERPOLARE

#### 3.1. Introducere

Pentru a se putea scoate în evidență și aprecia diferența care apare între un semnal reconstruit prin interpolare și semnalul original se pot utiliza două categorii de metode de analiză: în domeniul frecvență și în domeniul timp.

În a doua categorie se înscrie și metoda erorii medii patractice, metodă care prezintă o serie de avantaje ce vor fi prezentate în continuare.

#### 3.2. Cazul interpolării într-o singură fază

Se consideră cazul unui sistem de interpolare care primește la intrare o secvență numerică  $f[nT_s]$  de eşantioane ale unei funcții originale  $f(t)$  și, printr-o singură fază de interpolare utilizând un nucleu netat cu  $h(t)$ , furnizează la ieșire semnalul de interpolare  $g(t)$  având conform relației (1.4) expresia:

$$g(t) = \sum_{n=-\infty}^{\infty} f[nT_s] \cdot h(t-nT_s) \quad (3.1)$$

Erearea momentană, care apare prin interpolare, reprezintă diferența dintre semnalul original și semnalul reconstituit:

$$e(t) = f(t) - g(t) = f(t) - \sum_{n=-\infty}^{\infty} f[nT_s] \cdot h(t-nT_s) \quad (3.2)$$

Dacă se ține seama de faptul că un sistem real de interpolare utilizează pentru reconstrucția semnalului la un moment dat "t" un număr finit de eşantioane "N", că nucleul utilizat "h(t)" este nul pentru  $|t| > \frac{N}{2} T_s$  și că fiecare eşantion utilizat este multiplicat cu un nucleu unic translatat pe axa timpului,

se poate face următoarea notație:

$$h[(t-nT_s)-kT_s] = h_k(t-nT_s) \quad (3.3)$$

Pentru  $t \in [nT_s, (n+1)T_s]$ , notăm:

$$t = nT_s + \xi \quad \text{unde } \xi \in [0, T_s] \quad (3.4)$$

In aceste condiții, eroarea momentană pentru intervalul  $[nT_s, (n+1)T_s]$  se poate scrie în forma:

$$e_n(\xi) = f(nT_s + \xi) - \sum_{k=-m_1}^{m_2} h_k(\xi) f[(n+k)T_s] \quad (3.5)$$

unde  $m_1+m_2+l=N$  reprezintă numărul de eșantioane consecutive utilizate pentru interpolare.

Considerind, în continuare, că semnalul de intrare este rezultatul unui proces aleator staționar în sens larg (parametrii săi statistici nu depind de  $t$ ) pe baza relației (3.5) se obține expresia erorii medii pătratice statistice /53, 70, 85/ :

$$E\{e_n^2(\xi)\} = E\left\{ \left[ f(nT_s + \xi) - \sum_{k=-m_1}^{m_2} h_k(\xi) f[(n+k)T_s] \right]^2 \right\} \quad (3.6)$$

Datorită faptului că nucleul utilizat la interpolare "h(t)" este un semnal determinist, expresia lui intervine în media statistică doar ca o constantă și deci relația (3.6) devine:

$$\begin{aligned} E\{e_n^2(\xi)\} &= E\{f^2(nT_s + \xi)\} - 2 \sum_{k=-m_1}^{m_2} h_k(\xi) E\{f(nT_s + \xi) f[(n+k)T_s]\} + \\ &+ \sum_{k=-m_1}^{m_2} \sum_{l=-m_1}^{m_2} h_k(\xi) h_l(\xi) E\{f[(n+k)T_s] f[(n+l)T_s]\} \end{aligned} \quad (3.7)$$

Dacă ținem seama de faptul că media statistică  $E\{f(t+z)f(t)\}$  reprezintă funcția de autocorelație a semnalului original, notată cu  $R_{ff}(z)$ , /13/ mediile care intervin în relația (3.7) reprezintă:

$$E\{f^2(nT_s + \xi)\} = R_{ff}(0) \quad (3.8)$$

$$E\{f(nT_s + \xi) f[(n+k)T_s]\} = R_{ff}(\xi - kT_s) \quad (3.9)$$

$$E\{f[(n+k)T_s] f[(n+l)T_s]\} = R_{ff}[(k-l)T_s] \quad (3.10)$$

Utilizând expresiile (3.8), (3.9) și (3.10) în relația (3.7) se obține:

$$E\{e_n^2(\xi)\} = R_{ff}(0) - 2 \sum_{k=-m_1}^{m_2} h_k(\xi) R_{ff}(\xi - kT_s) + \sum_{k=-m_1}^{m_2} \sum_{l=-m_1}^{m_2} h_k(\xi) h_l(\xi) \cdot R_{ff}[(k-l)T_s] \quad (3.11)$$

Impărțind relația de mai sus cu  $R_{ff}(0)$ , care reprezintă puterea semnalului original, se obține:

$$\frac{E\{e_n^2(\xi)\}}{R_{ff}(0)} = 1 - 2 \sum_{k=-m_1}^{m_2} h_k(\xi) \frac{R_{ff}(\xi - kT_s)}{R_{ff}(0)} + \sum_{k=-m_1}^{m_2} \sum_{l=-m_1}^{m_2} h_k(\xi) h_l(\xi) \cdot \frac{R_{ff}[(k-l)T_s]}{R_{ff}(0)} \quad (3.12)$$

Această relație, care nu depinde de  $n$ , permite calculul valoarei eroarei medii pătratice normate prin puterea semnalului original numai în funcție de expresia nucleului de interpolare utilizat și de funcția de autocorelație a semnalului original.

In situația în care semnalul original are media statistică nulă,  $R_{ff}(0)$  va reprezenta chiar dispersia semnalului original adică  $\sigma_f^2$  iar  $E\{e^2(\xi)\}$  va fi  $\sigma_e^2(\xi)$  relația (3.12) devenind:

$$\frac{\sigma_e^2(\xi)}{\sigma_f^2} = 1 - 2 \sum_{k=-m_1}^{m_2} h_k(\xi) R_{ff}(\xi - kT_s) + \sum_{k=-m_1}^{m_2} \sum_{l=-m_1}^{m_2} h_k(\xi) h_l(\xi) \cdot \frac{R_{ff}[(k-l)T_s]}{R_{ff}(0)} \quad (3.13)$$

In cele ce urmează, pentru simplificarea notării, se va utiliza relația (3.13) dar se va avea în vedere că de fapt, pentru cazul general, membrul stîng din relația (3.13) are semnificația membrului stîng din relația (3.12) /53, 85/.

Relația (3.13) respectiv (3.12) are o serie de proprietăți care îi fac deosebit de utilă la estimarea performanțelor sistemelor de interpolare.

Deoarece membrul drept al acestor relații depinde de  $\xi$  dar nu depinde de  $n$ , se poate trage concluzia că eroarea medie pătratică de interpolare este periodică cu  $T_s$ . În plus, se constată că:

$$\frac{\sigma_e^2(0)}{\sigma_f^2} = \frac{\sigma_e^2(T_s)}{\sigma_f^2} = 0$$

și prin urmare eroarea este nulă la capetele intervalului  $[nT_s, (n+1)T_s]$ .

$(n+1)T_s]$ , deci în punctele de eşantionare.

Se mai poate arăta că relația (3.13) dă pentru raportul  $\sigma_e^2(\xi)/\sigma_f^2$  valori simetrice față de mijlocul intervalului considerat.

Presupunând în intervalul  $[0, T_s]$  un punct  $\gamma = T_s - \xi$ , deci simetric cu  $\xi$  față de mijlocul intervalului, din relația (3.13) rezultă:

$$\frac{\sigma_e^2(\gamma)}{\sigma_f^2} = 1 - 2 \sum_{k=-m_1}^{m_2} h_k(T_s - \xi) \frac{R_{ff}(T_s - \xi - kT_s)}{R_{ff}(0)} + \sum_{k=-m_1}^{m_2} \sum_{l=-m_1}^{m_2} h_k(T_s - \xi) h_l(T_s - \xi). \\ \bullet \frac{R_{ff}[(k-l)T_s]}{R_{ff}(0)} \quad (3.14)$$

Dacă se nuclelele de interpolare sunt funcții pare iar funcția de autocorelație  $R_{ff}(\zeta)$  se bucură de aceeași proprietate rezultă că:

$$h_k(T_s - \xi) = h(T_s - \xi - kT_s) = h[-\xi + (1-k)T_s] = \\ = h[\xi - (1-k)T_s] = h_{1-k}(\xi)$$

analog

$$h_l(T_s - \xi) = h_{1-l}(\xi)$$

și

$$R_{ff}(T_s - \xi - kT_s) = R_{ff}[-\xi + (1-k)T_s] = R_{ff}[\xi - (1-k)T_s]$$

Făcind notările  $k' = 1 - k$  și  $\ell' = 1 - l$  relația (3.14) devine:

$$\frac{\sigma_e^2(\gamma)}{\sigma_f^2} = 1 - 2 \sum_{k'=m_1'}^{m_2'} h_{k'}(\xi) \frac{R_{ff}(\xi - k'T_s)}{R_{ff}(0)} + \sum_{k'=m_1'}^{m_2'} \sum_{\ell'=m_1'}^{m_2'} h_{k'}(\xi) h_{\ell'}(\xi) \\ \bullet \frac{R_{ff}[(k'-\ell')T_s]}{R_{ff}(0)} \quad (3.15)$$

Cum valoarea relației (3.13) nu depinde de limitele de sumare  $m_1$  și  $m_2$  ci doar de numărul de puncte de sumare  $N$  care este același pentru relațiile (3.13) și (3.15) rezultă că aceste expresii au aceeași valoare.

Din analiza relației (3.13) se constată că eroarea medie pătratică rezultată din interpolare depinde numai de nucleul utilizat  $h(t)$  și de funcția de autocorelație a semnalului original  $R_{ff}(\zeta)$  și prin aceasta, implicit și de perioada de eşantionare  $T_s$ . Dacă aceste mărimi sunt cunoscute, se poate calcula exact valoarea erorii în orice punct din intervalul  $[nT_s, (n+1)T_s]$ .

### 3.3. Cazul interpolării în două faze consecutive

Datorită faptului că practic este aproape imposibil de implementat un sistem de interpolare analogic de ordin mai mare decât ordinul zere (converterul numeric-analogic usual) sau ordinul întâi (interpolarea liniară), prezintă un interes deosebit situația în care interpolarea se efectuează în două sau mai multe faze consecutive.

In prima fază se efectuează o interpolare discretă (numerică) ce are ca efect mărirea numărului de eşantioane ("oversampling") iar în faza a două se efectuează interpolarea analogică dar pentru un număr mai mare de eşantioane, deci pentru o frecvență mai mare de eşantionare.

Po de altă parte, etapa de interpolare discretă (numerică) poate fi realizată la rîndul ei în mai multe faze consecutive ("multistage implementation").

Prin urmare, în aceste situații, este necesară estimarea erorii medii pătratică globală care afectează semnalul reconstruit în a două fază de interpolare în comparație cu semnalul original. Presupunem din nou că  $f(t)$  este funcția originală care se eşantionează cu perioada  $T_{s1}$ . Notind cu  $d(t)$  funcția de interpolare după prima fază, aceasta va avea expresia:

$$d(t) = \sum_{a=-A_1}^{A_2} h_a'(t) f[(m+a)T_{s1}] \quad \text{pt. } t \in [mT_{s1}, (m+1)T_{s1}] \quad (3.16)$$

unde  $h_a'(t)$  reprezintă nucleul utilizat în prima fază de interpolare;  $a$  este un număr natural ce ia valoriile din intervalul  $[-A_1, A_2]$  iar numărul de eşantioane consecutive utilizate simultan în prima fază de interpolare este  $N_1 = A_1 + A_2 + 1$ .

Eşantioanele lui  $d(t)$  făcute cu perioada  $T_{s2} < T_{s1}$  vor fi utilizate la a doua interpolare ce va avea ca rezultat funcția  $g(t)$  având expresia:

$$g(t) = \sum_{k=-K_1}^{K_2} h_k(t) \cdot d[(n+k)T_{s2}] \quad \text{pt. } t \in [nT_{s2}, (n+1)T_{s2}] \quad (3.17)$$

unde  $h_k(t)$  reprezintă nucleul utilizat în faza a două de interpolare,  $k$  este un număr natural ce ia valori în intervalul  $[-K_1, K_2]$  iar numărul de eşantioane consecutive utilizate simultan

tan este  $N_2 = K_1 + K_2 + l$ . Eroarea momentană globală generată prin interpolarea în două faze consecutive va avea expresia:

$$e(t) = f(t) - g(t) \text{ sau } e(t) = f(t) - \sum_{k=-K_1}^{K_2} h_k(t) d[(n+k)T_{s2}] \quad (3.18)$$

Folosind notatiile (3.4) rezultă eroarea momentană:

$$e_n(\xi) = f(nT_{s2} + \xi) - \sum_{k=-K_1}^{K_2} h_k(\xi) \cdot d[(n+k)T_{s2}] \quad (3.19)$$

Considerînd, în continuare, că semnalul original  $f(t)$  este rezultatul unui proces aleator stationar în sens larg, pornind de la relația (3.19) se poate estima eroarea medie pătratică în sens statistic:

$$\begin{aligned} E\{e_n^2(\xi)\} &= E\{f^2(nT_{s2} + \xi)\} - 2 \sum_{k=-K_1}^{K_2} h_k(\xi) E\{f(nT_{s2} + \xi) \cdot d[(n+k)T_{s2}]\} + \\ &+ \sum_{k=-K_1}^{K_2} \sum_{l=-K_1}^{K_2} h_k(\xi) h_l(\xi) E\{d[(n+k)T_{s2}] \cdot d[(n+l)T_{s2}]\} \end{aligned} \quad (3.20)$$

Inlocuind în relația (3.20) valoarea lui  $d(t)$  dată de relația (3.16) ceea ce presupune că intervalul  $[nT_{s2}, (n+l)T_{s2}] \subset [mT_{s1}, (m+l)T_{s1}]$ , se obține:

$$\begin{aligned} E\{e_n^2(\xi)\} &= E\{f^2(nT_{s2} + \xi)\} - 2 \sum_{k=-K_1}^{K_2} h_k(\xi) \sum_{a=-A_1}^{A_2} h_a^*[(n+k)T_{s2}] E\{f(nT_{s2} + \xi) \cdot \\ &\cdot f[(m+a)T_{s1}]\} + \sum_{k=-K_1}^{K_2} \sum_{l=-K_1}^{K_2} h_k(\xi) h_l(\xi) \sum_{a=-A_1}^{A_2} \sum_{b=-A_1}^{A_2} \\ &\cdot h_a^*[(n+k)T_{s2}] h_b^*[(n+l)T_{s2}] E\{f[(m+a)T_{s1}] f[(m+b)T_{s1}]\} \end{aligned} \quad (3.21)$$

Introducînd funcția de autocorelație a semnalului original  $R_{ff}(z)$  rezultă:

$$E\{f^2(nT_{s2} + \xi)\} = R_{ff}(0) \quad (3.22)$$

$$E\{f(nT_{s2} + \xi) f[(m+a)T_{s1}]\} = R_{ff}[z - aT_{s1} + (nT_{s2} - mT_{s1})] \quad (3.23)$$

$$E\{f[(m+a)T_{s1}] \cdot f[(m+b)T_{s1}]\} = R_{ff}[(a-b)T_{s1}] \quad (3.24)$$

Inlocuind expresiile (3.22), (3.23) și (3.24) în relația (3.21) și împărțind totul cu  $T_f^2$  se obține o relație similară relației (3.13) :

$$\frac{\sigma_e^2(\xi)}{\sigma_f^2} = 1 - 2 \sum_{k=-K_1}^{K_2} \sum_{a=-A_1}^{A_2} h_k(\xi) h_a'[(n+k)T_{s2}] \frac{R_{ff}[\xi - aT_{s1} + (nT_{s2} - aT_{s1})]}{R_{ff}(0)} + \\ + \sum_{k=-K_1}^{K_2} \sum_{l=-K_1}^{K_2} \sum_{a=-A_1}^{A_2} \sum_{b=-A_1}^{A_2} h_k(\xi) h_l(\xi) h_a'[(n+k)T_{s2}] h_b'[(n+l)T_{s2}] \cdot \\ \cdot \frac{R_{ff}[(a-b)T_{s1}]}{R_{ff}(0)} \quad (3.25)$$

Relația (3.25) are un caracter general deoarece referitor la raportul celor două perioade de eşantionare s-a făcut doar considerația  $T_{s1}/T_{s2} > 1$ . Raportul celor două perioade poate lua valori naturale, rationale sau irationale.

In practică este de dorit ca funcția de interpolare  $g(t)$  să coincidă în punctele de eşantionare ale semnalului original cu eşantioanele acestuia.

Acest deziderat poate fi îndeplinit numai dacă raportul  $T_{s1}/T_{s2}$  este un număr natural.

In aceste condiții relația (3.25) poate fi adusă într-o formă mai convenabilă de calcul. Considerind că în momentul  $t=0$  ( $m=0, n=0$ )  $g(t)$  coincide cu  $d(t)$  deci și cu  $f(t)$  rezultă:

$$\frac{\sigma_e^2(\xi)}{\sigma_f^2} = 1 - 2 \sum_{k=-K_1}^{K_2} \sum_{a=-A_1}^{A_2} h_k(\xi) h_a' (kT_{s2}) \frac{R_{ff}(\xi - aT_{s1})}{R_{ff}(0)} + \\ + \sum_{k=-K_1}^{K_2} \sum_{l=-K_1}^{K_2} \sum_{a=-A_1}^{A_2} \sum_{b=-A_1}^{A_2} h_k(\xi) h_l(\xi) h_a'(kT_{s2}) h_b'(lT_{s2}) \cdot \\ \cdot \frac{R_{ff}[(a-b)T_{s1}]}{R_{ff}(0)} \quad (3.26)$$

Relația (3.26) deși destul de complexă permite calculul erorii medii pătratice respectiv calculul raportului  $\sigma_e^2(\xi)/\sigma_f^2$  numai în funcție de valorile nucleelor utilizate în cele două faze de interpolare și de expresia funcției de autocorelație.

Valoarea dată de relația (3.26) este nulă pentru  $\xi = 0$  și coincide cu valoarea erorii date de relația (3.13) pentru nucleul felosit în prima fază în punctul  $\xi = T_{s2}$ .

### 3.4. Interpretarea erorii globale la interpolarea în două faze consecutive

Deoarece a două fază de interpolare este la rîndul ei o succesiune de erori este de așteptat ca eroarea globală să fie mai mare decît eroarea furnizată de prima fază de interpolare.

Pentru a se obține o imagine mai clară asupra erorilor care se produc la o interpolare în două faze consecutive (în care prima fază este o interpolare numerică) se poate lua în considerare faptul că funcția  $d(t)$  obținută în prima fază de interpolare a semnalului original  $f(t)$  prin relația (3.16) intervine în funcția  $g(t)$ , obținută prin a doua interpolare cu relația (3.17), numai prin eșantioanele sale în punctele  $kT_{s2}$ .

Notînd cu  $e_1(t)$  eroarea din prima fază de interpolare:

$$e_1(t) = f(t) - d(t) \quad (3.27)$$

rezultă că

$$d(t) = f(t) - e_1(t) \quad (3.28)$$

Eroarea totală (prin interpolarea în două faze) notată cu  $e_T(t)$  va fi:

$$e_T(t) = f(t) - g(t) \quad (3.29)$$

și înlocuind pe  $g(t)$  din relația (3.17) se obține:

$$e_T(t) = f(t) - \sum_{k=-K_1}^{K_2} h_k(t) d[(n+k)T_{s2}]$$

Trecind la variabila  $\zeta$  și înlocuind pe  $d(t)$  din relația (3.28) rezultă:

$$e_T(\zeta) = f(nT_s + \zeta) - \sum_{k=-K_1}^{K_2} h_k(\zeta) f[(n+k)T_{s2}] + \sum_{k=-K_1}^{K_2} h_k(\zeta) e_1[(n+k)T_{s2}] \quad (3.30)$$

$$\text{Se observă că diferența } f(nT_s + \zeta) - \sum_{k=-K_1}^{K_2} h_k(\zeta) f[(n+k)T_{s2}]$$

reprezintă eroarea momentană care s-ar obține prin interpolarea directă a funcției originale  $f(t)$  cu nucleul  $h_k(\zeta)$  din fază a două de interpolare (semnalul original fiind însă eșantionat cu perioada  $T_{s2}$ ).

Notînd această diferență cu  $e_{2dir}(\zeta)$  rezultă eroarea totală:

$$e_T(\zeta) = e_{2dir}(\zeta) + \sum_{k=-K_1}^{K_2} h_k(\zeta) e_1[(n+k)T_{s2}] \quad (3.31)$$

Expresia  $\sum_{k=-K_1}^{K_2} h_k(\xi) e_1[(n+k)T_{s2}]$  reprezintă interpolarea ero-  
rii obținute în prima fază de interpolare cu nucleul utili-  
zat în a două fază.

Relația (3.31) pune în evidență faptul că eroarea totală de-  
pinde de ambele faze de interpolare.

Decarece în punctele  $\xi=0$  și  $\xi=T_{s2}$   $e_{2dir}(\xi)=0$  și nuclele  
 $h_k(\xi)$  se anulează, cu excepția unui singur nucleu care ia valoarea  
1, rezultă că  $e_T(\xi)$  este egală cu eroarea din prima fază de inter-  
polare în aceste puncte.

In plus, se pune în evidență faptul că eroarea din prima fa-  
ză  $e_1(t)$  nu intervine în totalitate ci doar prin valorile în pun-  
tele de eşantionare  $kT_{s2}$ .

Dacă se notează cu  $e_2(t)$  eroarea momentană introdusă de a  
deuă fază de interpolare:

$$e_2(t) = d(t) - g(t) \quad (3.32)$$

eroarea totală poate fi scrisă în forma:

$$e_T(t) = f(t) - g(t) = f(t) - d(t) + e_2(t)$$

sau

$$e_T(t) = e_1(t) + e_2(t) \quad (3.33)$$

Eroarea medie pătratică va fi în acest caz:

$$E\{e_T^2(t)\} = E\{e_1^2(t)\} + 2E\{e_1(t)e_2(t)\} + E\{e_2^2(t)\} \quad (3.34)$$

Decarece erorile  $e_1(t)$  și  $e_2(t)$  sunt corelate expresia

$$E\{e_1(t)e_2(t)\} \neq E\{e_1(t)\} \cdot E\{e_2(t)\} = 0$$

Cum erorile  $e_1(t)$  și  $e_2(t)$  pot avea același semn este de așteptat  
ca și eroarea medie pătratică totală să depășească valoarea ero-  
rii medii pătratice date de prima fază de interpolare.

## CAPITOLUL 4.

### COMPARAREA SISTEMELOR DE INTERPOLARE CU AJUTORUL ERORII MEDII PATRATICE

#### 4.1. Posibilitățile practice de aplicare a erorii medii pătratice

Aprecierea performanțelor unui sistem de interpolare precum și compararea calitativă a unor sisteme diferite, de același ordin sau de ordin diferit, într-o singură fază sau în două faze, se poate face, pornind de la estimarea erorii medii pătratice, cu ajutorul raportului  $\sigma_e^2(\xi)/\sigma_f^2$  dat de relația (A.13) și respectiv (A.26). Din analiza acestor relații rezultă că valoarea raportului  $\sigma_e^2(\xi)/\sigma_f^2$  poate fi calculată într-un caz concret dacă se cunoaște expresia nucleului utilizat și funcția de autocorelație a semnalului original. Deoarece nu întotdeauna se cunoaște precis funcția de autocorelație a unui semnal și, pe de altă parte, un sistem de interpolare odată realizat nu permite întotdeauna o modificare ușoară a nucleului de interpolare implementat, este utilă o estimare a performanțelor sistemului de interpolare în cîteva situații de referință. În acest scop, se propun trei tipuri de semnale de test care permit o estimare de ansamblu a performanțelor.

#### 4.2. Cazul semnalului cu densitate de putere constantă ( $S_1$ )

Se presupune că semnalul original  $f(t)$  are densitatea spectrală de putere  $S_{ff}(\omega)$  constantă în domeniul  $(-\omega_c, \omega_c)$  și nulă în rest ca în figura 4.1.

În această situație, funcția de autocorelație a semnalului original conform /13/ este:

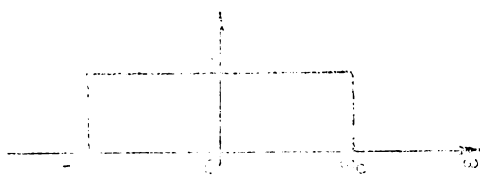


Fig.4.1.

$$R_{ff}(z) = \frac{1}{2\pi} \int_{-\infty}^{\infty} S_{ff}(\omega) e^{j\omega z} d\omega \quad (4.1)$$

sau calculind integrala pentru  $S_{ff}(\omega)$  considerat:

$$R_{ff}(z) = \frac{\omega_c s_0}{\pi} \cdot \frac{\sin \omega_c z}{\omega_c^2} \quad (4.2)$$

Introducind parametrul

$$A = \frac{\omega_c s_0}{2\omega_c} = \frac{T_s}{2T_s} \quad (4.3)$$

unde  $\omega_s$  este frecvența de eşantionare, rezultă:

$$R_{ff}(z) = \frac{\omega_c s_0}{\pi} \sin c \frac{z}{AT_s} \quad (4.4)$$

$$R_{ff}(0) = \frac{\omega_c s_0}{\pi} \quad (4.5)$$

$$\frac{R_{ff}(z)}{R_{ff}(0)} = \sin c \frac{z}{AT_s} \quad (4.6)$$

In aceste condiții, relația (3.13) pentru interpolare într-o singură fază devine:

$$\left. \frac{\tau^2(\xi)}{\tau^2} \right|_{S_1} = 1 - 2 \sum_{k=-K_1}^{K_2} h_k(\xi) \sin c \frac{\xi - kT_s}{AT_s} + \sum_{k=-K_1}^{K_2} \sum_{l=-K_1}^{K_2} h_k(\xi) h_l(\xi) \cdot \sin c \frac{k-l}{A} \quad (4.7)$$

Analog, relația (3.26) pentru interpolarea în două faze consecutive devine:

$$\left. \frac{\sigma_e^2(\xi)}{\sigma_f^2} \right|_{S_1} = 1 - 2 \sum_{k=-K_1}^{K_2} \sum_{a=-A_1}^{A_2} h_k(\xi) h_a'(kT_{s2}) \sin c \frac{\xi - aT_{s1}}{AT_{s1}} + \\ + \sum_{k=-K_1}^{K_2} \sum_{l=-K_1}^{K_2} \sum_{a=-A_1}^{A_2} \sum_{b=-A_1}^{A_2} h_k(\xi) h_l(\xi) h_a'(kT_{s2}) h_b'(lT_{s2}) \cdot \\ \cdot \sin c \frac{a-b}{A} \quad (4.8)$$

Se observă că relațiile (4.7) și respectiv (4.8) pot fi calculate numai în funcție de expresia analitică a nucleelor utilizate în sistemul de interpolare.

#### 4.3. Cazul semnalului cu densitate de putere uniformă descrescătoare cu frecvență (S<sub>2</sub>)

Se presupune că semnalul original f(t) are densitatea spectrală de putere S<sub>ff</sub>(ω) uniformă descrescătoare în domeniul (0, ω<sub>c</sub>) și nulă în rest, conform figurii 4.2.

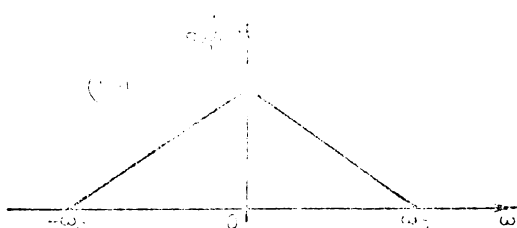


Fig.4.2.

Calculind cu relația (4.1) funcția de autocorelație a semnalului se obține:

$$\frac{R_{ff}(z)}{R_{ff}(0)} = \sin c^2 \frac{z}{2AT_s} \quad (4.9)$$

Folosind valoarea dată de relația (4.9) se obține pentru interpolarea într-o singură fază:

$$\left. \frac{\sigma_e^2(\xi)}{\sigma_f^2} \right|_{S_2} = 1 - 2 \sum_{k=-K_1}^{K_2} h_k(\xi) \sin c^2 \frac{\xi - kT_s}{2AT_s} + \sum_{k=-K_1}^{K_2} \sum_{l=-K_1}^{K_2} h_k(\xi) h_l(\xi) \cdot$$

$$\cdot \sin c^2 \frac{k-l}{2A} \quad (4.10)$$

Iar pentru interpolarea în două faze consecutive:

$$\begin{aligned} \frac{\tau_e^2(\zeta)}{\tau_f^2} \Big|_{S_2} = & 1 - 2 \sum_{k=-K_1}^{K_2} \sum_{a=-A_1}^{A_2} h_k(\zeta) h_a'(kT_{S_2}) \sin c^2 \frac{\zeta - aT_{S_1}}{2AT_{S_1}} + \\ & + \sum_{k=-K_1}^{K_2} \sum_{l=-K_1}^{K_2} \sum_{a=-A_1}^{A_2} \sum_{b=-A_1}^{A_2} h_k(\zeta) h_l(\zeta) h_a'(kT_{S_2}) h_b'(lT_{S_2}) \cdot \\ \cdot \sin c^2 \frac{a-b}{2A} \end{aligned} \quad (4.11)$$

#### 4.4. Cazul semnalului cu densitate de putere uniform crescătoare cu frévența ( $S_3$ )

Se presupune că semnalul original  $f(t)$  are densitatea spectrală de putere uniform crescătoare în domeniul  $(0, \omega_c)$  și nulă în rest, conform figurii 4.3.

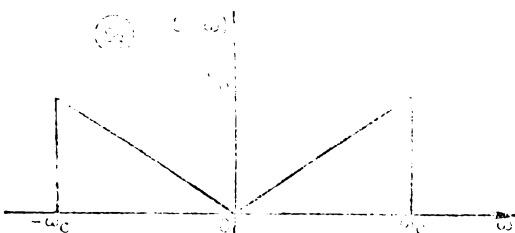


Fig.4.3.

Dacă se calculează funcția de autocorelație a unui astfel de semnal, folosind relația (4.1) se obține:

$$\frac{R_{ff}(z)}{R_{ff}(0)} = 2 \sin c \frac{z}{AT_s} - \sin c^2 \frac{z}{2AT_s} \quad (4.12)$$

Calculul raportului  $\tau_e^2(\zeta)/\tau_f^2$  în acest caz se poate efectua înlocuind valoarea  $R_{ff}(z)/R_{ff}(0)$  în relația (3.26) sau se pot utiliza, dacă sunt cunoscute, valorile  $\tau_e^2(\zeta)/\tau_f^2|_{S_1}$  și  $\tau_e^2(\zeta)/\tau_f^2|_{S_2}$  datorită următoarei proprietăți:

$$\left| \frac{\sigma_e^2(\xi)}{\sigma_f^2} \right|_{S_3} = 2 \left| \frac{\sigma_e^2(\xi)}{\sigma_f^2} \right|_{S_1} - \left| \frac{\sigma_e^2(\xi)}{\sigma_f^2} \right|_{S_2} \quad (4.13)$$

Această proprietate este o consecință a faptului că:

$$\left| \frac{R_{ff}(z)}{R_{ff}(0)} \right|_{S_3} = 2 \left| \frac{R_{ff}(z)}{R_{ff}(0)} \right|_{S_1} - \left| \frac{R_{ff}(z)}{R_{ff}(0)} \right|_{S_2}$$

#### 4.5. Compararea nucleelor de interpolare (sisteme de interpolare într-o singură fază)

Cu ajutorul relațiilor (4.7), (4.10) și (4.13) se poate realiza o comparație între diferite nuclee de interpolare.

In literatură /53/ se prezintă relația (4.7) și întrucât raportul  $\sigma_e^2(\xi)/\sigma_f^2$  ia valori simetrice față de mijlocul intervalului  $[0, T_s]$  se trage concluzia că eroarea și respectiv  $\sigma_e^2(\xi)/\sigma_f^2$  vor fi maxime la mijlocul intervalului.

Pornind de la această premiză se consideră că este suficient să se calculează valoarea lui  $\sigma_e^2(\xi)/\sigma_f^2$  în punctul  $\xi = T_s/2$  pentru diferite nuclee de interpolare și să fie ales ca optim nucleul pentru care se obține valoarea cea mai mică.

In realitate această presupunere este falsă întrucât raportul  $\sigma_e^2(\xi)/\sigma_f^2$  poate prezenta în punctul  $T_s/2$  un minim local.

Din acest motiv, pentru o aplicare corectă a acestui criteriu, de estimare și comparare, se impune calcularea valorii raportului  $\sigma_e^2(\xi)/\sigma_f^2$  într-un număr suficient de puncte din intervalul  $[0, T_s]$  pentru a pune în evidență forma de variație pe întregul interval iar compararea nucleelor trebuie efectuată comparind eroarea pe întreg intervalul.

#### 4.6. Compararea nucleelor în cazul semnalului cu densitate de putere constantă

Pentru a pune în evidență aspectele prezentate în paragraful anterior se va utiliza în continuare relația (4.7) dedusă în cazul în care s-a presupus că semnalul original are densitatea de putere constantă în banda  $(-\omega_c, \omega_c)$  conform figurii 4.1.

Dacă se compară nuclee de ordin diferit cum ar fi interpolarea de ordinul zero (ZOH) ( $N=1$ ,  $A=1$ ) cu interpolarea linia-

ră (FOH) ( $N=2$ ,  $A=1$ ) și cu nucleul Lagrange de ordinul 3 (L3) ( $N=4$ ,  $A=1$ ), datorită diferențelor mari căre apăr între cări este posibil să fie suficientă compararea valorilor raportului  $\sigma_e^2(\xi)/\sigma_f^2$  numai în punctul  $\xi = T_g/2$ .

In tabelul 4.1 se prezintă valorile raportului  $\sigma_e^2(\xi)/\sigma_f^2$  calculate pe intervalul  $[0, T_g/2]$  cu pasul  $0,1 \cdot T_g$  pentru nucleul menținerii de ordinul zero (ZOH) care folosește un singur eșantion, pentru nucleul interpolării liniare (FOH) care folosește două eșantioane și pentru nucleul Lagrange de ordinul 3 care folosește patru eșantioane la interpolare (toate în cazul  $A=1$ ).

TABELUL 4.1.

A	$\xi/T_g$	$\sigma_e^2(\xi)/\sigma_f^2$			Cazul $S_1$
		ZOH	FOH	L3	
1	0	0	0	0	
	0,1	0,0327	0,0276	0,0166	
	0,2	0,1290	0,0896	0,0573	
	0,3	0,2832	0,1575	0,1046	
	0,4	0,4863	0,2081	0,1413	
	0,5	0,7267	0,2267	0,1551	

In figura 4.4 se reprezintă grafic variația raportului  $\sigma_e^2(\xi)/\sigma_f^2$  pentru cazurile din tabelul 4.1.

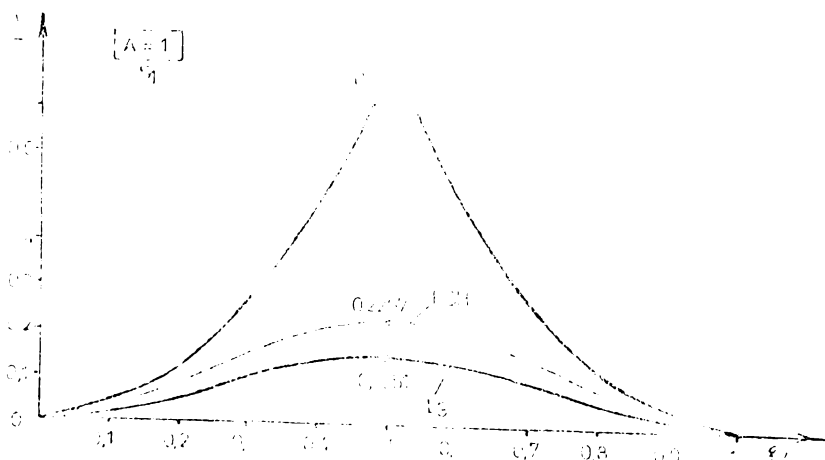


Fig.4.4.

In această situație se poate considera suficientă calcularea valorii raportului  $\sigma_e^2(\xi)/\sigma_f^2$  numai în punctul  $\xi = T_s/2$ .

Dacă se compară însă nucleele de același ordin estimarea erorilor numai pentru  $\xi = T_s/2$  nu mai poate fi considerată suficientă.

Pentru exemplificare se prezintă în continuare cazul utilizării a patru eșantioane consecutive ( $N=4$ ) la construcția funcției de interpolare. Acest caz merită o atenție deosebită deoarece în literatură /39, 53, 85/ sunt descrise mai multe tipuri de nuclele (polinomiale de ordinul 3) iar utilizarea unui număr de eșanțioane mai mare de 4 este mai puțin frecventă.

In tabelul 4.2 se prezintă valorile raportului  $\sigma_e^2(\xi)/\sigma_f^2$  calculate pe intervalul  $[0, T_s/2]$  cu pasul  $0,1 \cdot T_s$  pentru nucleele Lagrange de ordinul 3, Spline de ordinul 3 ("cubic spline"), "cubic convolution interpolation" și cubic continual.

S-au luat în considerare cazurile  $A=1$  ( $\omega_s=2\omega_c$ ) și  $A=2$  ( $\omega_s=4\omega_c$ ).

TABELUL 4.2.

A	$\xi/T_s$	$\sigma_e^2(\xi)/\sigma_f^2$			Cazul S <sub>1</sub>
		Lagrange 3	Spline 3	Cubic conv.int.	
1	0	0	0	0	0
	0,1	0,01658	0,01175	0,01619	0,01314
	0,2	0,05730	0,04106	0,05612	0,04641
	0,3	0,10460	0,07622	0,1353	0,08668
	0,4	0,14139	0,10422	0,14101	0,11887
	0,5	0,15517	0,11484	0,15517	0,13110
2	0	0	0	0	0
	0,1	0,0001793	0,0015983	0,0003279	0,0002102
	0,2	0,0006077	0,0034798	0,0008691	0,0004331
	0,3	0,0010990	0,0040559	0,0012976	0,0004621
	0,4	0,0014771	0,0037756	0,0015417	0,0003814
	0,5	0,0016180	0,0035459	0,0016180	0,0003336

In figurile 4.5 și 4.6 este reprezentată grafic variația raportului  $\sigma_e^2(\xi)/\sigma_f^2$  pentru nucleele considerate anterior conform tabelului 4.2.

Analiza datelor din tabelul 4.2 și a graficelor din figurile 4.5 și 4.6 permite o comparare eficientă a performanțe-

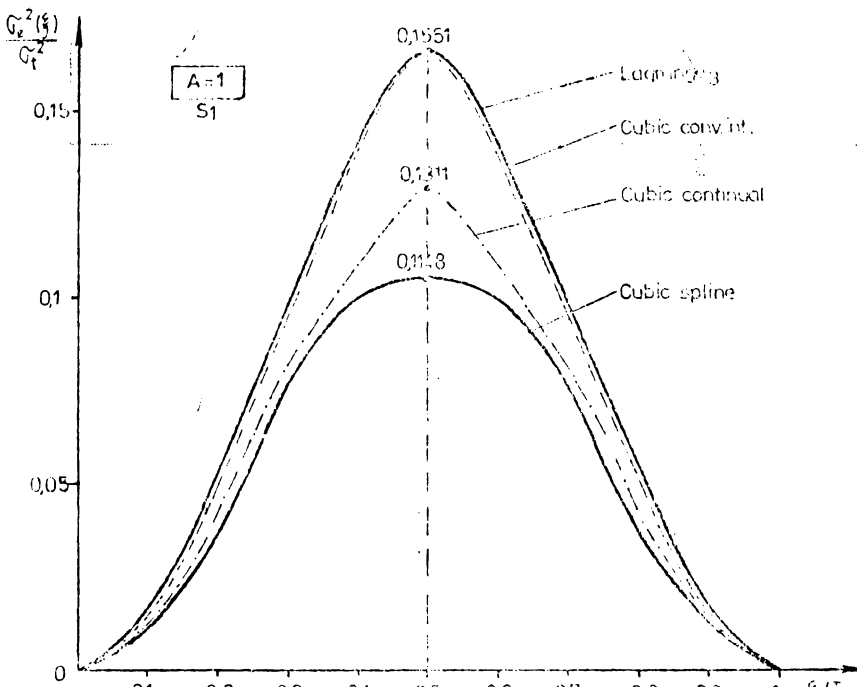


Fig.4.5.

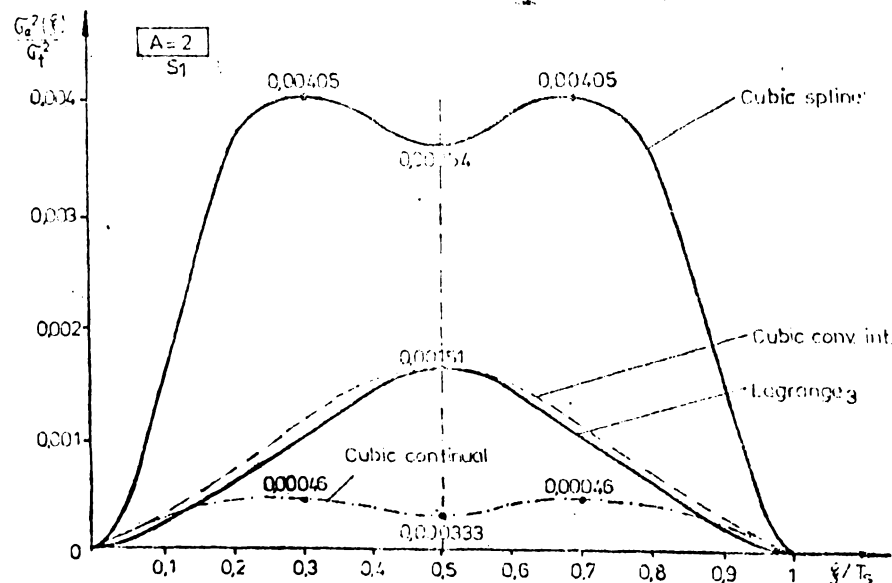


Fig.4.6.

lor nucleelor considerate. Astfel pentru cazul A=1 se constată că cele mai mari erori le introduce nucleul Lagrange. De asemenea se observă că deși în punctul  $\xi = T_s/2$  nucleele Lagrange și "Cubic convolution interpolation" au aceeași eroare în rest al doilea nucleu introduce erori inferioare. Se constată că nucleul Spline de ordinul 3 este cel mai avantajos dintre cele 4 nuclee considerate.

Pentru cazul A=2 se observă că erorile devin aproape cu două ordine de mărime mai mici și de asemenea se constată o modificare a ierarhiei nucleelor.

Astfel nucleul Spline de ordinul 3 este cel mai defavorabil iar nucleul Cubic continual este cel mai avantajos.

Nucleele Lagrange și "Cubic convolution interpolation" prezintă din nou aceeași valoare în punctul  $\xi = T_s/2$  dar în rest primul nucleu introduce erori mai mici.

Se mai observă în acest caz și faptul că nucleele Spline de ordinul 3 și cubic continual nu mai au eroarea maximă în punctul  $\xi = T_s/2$ . Variația raportului  $\sigma_e^2(\xi)/\sigma_f^2$  prezintă în acest punct un minim local.

Aceste rezultate justifică necesitatea de a se calcula valoarea raportului  $\sigma_e^2(\xi)/\sigma_f^2$  în mai multe puncte.

De asemenea trebuie evidențiat faptul că un nucleu considerat optim pentru o anumită valoare a parametrului  $A = \omega_s/2\omega_c$  poate deveni defavorabil în comparație cu alte nuclee la modificarea valorii parametrului.

#### 4.7. Compararea nucleelor în cazul semnalului cu densitatea de putere uniform descrescătoare

In situația în care semnalul original prezintă o densitate de putere uniform descrescătoare, conform figurii 4.2, compararea diferitelor nuclee se poate efectua cu ajutorul relației (4.1).

In tabelul 4.3 se prezintă valorile raportului  $\sigma_e^2(\xi)/\sigma_f^2$  calculate pe intervalul  $[0, T_s/2]$  pentru nucleele ZOH, FOH și Lagrange de ordinul 3, în cazul A=1.

In figura 4.7 se reprezintă grafic variația raportului  $\sigma_e^2(\xi)/\sigma_f^2$  pentru cazurile din tabelul 4.3.

TABELUL 4.3.

A	$\xi/T_s$	$\sigma_e^2(\xi)/\sigma_f^2$			Cazul $S_2$
		ZOH	FOH	L3	
0	0	0	0	0	0
0,1	0,0163	0,0100	0,0042		
0,2	0,0649	0,0325	0,0145		
0,3	0,1437	0,0568	0,0264		
0,4	0,2497	0,0748	0,0357		
0,5	0,3788	0,0815	0,0391		

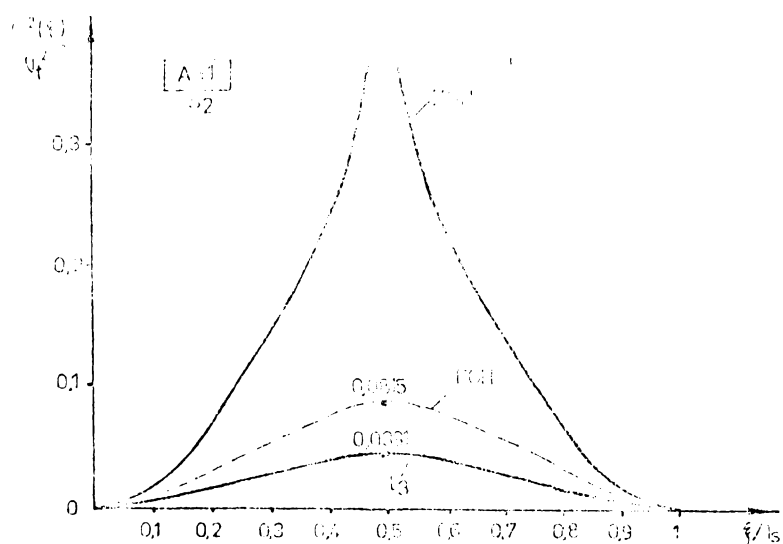


Fig.4.7.

Comparind valorile din tabelele 4.1 și 4.3 și respectiv figurile 4.4 și 4.7 se constată că ierarhia celor trei nuclee s-a păstrat.

In al doilea caz erorile care rezultă sunt însă mai mici iar diferența relativă între erori este mai pronunțată.

In tabelul 4.4 se prezintă valorile raportului  $\sigma_e^2(\xi)/\sigma_f^2$  calculate în cazul semnalului cu densitate de putere uniform descrescătoare în cazul nucleelor Lagrange de ordinul 3, Spline de ordinul 3, "Cubic convolution interpolation" și Cubic continual pentru  $A=1$  și  $A=2$ .

TABELUL 4.4.

A	$\xi/T_B$	$\sigma_e^2(\xi)/\sigma_f^2$				Cazul S <sub>2</sub>
		Lagrange 3	Spline 3	Cubic conv.int.	Cubic cont.	
1	0	0	0	0	0	0
	0,1	0,00424	0,00307	0,00446	0,00297	
	0,2	0,01453	0,00942	0,01484	0,01014	
	0,3	0,02647	0,01598	0,02666	0,01854	
	0,4	0,03572	0,02075	0,03578	0,02514	
	0,5	0,03918	0,02249	0,03918	0,02763	
2	0	0	0	0	0	0
	0,1	0,0000380	0,0011783	0,0000817	0,0002019	
	0,2	0,0001287	0,0024561	0,0002058	0,0004057	
	0,3	0,0002327	0,0026688	0,0002914	0,0004127	
	0,4	0,0003127	0,0026667	0,0003318	0,0003146	
	0,5	0,0003425	0,0020096	0,0003425	0,0002602	

In figura 4.8 se reprezinta grafic variația raportului  $\sigma_e^2(\xi)/\sigma_f^2$  pentru cele patru nuclee de ordinul 3 în cazul A=1 iar în figura 4.9, în cazul A=2.

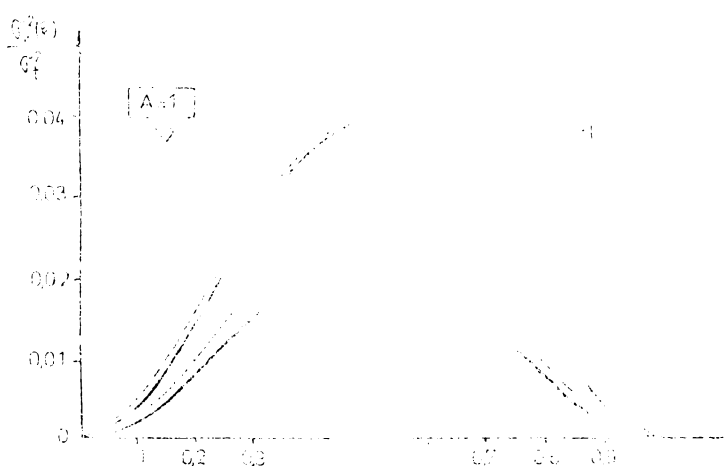


Fig.4.8.

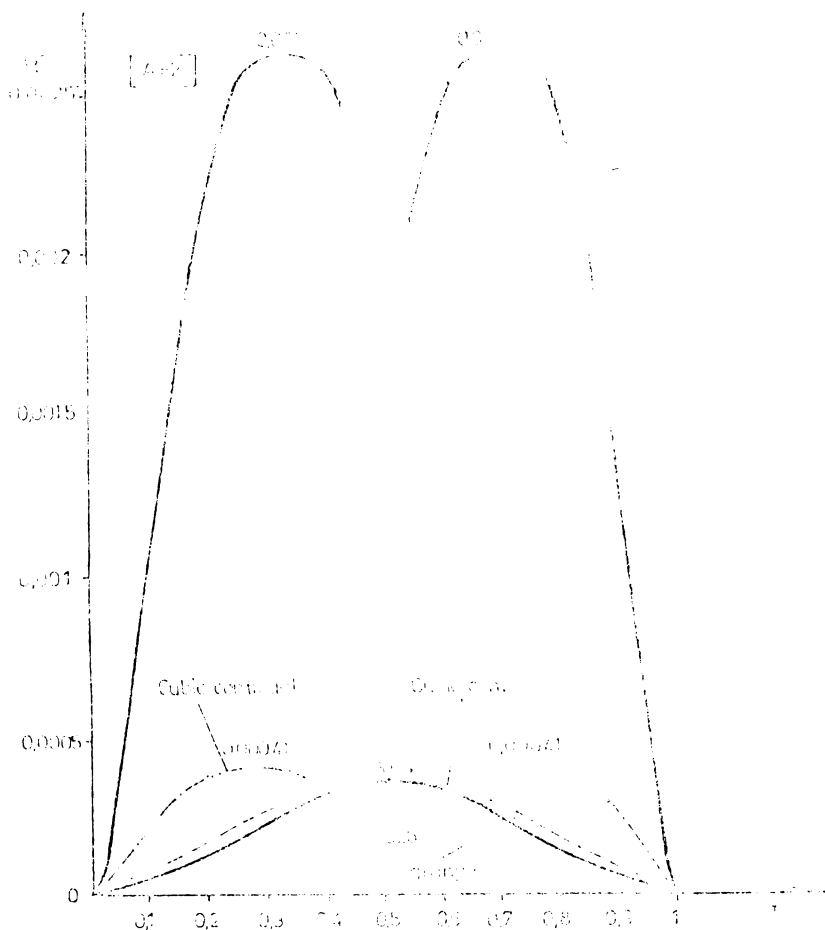


Fig.4.9.

#### 4.8. Compararea nucleelor în cazul semnalului cu densitate de putere uniform crescătoare

In situația în care semnalul original prezintă o densitate de putere uniform crescătoare conform figurii 4.3, folosind relația (4.13) pentru nucleele ZOH, FOH și Lagrange de ordinul 3 în cazul A<sub>ml</sub> se obțin pentru raportul  $\sigma_e^2(\xi)/\sigma_f^2$  valorile din tabelul 4.5.

In figura 4.10 se reprezintă grafic valorile date de tabelul 4.5 pentru cele trei nuclee considerate.

TABELUL 4.5.

A	$\zeta / T_{S_3}$	$\sigma_e^2(\zeta) / \sigma_f^2$			Cazul $S_3$
		ZOH	FOH	L3	
1	0	0	0	0	
	0,1	0,0491	0,0452	0,0291	
	0,2	0,1931	0,1467	0,1000	
	0,3	0,4227	0,2582	0,1827	
	0,4	0,7229	0,3413	0,2470	
	0,5	1,0746	0,3719	0,2711	

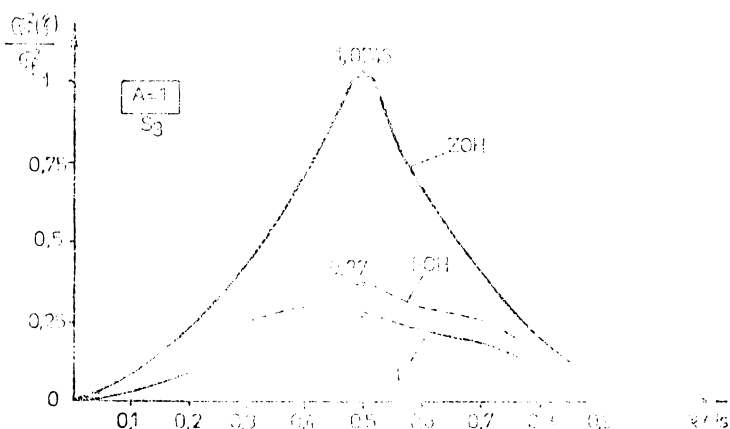


Fig.4.10.

Si în această situație ierarhia celor trei nucleee a rămas aceeași dar valoarea absolută a erorilor este mai ridicată decât în cazurile  $S_1$  și  $S_2$ .

In tabelul 4.6 se prezintă valorile raportului  $\sigma_e^2(\zeta) / \sigma_f^2$  pentru nucleele Lagrange de ordinul 3, Spline cubic, "Cubic convolution interpolation" și "Cubic continual" în cazul  $S_3$  pentru  $A=1$  și  $A=2$ .

In figura 4.11 se reprezintă grafic cazul  $A=1$  iar în figura 4.12 cazul  $A=2$ .

TABELUL 4.6.

A	$\zeta/T_s$	$\sigma_e^2(\zeta)/\sigma_p^2$			Cazul S <sub>3</sub>
		Lagrange 3	Spline 3	Cubic conv.int.	
1	0	0	0	0	0
	0,1	0,02912	0,02043	0,02792	0,02331
	0,2	0,10007	0,07270	0,09740	0,08268
	0,3	0,18273	0,13646	0,18040	0,15482
	0,4	0,24706	0,18769	0,24624	0,21260
	0,5	0,27116	0,26719	0,27116	0,23457
2	0	0	0	0	0
	0,1	0,0003206	0,0020183	0,0005741	0,0002185
	0,2	0,0010867	0,0045035	0,0015324	0,0004605
	0,3	0,0019653	0,0054430	0,0023038	0,0005115
	0,4	0,0026415	0,0049445	0,0027516	0,0004482
	0,5	0,0028935	0,0050822	0,0028935	0,0004070

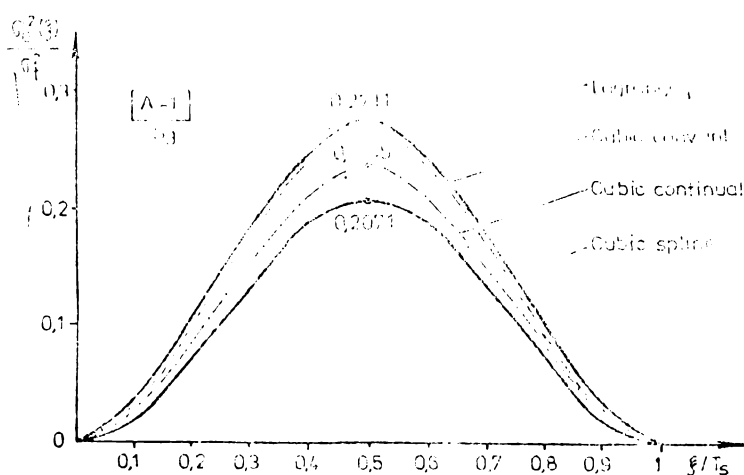


Fig.4.11.



Fig.4.12.

#### 4.9. Concluzii privind performantele nucleelor polinomiale de interpolare

Din rezultatele obținute în paragrafele anterioare se desprind o serie de concluzii importante privind comportarea nucleelor de interpolare.

În primul rînd se constată că erorile cele mai mici se obțin în cazul  $S_2$  ( $S_{ff}(\omega) = \text{unif. descreșc.}$ ) iar erorile cele mai mari în cazul  $S_3$  ( $S_{ff}(\omega) = \text{unif. cresc.}$ ). Acest fenomen este fi-

reșe intrucit nucleele de interpolare reprezintă răspunsurile la impuls unitar ale unor filtre trece-jos.

In al doilea rînd se observă că ierarhia unor nucleee de ordin diferit nu se modifică nici în funcție de parametrul  $A$ , nici în funcție de cazul  $S$ .

Comparind nucleee de același ordin, pentru cazul  $A=1$ , din figurile 4.5, 4.8 și 4.11 se constată că ierarhia nucleelor s-a păstrat aceeași. Fac excepție nucleele Lagrange de ordinul 3 și "Cubic convolution interpolation", nuclee care în punctul  $\frac{\zeta}{T_s} = 0,5$  dau aceeași eroare, la care se constată că nucleul  $L_3$  este superior în cazurile  $S_2$  și  $S_3$ .

Pentru  $A=1$  nucleul Spline de ordinul 3 este cel mai avantajos, fiind urmat însă de nucleul "Cubic continual".

In cazul  $A=2$  nucleul Spline de ordinul 3 devine însă nucleul cel mai dezavantajos.

Nucleul "cubic continual" dă erori comparabile cu nucleele  $L_3$  și CCI pentru cazul  $S_2$  dar devine net avantajos pentru cazurile  $S_1$  și  $S_3$ .

Ca o concluzie finală se poate remarcă faptul că densitatea spectrală de putere a semnalului original ce urmează a fi interpolat afectează substanțial nivelul erorilor de interpolare dar în mai mică măsură ierarhia nucleelor ce pot fi utilizate în acest scop. Datorită comportării bune în ambele cazuri ( $A=1$ ,  $A=2$ ) indiferent de tipul densității spectrale  $S_{ff}(\omega)$ , se poate aprecia că nucleul "cubic continual" reprezintă cea mai bună soluție în cazul în care funcția originală își modifică limita superioară a spectrului în intervalul  $[\omega_s/4, \omega_s/2]$ .

#### 4.1c. Compararea sistemelor de interpolare în două faze consecutive, fază a doua (de interpolare analogică) fiind un CNA (ZOH)

In cele ce urmează se va trata, pe baza concluziilor din paragraful anterior, numai cazul semnalelor cu densitate de putere constantă.

In situația în care a doua interpolare este de ordinul zero (obținută cu ajutorul unui convertor numeric-analogic) și raportul perioadelor de eșantionare  $T_{sl}/T_{s2}$  este un număr în-

trebuie calculat raportul  $\sigma_e^2(\xi)/\sigma_f^2$  se simplifică întrucât nucleul al doilea va avea expresia:

$$h_0(\xi) = \begin{cases} 1 & \text{pentru } \xi \in \left[-\frac{T_{s2}}{2}, \frac{T_{s2}}{2}\right] \\ 0 & \text{în rest} \end{cases}$$

In aceste condiții relația (4.8) devine pentru  $\xi \in [0, T_{s2}/2]$ :

$$\frac{\sigma_e^2(\xi)}{\sigma_f^2} = 1 - 2 \sum_{a=-A_1}^{A_2} h_a'(0) \sin c \frac{\xi - aT_{s1}}{AT_{s1}} + \sum_{a=-A_1}^{A_2} \sum_{b=-A_1}^{A_2} h_a'(0) h_b'(0) \cdot \sin c \frac{a-b}{A}$$

Deoarece  $h_a'(0) = \begin{cases} 1 & \text{pt. } a=0 \\ 0 & \text{pt. } a \neq 0 \end{cases}$  (din proprietățile nucleelor) rezultă:

$$\frac{\sigma_e^2(\xi)}{\sigma_f^2} = 1 - 2 \sin c \frac{\xi}{AT_{s1}} + 1 = 2 - 2 \sin c \frac{\xi}{AT_{s1}} \quad (4.14)$$

In mod asemănător rezultă pentru  $\xi \in [T_{s2}/2, T_{s2}]$  din relația (4.8) :

$$\frac{\sigma_e^2(\xi)}{\sigma_f^2} = 1 - 2 \sum_{a=-A_1}^{A_2} h_a'(T_{s2}) \sin c \frac{\xi - aT_{s1}}{AT_{s1}} + \sum_{a=-A_1}^{A_2} \sum_{b=-A_1}^{A_2} h_a'(T_{s2}) h_b'(T_{s2}) \cdot \sin c \frac{a-b}{A} \quad (4.15)$$

Din relațiile (4.14) și (4.15) se observă că sunt valabile constatăriile de la cazul general și anume:

$$\frac{\sigma_e^2(0)}{\sigma_f^2} = 0 \quad \text{și} \quad \frac{\sigma_e^2(T_{s2})}{\sigma_f^2} = \frac{\sigma_{el}^2(T_{s2})}{\sigma_f^2} \quad \text{unde cu} \quad \frac{\sigma_{el}^2(\xi)}{\sigma_f^2}$$

S-a notat eroarea dată de relația (4.7) pentru prima fază de interpolare.

In continuare, pentru exemplificare, se consideră cazul în care, în prima fază de interpolare, se utilizează un nucleu Lagrange de ordinul 3, ce utilizează patru eșantioane consecutive ( $N=4$ ) iar a doua interpolare se face după eșantionare cu perioada  $T_{s2}=T_{s1}/2$  (interpolarea numerică din prima fază dublează numărul de eșantioane).

Utilizând relațiile (4.14) și respectiv (4.15) pentru cazul  $A=1$  se obține tabelul 4.7.

TABELUL 4.7.

$S_1$

A	$\xi/T_{s2}$	$\frac{\sigma_e^2(\xi)}{\sigma_f^2} \text{ cu rel. } (4.14)$	A	$\xi/T_{s2}$	$\frac{\sigma_e^2(\xi)}{\sigma_f^2} \text{ cu rel. } (4.15)$
1	0	0	1	1	0,1551
	0,1	0,0082		0,9	0,1590
	0,2	0,0327		0,8	0,1708
	0,3	0,0732		0,7	0,1903
	0,4	0,1290		0,6	0,2173
	0,5	0,1993		0,5	0,2515

In figura 4.13 se reprezinta grafic variația raportului  $\sigma_e^2(\xi)/\sigma_f^2$  pe intervalul  $[0, T_{al}]$ .

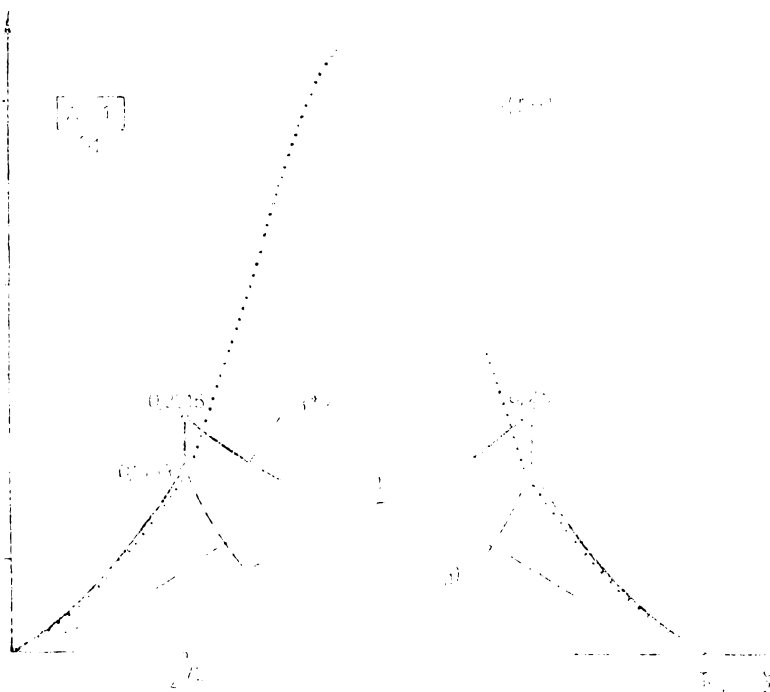


Fig.4.13.

Din figura 4.13 se observă că eroarea rezultată (desenată cu linie continuă) este mai mare decit eroarea generată de prima interpolare (cu nucleul Lagrange de ordin 3) dar mult mai mică

decit eroarea care ar fi rezultat prin interpolarea semnalului esantionat cu  $T_{s1}$  direct cu nucleul de ordinul zero (ZOH).

In tabelul 4.8 se prezinta comparativ valorile raportului  $\sigma_e^2(\%) / \sigma_f^2$  pentru cazul A=1 pentru nucleele Lagrange de ordinul 3, Spline de ordinul 3 si Cubic continual pe intervalul  $[T_{s2}/2, T_{s2}]$  (pe intervalul  $[0, T_{s2}/2]$  ramane valosile prezentate in tabelul 4.7), cind cint urmatoare de o interpolare de ordinul zero. In prima fază de interpolare s-a dublat numărul de esantioane ( $T_{s2}=T_{s1}/2$ ).

TABELUL 4.8.

Cazul  $S_1$

$\xi/T_{s2}$	Lagrange 3	Spline 3	Cubic continual
0,5	0,25156	0,23480	0,23927
0,6	0,21736	0,19226	0,20090
0,7	0,19038	0,15867	0,17062
0,8	0,17089	0,13441	0,14874
0,9	0,15911	0,11975	0,13552
1	0,15517	0,11484	0,13310

In figura 4.14 se prezinta grafic comparativ valorile din tabelul 4.8 pentru cele trei nuclee considerate.

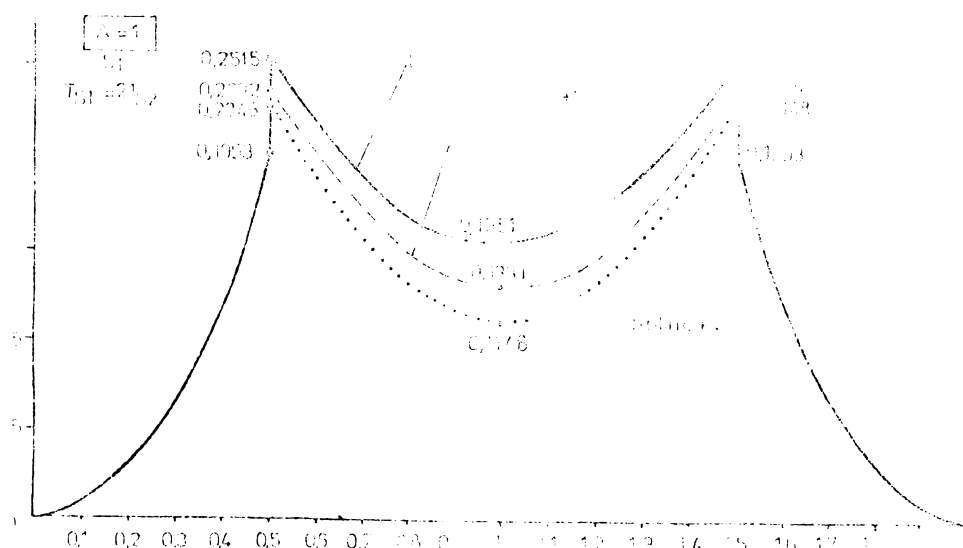
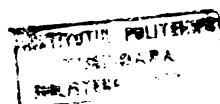


Fig.4.14.



Din figura 4.14 se constată că în punctul  $\xi/T_{s2}=1$  eroarea globală egalează valoarea din prima interpolare iar în punctul  $\xi/T_{s2}=0,5$  eroarea globală depășește valoarea de 0,1993 pe care o dă nucleul ZOH pentru  $A=2$ . Nucleul Spline este cel mai convenabil, fiind urmat de nucleul Cubic continual. Utilizând relațiile (4.14) și respectiv (4.15) pentru cazul  $A=2$  se obține tabelul 4.9 de valori pentru  $\frac{\sigma_e^2(\xi)}{\sigma_f^2}$  (în cazul Lagrange 3 + ZOH).

TABELUL 4.9.

Cazul  $S_1$

$A$	$\xi/T_{s2}$	$\frac{\sigma_e^2(\xi)}{\sigma_f^2}$ cu rel. (4.14.)	$A$	$\xi/T_{s2}$	$\frac{\sigma_e^2(\xi)}{\sigma_f^2}$ cu rel. (4.15)
2	0	0	2	1	0,00161
	0,1	0,00205		0,9	0,00356
	0,2	0,00821		0,8	0,00940
	0,3	0,01845		0,7	0,01911
	0,4	0,03273		0,6	0,03265
	0,5	0,05100		0,5	0,04997

Variatia raportului  $\frac{\sigma_e^2(\xi)}{\sigma_f^2}$  pentru  $\xi \in [0, T_{s1}]$  și  $A=2$  este prezentată în figura 4.15.

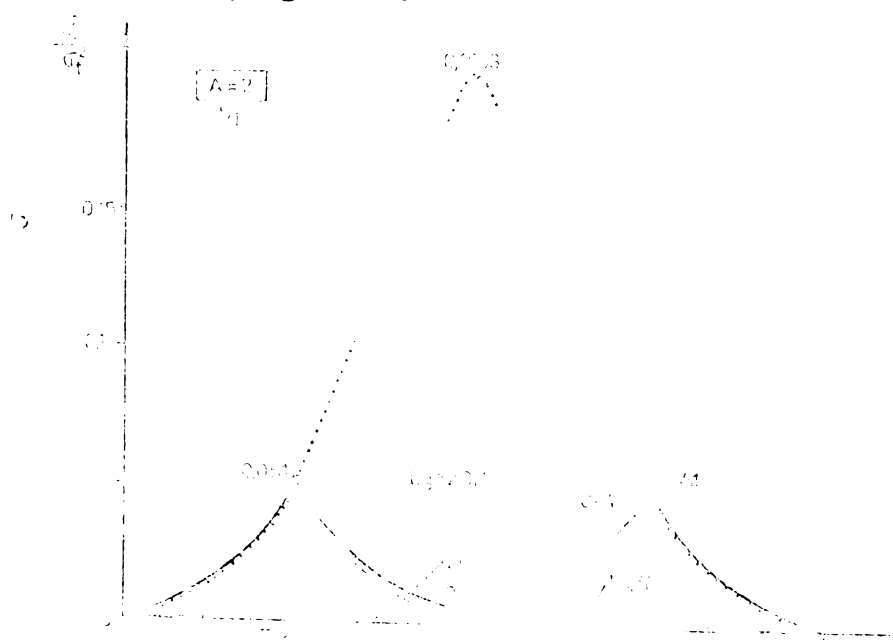


Fig. 4.15.

In tabelul 4.10 se prezintă comparativ valorile raportului  $\sigma_e^2(\xi)/\sigma_f^2$  în cazul  $A=2$  pentru aceleasi nuclee ( $L_3$ ,  $S_3$ , CC) și în aceleasi conditii ca și în cazul prezentat în tabelul 4.8 și fig.4.14.

TABELUL 4.10.

$\xi / T_s$	Lagrange $\xi$	Spline $\xi$	Cubic continuu	Cazul $S_1$
0,5	0,049973	0,058333	0,051905	
0,6	0,032650	0,038707	0,033430	
0,7	0,019110	0,023373	0,018990	
0,8	0,009404	0,012369	0,008638	
0,9	0,003566	0,005753	0,002411	
1	0,001618	0,003545	0,000333	

In figura 4.16 se prezintă valorile  $\sigma_e^2(\xi)/\sigma_f^2$  pentru cele trei nuclee pe intervalul  $[0, T_{s1}]$ .

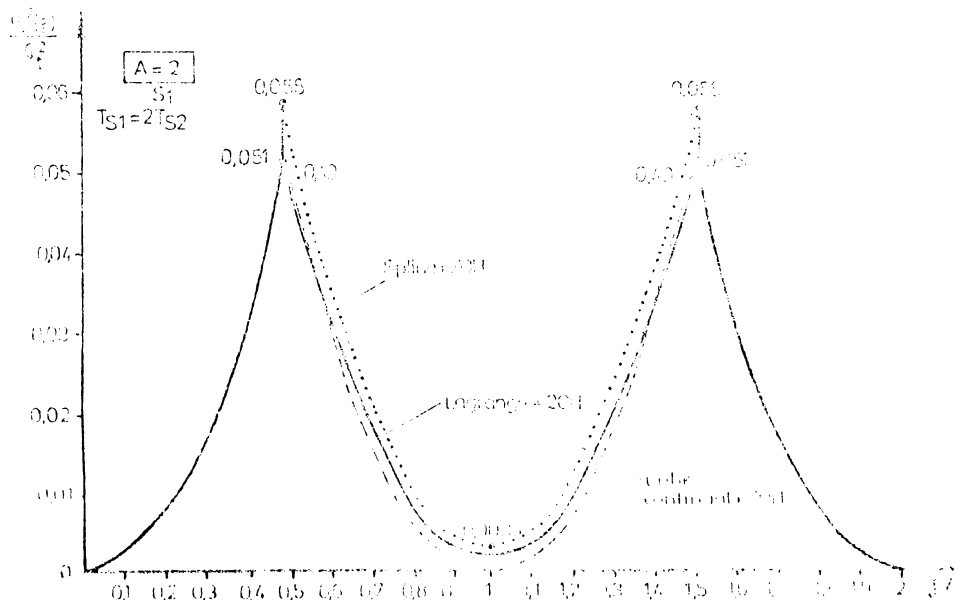


Fig.4.16.

Din figura 4.15 se observă că și în acest caz eroarea rezultată (desenată cu linie continuă) este mai mare decât cea generată de prima interpolare dar mult mai mică decât eroarea care ar fi rezultat prin interpolarea directă cu nucleul de ordin zero.

În plus, se constată că eroarea este foarte apropiată de cea care s-ar fi obținut prin interpolarea de ordin zero a semnalului original eșantionat însă cu o frecvență dublă.

Din figura 4.16 se constată că valoarea maximă a raportului  $\sigma_e^2(\xi)/\sigma_f^2$  apare tot în punctul  $T_{s2}/2$  și are valoarea cea mai mare (0,058) pentru nucleul Spline. Nucleele Lagrange și Cubic continuă dă valori foarte apropiate. Curba corespunzătoare acestor nucleu se intersectează.

În cazul în care, în prima fază de interpolare (cu nucleu Lagrange de ordinul 3), se mărește de 4 ori numărul de eșantioane (deci  $T_{s1}/T_{s2}=4$ ) variația erorii este prezentată în figura 4.17 (s-a calculat pentru  $A=1$ ).

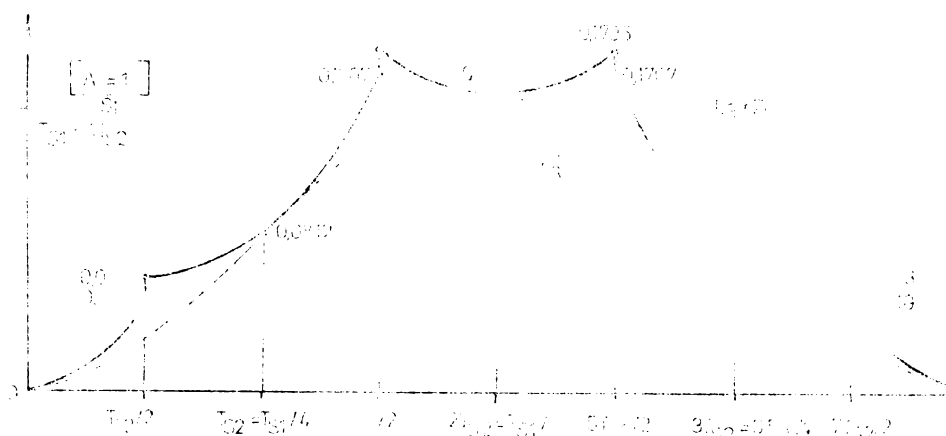


Fig.4.17.

Se constată că față de cazul prezentat în figura 4.13 valoarea maximă a raportului  $\sigma_e^2(\xi)/\sigma_f^2$  s-a redus de la 0,2515 la 0,1797.

Se observă că în punctele 0 și  $T_{s1}$  eroarea este nulă iar în punctele  $T_{s2}$ ,  $2T_{s2}$  și  $3T_{s2}$  coincide cu eroarea generată de prima interpolare. Pentru a se justifica diferențele care apar între figurile 4.13 și 4.17 (prin creșterea raportului  $T_{s1}/T_{s2}$ ) se poate utiliza relația (3.31).

În cazul în care interpolarea din fază a două se efectuează cu un CNA (ZOH) eroarea totală devine:  $e_T(\xi)=e_{2dir}(\xi)+e_1(T_{s2})$  (pentru  $\xi \in [T_{s2}/2, T_{s2}]$ ) iar eroarea medie pătratică rezultă:

$$E\{\epsilon_T^2(\xi)\} = E\{\epsilon_{2dir}^2(\xi)\} + 2E\{\epsilon_{2dir}(\xi)\epsilon_1(T_{s2})\} + E\{\epsilon_1^2(T_{s2})\}$$

Se observă că pentru  $\xi=T_{s2}$ ,  $\epsilon_{2dir}(T_{s2})=0$  și eroarea totală devine  $E\{\epsilon_T^2(T_{s2})\}=E\{\epsilon_1^2(T_{s2})\}$  deci tocmai valoarea erorii date de prima interpolare.

Pentru  $\xi \neq T_{s2}$  eroarea totală este evident mai mare decât eroarea dată de prima interpolare în punctul  $T_{s2}$ .

Dacă în fază de interpolare numerică se calculează un număr mare de eşantioane, deci  $n=T_{sl}/T_{s2}$  crește, eroarea dată de a doua interpolare scade. Trecind la limită se obține:

$$\lim_{n \rightarrow \infty} E\{\epsilon_T^2(\xi)\} = E\{\epsilon_1^2(T_{s2})\} \quad (\text{deoarece } E\{\epsilon_{2dir}^2(\xi)\} \rightarrow 0)$$

deci eroarea totală tinde spre eroarea dată de prima fază de interpolare.

In concluzie se poate aprecia că eroarea finală este cu atît mai mică cu cît se calculează mai multe eşantioane în prima fază de interpolare (interpolarea numerică).

Valoarea minimă spre care tinde eroarea totală este eroarea dată de nucleul utilizat în prima interpolare.

Utilizarea în prima fază a unui nucleu ce realizează erori mici asigură erori mici și pentru sistemul complet.

Pentru cazul  $T_{sl}/T_{s2}=4$  prezintă interes efectul pe care îl are asupra erorii modificarea parametrului A.

In tabelul 4.11 se prezintă valorile raportului  $\sigma_e^2(\xi)/\sigma_f^2$  pentru nucleele Lagrange de ordinul 3, Spline de ordinul 3 și Cubic continual cînd sunt următe de un element de menținere de ordinul zero (CNA) în situația în care în fază de interpolare numerică se mărește de 4 ori numărul de eşantioane ( $T_{s2}=T_{sl}/4$ ), pe intervalul  $[0, 2T_{s2}]$  pentru  $A=1$  și  $A=2$ .

Valorile raportului  $\sigma_e^2(\xi)/\sigma_f^2$  pentru cazurile din tabelul 4.11 sunt reprezentate grafic în figurile 4.18 și 4.19.

Din tabelul nr.4.11 și figura 4.18 se constată că pentru cazul  $A=1$  combinația Spline - ZOH este cea mai avantajoasă, fiind urmată de Cubic continual - ZOH.

Din figura 4.19 se constată că pentru  $A=2$  combinația Spline - ZOH a devenit cea mai defavorabilă.

Se observă că nucleele Lagrange și Cubic continual au o comportare foarte apropiată cu un ușor avantaj pentru cel de-al doilea nucleu.

TABELUL 4.11.

$\xi/T_{s2}$	$\sigma_e^2(\xi)/\sigma_f^2$		
	Lagrange (ord.3)	Splines (ord.3)	A=1
0	0	0	0
0,25	0,012826	0,012826	0,012826
0,5	0,051009	0,051009	0,051009
0,5	0,060365	0,048298	0,040075
0,75	0,061876	0,043044	0,043223
1	0,081253	0,058743	0,066633
1,25	0,117868	0,094737	0,109522
1,5	0,170746	0,149945	0,170701
1,5	0,179684	0,145361	0,158616
1,75	0,161331	0,122508	0,138013
2	0,155178	0,114847	0,131106
$\sigma_e^2(\xi)/\sigma_f^2$			
A=2			
0	0	0	0
0,25	0,00321121	0,00321121	0,00321121
0,5	0,01282629	0,01282629	0,01282629
0,5	0,01169909	0,02877724	0,01656981
0,75	0,00319036	0,01303403	0,00530094
1	0,00085731	0,00392922	0,00047022
1,25	0,00471194	0,00151099	0,00210182
1,5	0,01473096	0,00578880	0,01018268
1,5	0,01377605	0,01732262	0,01330095
1,75	0,00466190	0,00699514	0,00358013
2	0,00161807	0,00354599	0,00033364

Eroarea în cazul A=2 pentru nucleele Lagrange și Cubic continuu este foarte apropiată de eroarea care ar rezulta prin interpolarea directă a semnalului original cu un CNA însă pentru o perioadă de eșantionare de 4 ori mai mare decât cea inițială.

Se poate trage concluzia că, pentru situația în care A=2 alegerea corespunzătoare a nucleului din fază de interpolare numerică permite ca eroarea totală să fie cea pe care o introduce

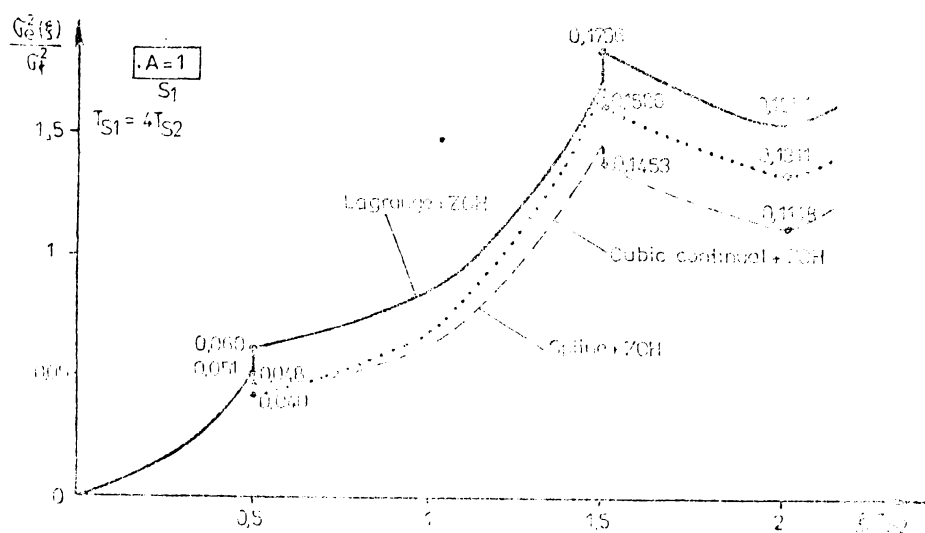


Fig.4.18.

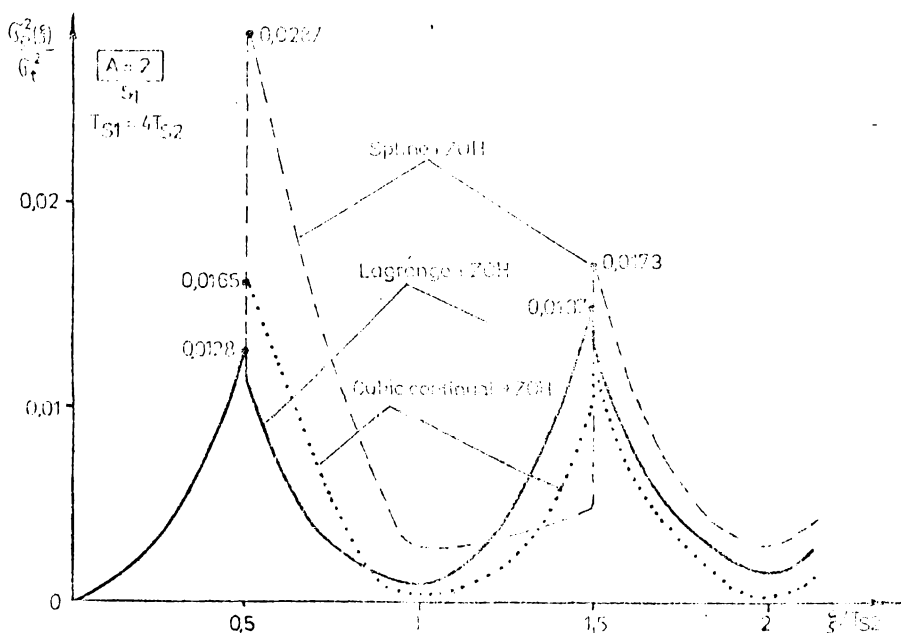


Fig.4.19.

dor faza a două de interpolare (CNA) și corespunzănd unei frecvențe de eșantionare virtuală de  $N$  ori mai mare decât cea inițială.

4.11. Compararea sistemelor de interpolare în două faze consecutive care utilizează în ambele faze nuclee polinomiale de ordin superior

Implementarea sistemelor de interpolare numerică este mult mai avantajoasă dacă se realizează în două sau mai multe faze consecutive. Pentru a putea aprecia eroarea introdusă în situația aceasta, în continuare se tratează cazul interpolării în două faze presupunând că semnalul original prezintă o densitate spectrală de putere constantă ( $S_1$ ).

In tabelul 4.12 se prezintă valorile raportului  $\sigma_e^2(\xi)/\sigma_f^2$  pentru  $A=1$  considerind că interpolarea se face în două faze consecutive utilizând nuclee polinomiale de ordinul 3 (Lagrange-Lagrange, Spline-Spline și Cubic continual-Cubic continual).

TABELUL 4.12.

$\xi/T_{S2}$	$\sigma_e^2(\xi)/\sigma_f^2 \quad . . . \text{Cazul } S_1$		
	Lagrange-Lagrange	Spline-Spline	Cubic cont.-Cubic cont.
0	0	0	0
0,1	0,003828	0,003608	0,003084
0,2	0,014857	0,012210	0,011834
0,3	0,031914	0,024311	0,025483
0,4	0,053291	0,039474	0,043004
0,5	0,076916	0,057070	0,062960
0,6	0,100544	0,075668	0,083503
0,7	0,121963	0,092901	0,102518
0,8	0,139184	0,106077	0,117873
0,9	0,150612	0,113241	0,127758
1	0,155178	0,114847	0,131106

Calculul valorilor din tabelul de mai sus a fost efectuat cu ajutorul relației (4.8) considerind că prima fază de interpolare dubleză numărul de eșantioane inițial (deci  $T_{S2}=T_{S1}/2$ ).

In figura 4.20 se reprezintă grafic curbele pentru cele trei cazuri din tabelul 4.12 pe intervalul  $[0, T_{S1}]$ .

Comparind datele din tabelele 4.2 și 4.12 și figurile 4.5 și 4.20 se constată că ierarhia sistemelor de interpolare a rămas aceeași. În plus se poate observa că valoarea raportului  $\sigma_e^2(\xi)/\sigma_f^2$  a rămas aceeași la mijlocul intervalului iar în rest,

pentru cazul interpolării în două faze, se obțin valori sensibil mai mici decât în cazul interpolării într-o singură fază.

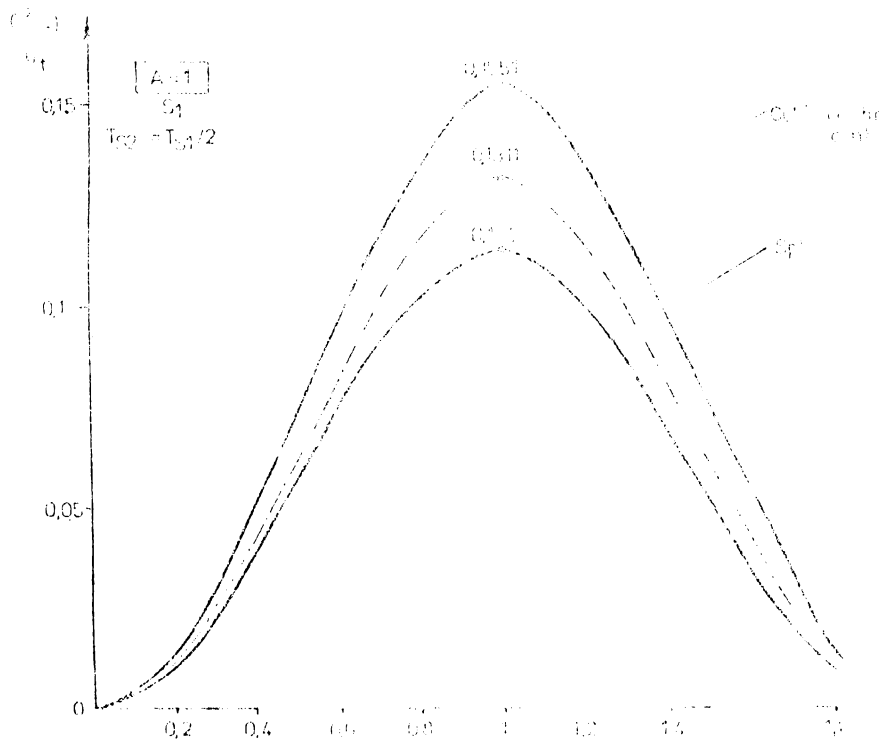


Fig.4.20.

În tabelul 4.13 se prezintă valorile raportului  $\sigma_g^2(\xi)/\sigma_f^2$  pentru aceleasi sisteme de interpolare ca si in tabelul 4.12 dar calculate pentru cazul  $A=2$ .

TABELUL 4.13.

$A=2$ $\xi/T_{s2}$	$\sigma_g^2(\xi)/\sigma_f^2$			Cazul $S_1$
	Lagrange-Lagrange	Spline-Spline	Cubic cont.-Cub. cont.	
0	0	0	0	0
0,1	0,0000246	0,0022660	0,0004767	
0,2	0,0000986	0,0051720	0,0004688	
0,3	0,0002208	0,0062971	0,0011898	
0,4	0,0003872	0,0059084	0,0009888	
0,5	0,0005895	0,0051529	0,0007224	
0,6	0,0008158	0,0048869	0,0005979	
0,7	0,0010503	0,0051402	0,0006295	
0,8	0,0012750	0,0052197	0,0006581	
0,9	0,0014705	0,0044491	0,0005162	
1	0,0016180	0,0035459	0,0003336	

Valorile raportului  $\sigma_e^2(\xi)/\sigma_f^2$  din tabelul de mai sus sint reprezentate grafic in figura 4.21.

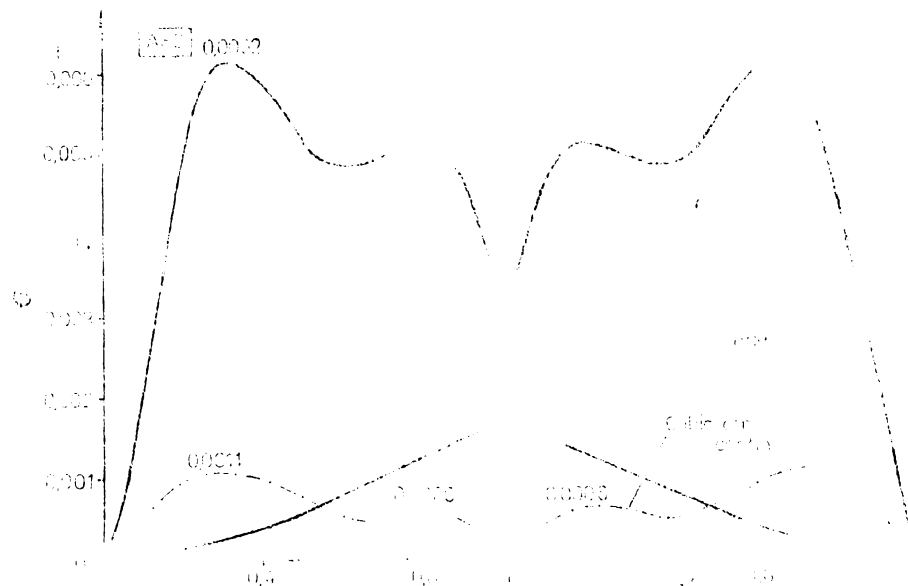


Fig.4.21.

Comparind valorile din tabelele 4.2 si 4.13 si respectiv figurile 4.6 si 4.21 se constata ca la interpolarea in două faze au intervenit modificări defavorabile pentru nucleele Spline si Cubic continual in sensul cresterii valorilor maxime fară de cauză interpolării într-o singură fază precum și în privința formei de variație a raportului  $\sigma_e^2(\xi)/\sigma_f^2$  pe intervalul  $[0, T_{sl}]$ . Se poate aprecia totuși că în cazul interpolării în două faze consecutive nucleul Cubic continual reprezintă ceea mai bună soluție în eventualitatea în care funcția originală își modifică limita superioară a spectrului în intervalul  $[\omega_s/4, \omega_s/2]$ .

Dacă se ține seama de faptul că implementarea unor sisteme de interpolare de ordin superior se realizează numai în fază discretă de prelucrare a semnalului trebuie comparată eroarea dar în punctele de "eșantionare" ale semnalului interpolat.

Considerind că se urmărește o creștere de 4 ori a frecvenței de eșantionare (a numărului de eșanțioane) este importantă doar valoarea erorii în punctele  $0,25 T_{sl}$ ;  $0,5 T_{sl}$  și  $0,75 T_{sl}$ .

In tabelul 4.14 se prezintă valorile raportului  $\sigma_e^2(\xi)/\sigma_f^2$  în aceste puncte pentru sistemele de interpolare într-o

singură fază sau în două faze prezentate anterior.

TABELUL 4.14.

A=1	$\sigma_e^2(\xi)/\sigma_f^2$	Cazul S <sub>1</sub>
Nucleul	$\xi=0,25T_{s1}$	$\xi=0,5T_{s1}$
Spline-Spline	0,057078	0,114847
Lagrange-Lagrange	0,076916	0,155178
Cubic continual-Cubic continual	0,062960	0,131106
A=2		
Spline-Spline	0,0051529	0,0035459
Lagrange-Lagrange	0,0005895	0,0016180
Cubic continual-Cubic continual	0,0007224	0,0003336

Analizînd datele din tabel se constată că, dacă pentru A=1, nucleul Cubic continual dă erori cu puțin mai mari decît nucleul Spline, în cazul A=2, nucleul Cubic continual este cel mai bun.

Interpolarea în două faze consecutive cu nucleș polinomială poate fi implementată și folosind nucleș diferite pentru fiecare fază. Tinînd seama de faptul că nucleul din fază a două de interpolare numerică intervine pentru o frecvență de eșantionare diferită (mai mare) de cea la care intervine nucleul din prima fază, se poate face o alegere corespunzătoare a celor două nucleș pentru a se asigura erori minime în ambele faze.

Alegînd pentru cazul A=1 în prima fază nucleul Spline de ordinul 3 și pentru fază a două nucleul Cubic continual, respectiv pentru cazul A=2 în prima fază nucleul Cubic continual și pentru fază a două nucleul Lagrange de ordinul 3 se obțin pentru raportul  $\sigma_e^2(\xi)/\sigma_f^2$  valorile din tabelul 4.15 (s-a considerat că prima fază de interpolare dublează numărul de eșantioane deci  $T_{s2}=T_{s1}/2$ ).

TABELUL 4.15.

$\xi/T_{s2}$	$\sigma_e^2(\xi)/\sigma_f^2$		Cazul S <sub>1</sub>
	A=1 Spline-Cubic continual	A=2 Cubic cont.-Lagrange	
0	0	0	0
0,1	0,00305280	0,000023709	
0,2	0,01138597	0,000074082	

0,3	0,02394464	0,000132411
0,4	0,03964289	0,000184633
0,5	0,05716344	0,000226720
0,6	0,07491254	0,000258393
0,7	0,09111080	0,000281964
0,8	0,10400035	0,000300675
0,9	0,11215070	0,000317392
1	0,11484727	0,000333650

Dacă se compară valorile din tabelul 4.15 cu cele din tabelele 4.2 și 4.12 respectiv 4.13, pentru A=1 îmbunătățirea nu este semnificativă, în schimb pentru A=2 combinația Cubic continuál-Lagrange este net cea mai favorabilă asigurând cele mai mici erori.

## CAPITOLUL 5.

### CRESTEREA PRECIZIEI SISTEMELOR DE INTERPOLARE PRIN MINIMIZAREA ERORII MEDII PATRATICE. CAZUL OPTIMAL

#### 5.1. Introducere

Sistemele practice de interpolare, menite să asigure o bună calitate semnalului reconstruit, conține întotdeauna o fază de interpolare numerică, de ordin superior, urmată de o fază de interpolare analogică realizată cu CNA (ZOH).

Dintre aceste două faze, prima este susceptibilă de optimizări. Una din posibilitățile de optimizare e constituie minimizarea erorii medii pătratice.

#### 5.2. Nucleul optimal de interpolare

Pentru deducerea expresiei nucleului optimal se pornește de la expresia erorii momentane date de relația (3.6) /85/, punind condiția ca eroarea momentană să fie ortogonală cu valorile cunoscute (esantioane) ale semnalului original:

$$E\{e_n(\xi) \cdot f[(n+l)T_s]\} = 0 \quad (5.1)$$

unde  $l \in [-m_1, m_2]$  și  $m_1 + m_2 + 1 = N$ .

Se obține următorul set de condiții:

$$E\{f(nT_s + \xi) \cdot f[(n+l)T_s]\} - \sum_{k=-m_1}^{m_2} h_k(\xi) \cdot E\{f[(n+k)T_s] \cdot f[(n+l)T_s]\} = 0 \quad (5.2)$$

Tinem seama de considerațiile făcute în capitolul 3 cu privire la funcția de autocorelație a semnalului original  $R_{ff}$  rezultă:

$$R_{ff}(l T_s - \xi) - \sum_{k=-m_1}^{m_2} h_k(\xi) \cdot R_{ff}[(l-k)T_s] = 0 \quad (5.3)$$

$$\sum_{k=-m_1}^{m_2} h_k(\xi) R_{ff}[(\ell-k)T_s] = R_{ff}(\ell T_s - \xi) \quad (5.4)$$

Impărțind cu  $R_{ff}(0)$  se obține un sistem de  $N$  ecuații în care necunoscutele sunt expresiile nucleelor  $h_{kopt}(\xi)$  ale interpolării optimale pentru intervalul  $\xi \in [0, T_s]$ :

$$\sum_{k=-m_1}^{m_2} h_{kopt}(\xi) \frac{R_{ff}[(\ell-k)T_s]}{R_{ff}(0)} = \frac{R_{ff}(\ell T_s - \xi)}{R_{ff}(0)} \quad (5.5)$$

unde  $\ell \in [-m_1, m_2]$  și  $m_1 + m_2 + 1 = N$ ,  $N$  fiind numărul de eșantioane consecutive utilizate simultan.

Inlocuind relațiile (5.4) și respectiv (5.5) în relațiile (3.11) și respectiv (3.13) se obține expresia erorii medii pătratice minime și respectiv expresia raportului  $\sigma_e^2(\xi)/\sigma_f^2$  în cazul optimal:

$$E\{e_{nopt}^2(\xi)\} = R_{ff}(0) - \sum_{k=-m_1}^{m_2} h_{kopt}(\xi) \cdot \frac{R_{ff}(\ell T_s - \xi)}{R_{ff}(0)} \quad (5.7)$$

Dacă se presupune că semnalul original are densitatea spectrală de putere constantă în banda  $[-\omega_c, \omega_c]$  și nulă în rest, setul de condiții (5.5) devine (cazul  $S_1$ ):

$$\sum_{k=-m_1}^{m_2} h_{kopt}(\xi) \cdot \sin c \frac{\ell-k}{A} = \sin c \frac{\ell T_s - \xi}{AT_s} \quad (5.8)$$

În aceste condiții valoarea raportului  $\sigma_e^2(\xi)/\sigma_f^2$  se va putea calcula cu relația:

$$\frac{\sigma_e^2(\xi)_{opt}}{\sigma_f^2} = 1 - \sum_{k=-m_1}^{m_2} h_{kopt}(\xi) \sin c \frac{\ell-k T_s}{AT_s} \quad (5.9)$$

Dacă presupunem că semnalul original are densitatea spectrală de putere uniform descrescătoare în banda  $(-\omega_c, \omega_c)$  și nulă în rest, în mod analog, se obțin relațiile (cazul  $S_2$ ):

$$\sum_{k=-m_1}^{m_2} h_{kopt}(\xi) \cdot \sin c^2 \frac{\ell-k}{2A} = \sin c^2 \frac{\ell T_s - \xi}{2AT_s} \quad (5.10)$$

și respectiv:

$$\frac{\sigma_e^2(\xi)_{opt}}{\sigma_f^2} = 1 - \sum_{k=-m_1}^{m_2} h_{kopt}(\xi) \sin c^2 \frac{\ell-k T_s}{2AT_s} \quad (5.11)$$

### 5.3. Studiul cazului optimal pentru N=2

Pentru a pune în evidență avantajele și dezavantajele nucleelor optimale, în continuare se analizează nucleul optimal pentru cazul în care interpolarea utilizează două eșanțioane consecutive ( $N=2$ ).

Pentru început se va lua în considerare cazul în care semnalul original are densitatea spectrală de putere constantă în bandă.

Pentru determinarea expresiei nucleului optimal, în această situație, este necesară rezolvarea sistemului de condiții dat de relațiile (5.8).

Este de așteptat ca expresia analitică a nucleului optimal să fie mai complexă în comparație cu nucleele polinomiale (cu nucleul interpolării liniare pentru  $N=2$ ) dar acest dezavantaj va fi compensat prin calitatea mai ridicată a semnalului reconstituit.

Calculul coeficienților sistemului de interpolare numerică, pe baza nucleului optimal poate fi însă efectuat cu ajutorul unui calculator. În acest caz cei doi indici care intervin în relațiile (5.8) pot lua doar două valori. Rezultă următorul sistem de două ecuații:

$$\begin{cases} h_0 \text{ opt}(\xi) + h_1 \text{ opt}(\xi) \sin c \frac{1}{A} = \sin c \frac{\xi}{AT_s} & \text{pt. } \xi=0 \\ h_0 \text{ opt}(\xi) \sin c \frac{1}{A} + h_1 \text{ opt}(\xi) = \sin c \frac{T_s - \xi}{AT_s} & \text{pt. } \xi=1 \end{cases} \quad (5.12)$$

Soluțiile acestui sistem sint:

$$h_0 \text{ opt}(\xi) = \frac{\sin c \frac{\xi}{AT_s} - \sin c \frac{T_s - \xi}{AT_s} \cdot \sin c \frac{1}{A}}{1 - \sin c^2 \frac{1}{A}} \quad \text{pt. } \xi \in [0, T_s] \quad (5.13)$$

$$h_1 \text{ ppt}(\xi) = \frac{\sin c \frac{T_s - \xi}{AT_s} - \sin c \frac{\xi}{AT_s} \cdot \sin c \frac{1}{A}}{1 - \sin c^2 \frac{1}{A}} \quad \text{pt. } \xi \in [0, T_s] \quad (5.14)$$

Se observă că relația (5.14) se obține din relația (5.13) făcind substituția  $\xi \rightarrow T_s - \xi$ , adică  $h_1 \text{ opt}(\xi) = h_0 \text{ opt}(T_s - \xi)$  și deci nucleul de interpolare optimală rezultat este o funcție pară ceea ce corespunde condițiilor de construcție a nucleelor de interpolare în general.

De asemenea se constată că:

$$\begin{aligned} h_0 \text{ opt}(0) &= 1 & h_0 \text{ opt}(T_s) &= 0 \\ h_1 \text{ opt}(0) &= 0 & h_1 \text{ opt}(T_s) &= 1 \end{aligned} \quad (5.15)$$

deci  $h_0 \text{ opt}(0) + h_1 \text{ opt}(0) = h_0 \text{ opt}(T_s) + h_1 \text{ opt}(T_s) = 1$  ceea ce iată și corespunde condițiilor generale pentru nucleele de interpolare.

In restul intervalului  $[0, T_s]$  se constată însă că suma nucleelor este diferită de 1:

$$h_0 \text{ opt}(\xi) + h_1 \text{ opt}(\xi) = \frac{\sin c \frac{\xi}{AT_s} + \sin c \frac{T_s - \xi}{AT_s}}{1 + \sin c \frac{\pi}{AT_s}} \quad (5.16)$$

Relația (5.16) se apropie de valoarea 1 cu creșterea parametrului A și

$$\lim_{A \rightarrow \infty} [h_0 \text{ opt}(\xi) + h_1 \text{ opt}(\xi)] = 1 \quad (5.17)$$

ceea ce arată că nucleul optimal nu interpolează perfect un semnal cu prima derivată nulă decât cind  $A \rightarrow \infty$ . Aceast lucru se dătoarează faptului că nucleul optimal își schimbă formă în funcție de A. In tabelul 5.1 se prezintă valoarea nucleului optimal corespunzător cazului N=2 în punctul  $\xi = T_s/2$  pentru diferite valori ale parametrului A :

TABELUL 5.1.

A	$h_{\text{opt}}(T_s/2)$
1	0,6366
2	0,5501
3	0,5226
4	0,5128
10	0,5020

Utilizând relațiile (5.9) și respectiv (5.11) pentru nucleul optimal în situația în care  $S_{ff}(\omega) = \text{constant}$  și respectiv  $S_{ff}(\omega) = \text{uniform descrescător}$  se obțin valorile din tabelul 5.2.

Analizând datele din tabel, se constată că, și în cazul nucleului optimal, erorile care rezultă în situația în care semnalul original prezintă densitatea spectrală de putere uniform descrescătoare în banda  $(-\omega_c, \omega_c)$  sunt mai mici decât în cazul în care aceasta este constantă. In figura 5.1 se prezintă comparativ cazul A=1 pentru  $S_{ff} = \text{ct.}$  și  $S_{ff} = \text{unif. descr.}$

TABELUL 5.2.

A	$\xi/T_s$	$\frac{\sigma_e^2(\xi)}{\sigma_f^2}$			
		$S_{ff}(\omega) = \text{ct.}$	$S_1$	$S_{ff}(\omega) = \text{unif. descr.}$	$S_2$
1	0	0,020523	0	0,007448	0
	0,1		0,070163		0,024830
	0,2		0,127822		0,044435
	0,3		0,172641		0,059380
	0,4		0,189430		0,064925
	0,5				
2	0	0,001171	0	0,000480	0
	0,1		0,003776		0,001540
	0,2		0,006599		0,002680
	0,3		0,008692		0,003581
	0,4		0,009459		0,003828
	0,5				

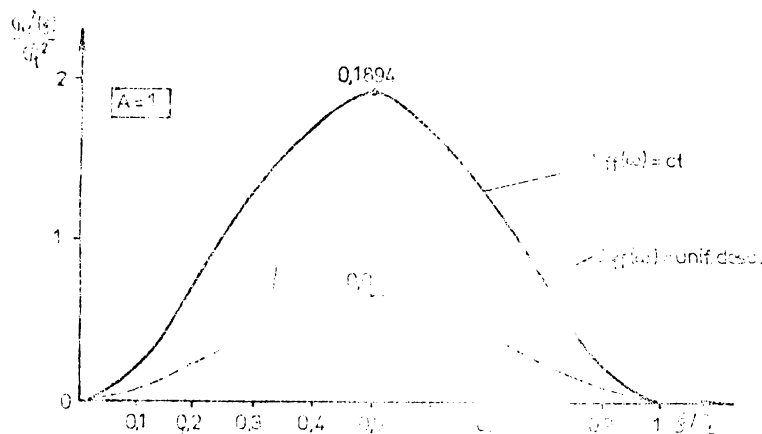


Fig.5.1.

Un alt aspect de interes îl prezintă compararea performanțelor nucleului optimal cu performanțele nucleului interpolării liniare (interpolarea de ordinul 1).

In acest scop se calculează raportul  $\frac{\sigma_e^2(\xi)_{\text{opt}}}{\sigma_f^2}$  cu relația (5.9) (pentru cazul  $S_{ff}(\omega) = \text{ct.}$ ), în care se utilizează pentru  $h_k^{\text{opt}}$  relațiile (5.13) și (5.14), și raportul  $\frac{\sigma_e^2(\xi)}{\sigma_f^2}$  pentru interpolarea liniară folosind relația (4.7) și expresia analitică a nucleului de ordinul 1 (ZOH). S-au obținut în urma calculelor valorile prezentate în tabelul 5.3.

TABELUL 5.3.

A	$\xi/T_s$	$\frac{\sigma^2(\xi)}{\sigma^2 f}$ optimal $S_1$	$\frac{\sigma^2(\xi)}{\sigma^2 f}$ FOH $S_1$
1	0,125	0,03097	0,04107
	0,25	0,09936	0,12447
	0,5	0,18943	0,22676
2	0,125	0,000173	0,00333
	0,25	0,00522	0,00988
	0,5	0,00945	0,01767
3	0,5	0,00175	0,00363
4	0,5	0,00054	0,00116

Se constată că într-adevăr nucleul optimă asigură erori mai mici decât nucleul de ordinul întâi și în plus se observă o convergență mai rapidă a erorii către zero la creșterea lui A.

Principalul dezavantaj al nucleului optimă constă în faptul că expresia lui depinde de parametrul A astfel încât un nucleu optimă determinat pentru o valoare a parametrului A nu mai este optimă la o altă valoare a lui A.

În plus expresia nucleului optimă este mai complexă decât a nucleelor polinomiale și depinde și de funcția de autocorelație a semnalului original.

Pentru a se evidenția diferența dintre nucleele optimale determinate pentru cazurile  $S_{ff}(\omega)=ct.$  și  $S_{ff}(\omega)=\text{unif.descr.}$ , în tabelul 5.4 se prezintă valorile celor două nucle calculate în cazul A=1.

TABELUL 5.4.

$\xi/T_s$	$h_{opt}(\xi)$ pt. $S_{ff}(\omega)=ct.$ $S_1$	$h_{opt}(\xi)$ pt. $S_{ff}(\omega)=\text{unif. descr.}$ $S_2$
0	1	1
0,1	0,983631	0,950027
0,2	0,935489	0,879921
0,3	0,858393	0,792120
0,4	0,756826	0,689816
0,5	0,636619	0,576800
0,6	0,504551	0,457267

0,6	0,367883	0,335603
0,8	0,233872	0,216167
0,9	0,109292	0,103075
1	0	0

In figura 5.2 se reprezintă grafic cele două nuclee de interpolare.

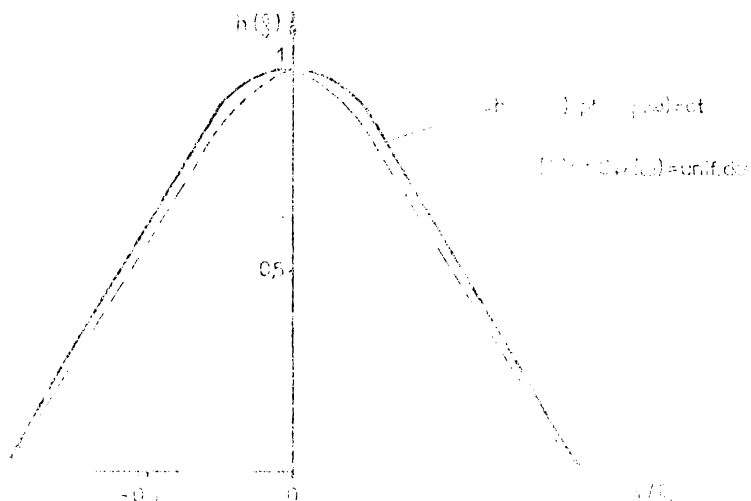


Fig.5.2.

Dependența față de funcția de autocorelație, a semnalului original, în cazul nucleelor optimale, poate fi mai pronunțată decât în cazul nucleelor polinomiale datorită faptului că expresia nucleelor optimale este derivată din  $R_{ff}(\xi)$ .

Acest domeniu poate fi observat dacă se analizează comportarea nucleului optimal din cazul  $S_{ff}(\omega) = \text{ct}$ . În cazul în care semnalul original prezintă  $S_{ff}(\omega)$  uniform descrescător și viceversa.

Valorile raportului  $\sigma_e^2(\xi)/\sigma_f^2$  pentru aceste două situații sunt prezentate în tabelul 5.5.

Comparând valorile din tabelul 5.5 cu cele din tabelul 5.2 se constată că, pentru  $A=1$ , diferența nu este semnificativă ambele nuclee rămânind mai bune decât nucleul interpolării liniare. Pentru  $A=2$  însă nucleul optimal pentru  $S_{ff}(\omega) = \text{ct}$ . folosit la  $S_{ff}(\omega)$  uniform descrescător produce erori cu puțin mai mari decât cele ale nucleului interpolării liniare.

TABEFLUL 5.5.

A	$\xi/T_s$	$\sigma_e^2(\xi)/\sigma_f^2$	
		Optimal pentru $S_2$	Optimal pentru $S_1$
		Cazul $S_1$	Cazul $S_2$
1	0	0	0
	0,1	0,021691	0,008785
	0,2	0,073564	0,029028
	0,3	0,133256	0,051603
	0,4	0,179367	0,068675
	0,5	0,196587	0,074982
2	0	0	0
	0,1	0,001442	0,000776
	0,2	0,004643	0,002492
	0,3	0,008104	0,004348
	0,4	0,016667	0,005705
	0,5	0,011605	0,006203

Pentru a pune în evidență comportarea nucleului optimal calculat la o anumită valoare a parametrului A în situația în care raportul  $\omega_s/2\omega_c = A$  se modifică, s-a calculat cu relația (5.9) (cazul  $S_{ff}(\omega) = \text{ct.}$ ) valoarea raportului  $\sigma_e^2(\xi)/\sigma_f^2$  pentru nucleul optimal la  $A=1$  și pentru nucleul optimal la  $A=2$  în situația în care  $A \in [1,2]$ . Aceste valori împreună cu cele obținute pentru interpolarea liniară sunt prezentate în tabelul 5.6.

TABEFLUL 5.6.

A	$\xi/T_s$	$\sigma_e^2(\xi)/\sigma_f^2$		
		Int.liniară (FOH)	Optimal la A=1	Optimal la A=2
1	0,5	0,226760	0,189430	0,204399
1,1	0,5	0,163015	0,125427	0,139704
1,2	0,5	0,119667	0,086296	0,097102
1,3	0,5	0,089551	0,062462	0,068567
1,4	0,5	0,068196	0,048146	0,049152
1,5	0,5	0,052761	0,039957	0,035758
1,6	0,5	0,041408	0,035280	0,026411
1,7	0,5	0,032920	0,033161	0,019826
1,8	0,5	0,026482	0,032579	0,015156
1,9	0,5	0,021531	0,032968	0,011830
2	0,5	0,017677	0,033957	0,009459

Din tabelul 5.6 se constată că nucleul optimal la  $A=1$  rămâne mai bun decât nucleul interpolării liniare pînă la  $A=1,6$ . Se mai constată că începînd cu  $A=1,9$  eroarea înregistrează o creștere a valorii, fenomen care nu apare la nucleele polinomiale și care se datoră faptului că nucleul optimal nu îndeplinește condiția  $\sum_k h_k(\xi)=1$ .

Nucleul optimal la  $A=2$  asigură eroarea mai mică decât nucleul interpolării liniare pe tot domeniul considerat dar între  $A=1$  și  $A=1,4$  dă erori mai mari decât nucleul optimal la  $A=1$ .

Utilizînd relația (5.11) (în cazul  $S_{ef}(\omega)=$ uniform descrescător) la calculul raportului  $\sigma_e^2(\xi)/\sigma_f^2$ , pentru aceleasi nuclee, s-au obținut valorile din tabelul 5.7.

TABELUL 5.7.

A	$\xi/T_s$	$\sigma_e^2(\xi)/\sigma_f^2$		Cazul $S_2$
		Int. liniară (ZOH)	Optimal la $A=1$	
1	0,5	0,081503	0,064925	0,072614
1,1	0,5	0,057814	0,044258	0,049696
1,2	0,5	0,042015	0,031707	0,034769
1,3	0,5	0,031197	0,024037	0,024816
1,4	0,5	0,023611	0,019363	0,018041
1,5	0,5	0,018177	0,016559	0,013346
1,6	0,5	0,014208	0,014936	0,010040
1,7	0,5	0,011258	0,014069	0,007680
1,8	0,5	0,009031	0,013685	0,005978
1,9	0,5	0,007325	0,013611	0,004738
2	0,5	0,006002	0,013734	0,003982

Rezultatele obținute sunt apropiate de cele din tabelul 5.6. Astfel, nucleul optimal pentru  $A=1$  rămâne mai bun decât nucleul interpolării liniare pînă la  $A=1,5$ .

Nucleul optimal pentru  $A=2$  dă erori mai mici decât nucleul interpolării liniare pe tot intervalul considerat dar între  $A=1$  și  $A=1,3$  dă erori mai mari decât nucleul optimal pentru  $A=1$ .

#### 5.4. Studiul cazului optimal pentru $N=4$

Cazul în care se utilizează patru eşantioane consecutive la interpolare ( $N=4$ ) prezintă din punct de vedere practic o importanță mult mai mare decât cazul  $N=2$  întrucît reprezintă

un compromis optim între complexitatea implementării și precizia semnalului reconstituit.

Este de așteptat ca nucleul optimal în acest caz să asigure erori mult mai mici decât în cazul N=2.

Poate altă parte, acest studiu este util în comparație cu studiul nucleelor polinomiale pentru a se pune în evidență situațiile în care se justifică utilizarea nucleelor optimale în locul celor polinomiale.

Sistemul de ecuații (5.5) care determină expresia nucleului optimal în cazul N=4 devine:

$$\left\{
 \begin{aligned}
 h_{1\text{opt}}(\xi) + h_{0\text{opt}}(\xi) & \frac{R_{ff}(T_S)}{R_{ff}(0)} + h_{1\text{opt}}(\xi) \frac{R_{ff}(2T_S)}{R_{ff}(0)} + h_{2\text{opt}}(\xi). \\
 & \cdot \frac{R_{ff}(3T_S)}{R_{ff}(0)} = \frac{R_{ff}(T_S + \xi)}{R_{ff}(0)} \\
 h_{1\text{opt}}(\xi) & \frac{R_{ff}(T_S)}{R_{ff}(0)} + h_{0\text{opt}}(\xi) + h_{1\text{opt}}(\xi) \frac{R_{ff}(T_S)}{R_{ff}(0)} + h_{2\text{opt}}(\xi). \\
 & \cdot \frac{R_{ff}(2T_S)}{R_{ff}(0)} = \frac{R_{ff}(\xi)}{R_{ff}(0)} \\
 h_{1\text{opt}}(\xi) & \frac{R_{ff}(2T_S)}{R_{ff}(0)} + h_{0\text{opt}}(\xi) \frac{R_{ff}(T_S)}{R_{ff}(0)} + h_{1\text{opt}}(\xi) + h_{2\text{opt}}(\xi). \\
 & \cdot \frac{R_{ff}(T_S)}{R_{ff}(0)} = \frac{R_{ff}(T_S - \xi)}{R_{ff}(0)} \\
 h_{1\text{opt}}(\xi) & \frac{R_{ff}(3T_S)}{R_{ff}(0)} + h_{0\text{opt}}(\xi) \frac{R_{ff}(2T_S)}{R_{ff}(0)} + h_{1\text{opt}}(\xi) \frac{R_{ff}(T_S)}{R_{ff}(0)} + \\
 & + h_{2\text{opt}}(\xi) = \frac{R_{ff}(2T_S - \xi)}{R_{ff}(0)}
 \end{aligned} \tag{5.18}
 \right.$$

Se observă că în cazul N=4 sistemul (5.5) reprezintă un sistem liniar de patru ecuații.

Sistemul (5.18) a fost scris având în vedere intervalul  $[0, T_S]$ .

In tabelul 5.8 se prezintă valorile raportului  $\sigma_e^2(\xi)/\sigma_f^2$  calculat cu relația (5.7) pentru valerile parametrului A=1 și A=2 în cazurile S<sub>1</sub>, S<sub>2</sub> și S<sub>3</sub>, utilizând pentru expresia nucleului optimal  $h_{\text{opt}}(\xi)$  soluția sistemului (5.18) determinată pentru fiecare caz în parte.

TABELUL 5.8.

$\xi/T_s$	$\sigma_e^2(\xi)/\sigma_f^2$		Cazul $S_1$
	Optimal la $A=1$	Optimal la $A=2$	
0	0	0	
0,1	0,009847	0,000017748	
0,2	0,035049	0,000060806	
0,3	0,065635	0,00010770	
0,4	0,090084	0,000149527	
0,5	0,099367	0,000164527	

$\xi/T_s$	$\sigma_e^2(\xi)/\sigma_f^2$		Cazul $S_2$
	Optimal la $A=1$	Optimal la $A=2$	
0	0	0	
0,1	0,002074	0,000005541	
0,2	0,007304	0,000019821	
0,3	0,013574	0,000036331	
0,4	0,018545	0,000049133	
0,5	0,020425	0,000053855	

$\xi/T_s$	$\sigma_e^2(\xi)/\sigma_f^2$		Cazul $S_3$
	Optimal la $A=1$	Optimal la $A=2$	
0	0	0	
0,1	0,016059	0,000018720	
0,2	0,057342	0,000064174	
0,3	0,107623	0,000116993	
0,4	0,147908	0,000158005	
0,5	0,163222	0,000173355	

Comparind valorile din tabelul 5.8 cu valorile corespunzătoare din tabelele (4.2), (4.4) și (4.6) se constată și în acest caz că nucleele optimale asigură erorile minime în comparație cu nucleele polinomiale.

Dacă în cazul  $A=1$  diferența nu este însă prea semnificativă, în cazul  $A=2$  diferența dintre nivelul erorilor nucleelor polinomiale și nivelul produs de nucleul optimal este substanțială.

In figura 5.3 se prezintă grafic variația raportului  $\sigma_e^2(\xi)/\sigma_f^2$  pentru nucleul optimal comparativ cu nucleul Spline de ordinul 3 pentru cazul  $A=1$  iar în figura 5.4 raportul  $\sigma_e^2(\xi)/\sigma_f^2$  pentru nucleul optimal și nucleul cubic continuu pentru

cazul  $A=2$  (Obs. Pentru comparație s-au ales în fiecare caz nuclele polinomiale care au erorile minime). S-a reprezentat grafic doar cazul  $S_1$ .

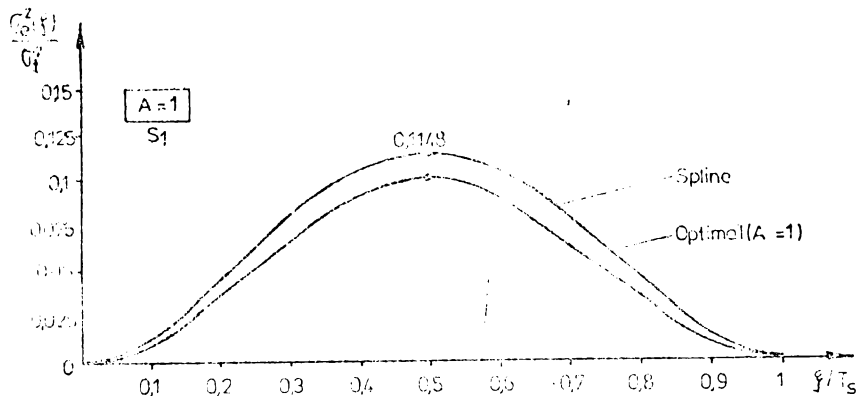


Fig. 5.3

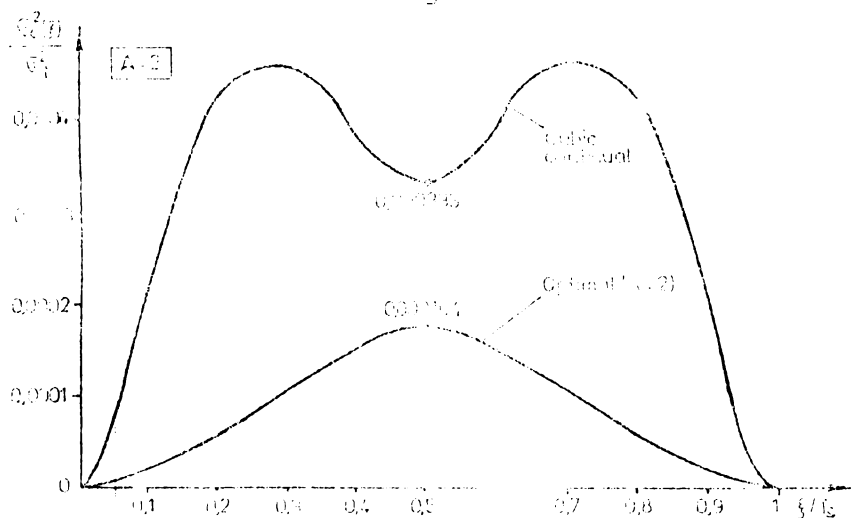


Fig. 5.4.

Din tabelul 5.8 și figurile 5.3 și 5.4 se observă că forma de variație a erorii pe intervalul  $[0, T_s]$  are întotdeauna la nucleele optimale un singur maxim prezent la mijlocul intervalului (pentru  $\xi = T_s/2$ ).

Pentru a pune în evidență și în cazul  $N=4$  dependența față de funcția de autocorelație a performanțelor nucleelor optimale, în tabelul 5.9 se prezintă valorile raportului  $\sigma_e^2(\xi)/\sigma_f^2$  pentru nucleul optimal în cazul  $S_1$  utilizat în cazul  $S_2$  precum și pentru nucleul optimal în cazul  $S_2$  utilizat în cazul  $S_1$ .

TABELUL 5.9.

A	$\xi/T_s$	$\sigma_e^2(\xi)/\sigma_f^2$	
		Optimal pt. $S_2$ în cazul $S_1$	Optimal pt. $S_1$ în cazul $S_2$
1	0	0	0
	0,1	0,010629	0,002718
	0,2	0,037701	0,009536
	0,3	0,070427	0,017676
	0,4	0,096517	0,024111
	0,5	0,106411	0,026542
2	0	0	0
	0,1	0,000030448	0,000011633
	0,2	0,000104155	0,000039755
	0,3	0,000189610	0,000072309
	0,4	0,000255866	0,000097531
	0,5	0,000286648	0,00006960

Comparind valorile din tabelul 5.9 cu valorile din tabelele (4.2) și (4.4) se constată că nucleul optimal pentru cazul  $S_2$  utilizat în cazul  $S_1$  este mai bun decât nucleele polinomiale și pentru  $A=1$  și pentru  $A=2$ .

Nucleul optimal pentru cazul  $S_1$  utilizat în cazul  $S_2$  este mai bun decât nucleele polinomiale pentru  $A=2$  dar produce erori mai mari decât nucleul Spline de ordinul 3 pentru  $A=1$ .

Pentru a analiza comportarea nucleului optimal calculat la o anumită valoare a parametrului A, în situația în care raportul  $\omega_s/2\omega_c=A$  se modifică, s-au calculat valorile raportului  $\sigma_e^2(\xi)/\sigma_f^2$  pentru nucleul optimal la  $A=1$  și pentru nucleul optimal la  $A=2$  în situația în care A se modifică între 1 și 2.

Aceste valori pentru  $\xi=T_s/2$ , în cazul  $S_1$  sunt prezentate în tabelul 5.10.

Analizând aceste valori se constată că între  $A=1$  și  $A=1,3$  nucleul optimal la  $A=1$  este mai bun decât nucleul optimal la  $A=2$ . În rest al doilea nucleu este cel mai bun.

Nucleul optimal la  $A=1$  produce la  $A=2$  erori mai mari decât nucleele polinomiale. Nucleul optimal la  $A=2$  produce la  $A=1$  erori mai mici decât nucleul Lagrange dar mai mari decât nucleul Cubic continuu.

In concluzie se constată că dependența performanțelor nucleelor optimale de parametrul A și de spectrul semnalului

TABELUL 5.10.

A	$\xi/T_s$	$\sigma_e^2(\xi)/\sigma_f^2$		Cazul $S_1$
		Optimal la A=1	Optimal la A=2	
1	0,5	0,099367	0,132990	
1,1	0,5	0,041041	0,068826	
1,2	0,5	0,021158	0,035286	
1,3	0,5	0,016637	0,017968	
1,4	0,5	0,017012	0,009083	
1,5	0,5	0,018156	0,004548	
1,6	0,5	0,018757	0,002251	
1,7	0,5	0,018615	0,001103	
1,8	0,5	0,017896	0,000542	
1,9	0,5	0,016835	0,000279	
2	0,5	0,015629	0,000164	

original este mai pronunțată în cazul N=4 față de cazul N=2.

### 5.5. Studiul interpolării în două faze consecutive, prima fază fiind optimă iar faza a doua fiind un CNA

Decarece faza de interpolare numerică este urmată de fază de interpolare analogică, ce se realizează cu un element de menținere de ordinul zero (CNA), în continuare se analizează comportarea unui sistem în două faze cu prima fază optimă și faza a doua cu un CNA (ZOH).

Utilizând relațiile (4.14) și (4.15) pentru cazul  $S_1$ , cind faza numerică dublează numărul de eşantioane ( $T_{s2}=T_{s1}/2$ ) și respectiv mărește de patru ori numărul de eşantioane inițial ( $T_{s2}=T_{s1}/4$ ) se obțin valorile din tabelul 5.11.

Valorile raportului  $\sigma_e^2(\xi)/\sigma_f^2$  pentru cazurile din tabelul 5.11 sunt prezentate în figurile 5.5 și 5.6 pentru A=1 și respectiv A=2.

Analizând datele din tabelul 5.11 comparativ cu cele din tabelele 4.8, 4.10 și 4.11, se constată că pentru A=1 comportarea sistemului optimal – ZOH este foarte apropiată de cea a sistemelor, nucleu polinomial – ZOH.

Cîstigul pe care îl aduce nucleul optimă este minor. Pentru A=2 însă îmbunătățirea pe care o aduce nucleul optimă în prima fază de interpolare este evidentă.

TABELUL 5.11.

$\zeta/T_{S2}$	$\sigma_s^2(\zeta)/\sigma_s^2$		$S_1$
	$A=1 \quad T_{S2}=T_{S1}/2$	$A=2 \quad T_{S2}=T_{S1}/2$	
0	0	0	0
0,25	0,051009	0,012826	
0,5	0,199367	0,051009	
0,5	0,241200	0,051082	
0,75	0,135467	0,012967	
1	0,099367	0,000164	
$A=1 \quad T_{S2}=T_{S1}/4$		$A=2 \quad T_{S2}=T_{S1}/4$	
0	0	0	0
0,25	0,012826	0,003211	
0,5	0,051009	0,012826	
0,5	0,055627	0,012836	
0,75	0,041937	0,003262	
1	0,050402	0,000086	
1,25	0,080566	0,003325	
1,5	0,131527	0,012961	
1,5	0,135467	0,012967	
1,75	0,108432	0,003369	
2	0,099367	0,000164	

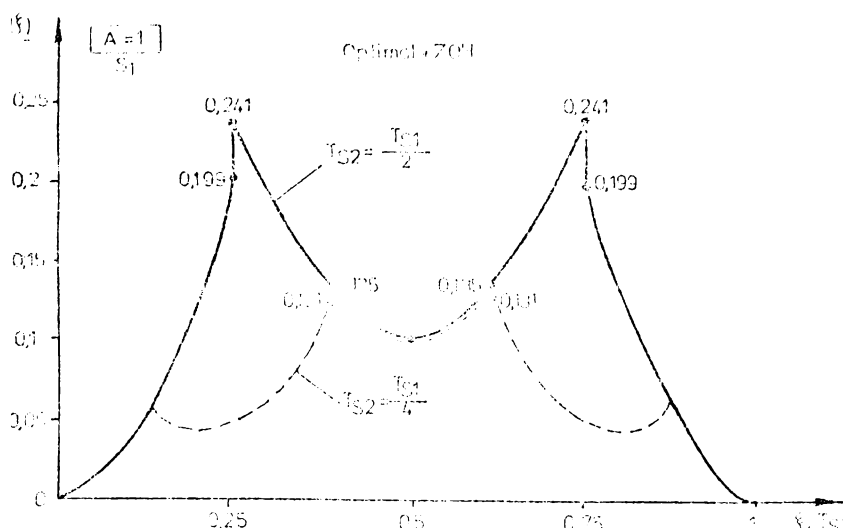


Fig.5.5.

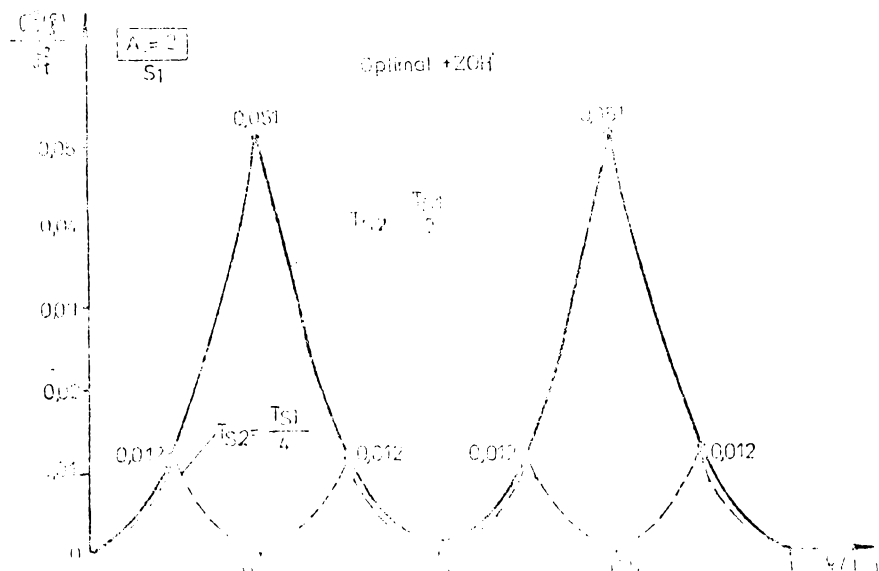


Fig.5.6.

Se poate aprecia practic că crearea finală este cea pe care o introduce elementul de menținere de ordinul zero care acționează însă la o frecvență de eşantionare mărită.

Contribuția la eroare a primei faze de interpolare este practic neglijabilă.

#### 5.6. Nucleul optimal pentru faza a doua de interpolare

Pentru sistemele de interpolare numerică, în general, se preferă construcția interpolatorului în mai multe faze consecutive decarece volumul de calcule necesar precum și numărul de coeficienți utilizat sunt mai reduse.

Dezavantajul acestei metode este nivelul erorii totale care poate crește față de situația interpolării într-o singură fază datorită faptului că în fazele următoare primei faze se utilizează în calcule și valori eronate ale eșantioanelor funcției originale.

Utilizarea unui nucleu optimal în faza a doua de interpolare poate oferi o soluție acestei probleme.

Pentru a deduce condițiile pe care trebuie să le îndeplinească nucleul din faza a două de interpolare pentru a introduce eroare minimă se pornește de la relația (5.1) care asigură ortogonalitatea erorii cu eșantioanele funcției ce urmează a fi interpolată.

Dacă  $f(t)$  este funcția originală și  $d(t)$  funcția obținută după prima interpolare, atunci ea are expresia:

$$d(t) = \sum_{a=-A_1}^{A_2} h_a'(\xi) f[(n+a)T_{s1}] \quad (5.19)$$

unde  $h_a'(\xi)$  este nucleul utilizat în prima fază de interpolare. Notând cu  $e_{2m}(\xi)$  eroarea din faza a două de interpolare, adică:

$$e_{2m}(\xi) = d(mT_{s2} + \xi) - \sum_{k=-K_1}^{K_2} h_k(\xi) d[(m+k)T_{s2}] \quad (5.20)$$

condiția (1) devine:

$$E\{e_{2m}(\xi) \cdot d[(m+i)T_{s2}]\} = 0 \quad \text{unde } i \in [-K_1, K_2] \quad (5.21)$$

din care, cu ajutorul relației anterioare rezultă:

$$R_{dd}(iT_{s2} - \xi) - \sum_{k=-K_1}^{K_2} h_k(\xi) R_{dd}[(i-k)T_{s2}] = 0 \quad (5.22)$$

sau

$$\sum_{k=-K_1}^{K_2} h_k(\xi) R_{dd}[(i-k)T_{s2}] = R_{dd}(iT_{s2} - \xi) \quad (5.23)$$

Această ultimă relație, analogă relației (5.4) leagă expresia nucleului  $h_k(\xi)$  din faza a două de interpolare de funcția de autocorelație  $R_{dd}$  a semnalului obținut după prima interpolare.

Intrucât ultima relație nu depinde de  $m$ , în continuare se va considera  $m=0$ .

Valorile funcției de autocorelație care intervin în relația (5.23) se obțin astfel:

$$R_{dd}[(iT_{s2})] = E\{d(iT_{s2}) \cdot d(kT_{s2})\} = \\ = E\left\{\left[\sum_{a=-A_1}^{A_2} h_a'(iT_{s2}) f(aT_{s1})\right] \left[\sum_{b=-A_1}^{A_2} h_b'(kT_{s2}) f(bT_{s1})\right]\right\}$$

deci:

$$R_{dd}[(i-k)T_{s2}] = \sum_{a=-A_1}^{A_2} \sum_{b=-A_1}^{A_2} h_a^*(iT_{s2}) h_b^*(kT_{s2}) R_{ff}[(a-b)T_{sl}] \quad (5.24)$$

Analog:

$$\begin{aligned} R_{dd}(iT_{s2}-\xi) &= E\{d(iT_{s2})d(\xi)\} = \\ &= E\left\{\left[\sum_{a=-A_1}^{A_2} h_a^*(iT_{s2})f(aT_{sl})\right] \cdot \left[\sum_{b=-A_1}^{A_2} h_b^*(\xi)f(bT_{sl})\right]\right\} \end{aligned}$$

decit:

$$R_{dd}(iT_{s2}-\xi) = \sum_{a=-A_1}^{A_2} \sum_{b=-A_1}^{A_2} h_a^*(iT_{s2}) h_b^*(\xi) R_{ff}[(a-b)T_{sl}] \quad (5.25)$$

Inlocuind expresiile din (3.3) și (3.4) în (3.2) se obține:

$$\begin{aligned} \sum_{k=-K_1}^{K_2} \sum_{a=-A_1}^{A_2} \sum_{b=-A_1}^{A_2} h_k(\xi) h_a^*(iT_{s2}) h_b^*(kT_{s2}) R_{ff}[(a-b)T_{sl}] &= \\ &= \sum_{a=-A_1}^{A_2} \sum_{b=-A_1}^{A_2} h_a^*(iT_{s2}) h_b^*(\xi) R_{ff}[(a-b)T_{sl}] \end{aligned}$$

Trecind totul în membrul stîng al relației, se obține:

$$\sum_{a=-A_1}^{A_2} \sum_{b=-A_1}^{A_2} h_a^*(iT_{s2}) R_{ff}[(a-b)T_{sl}] \left[ \sum_{k=-K_1}^{K_2} h_k(\xi) h_b^*(kT_{s2}) - h_b^*(\xi) \right] = 0$$

De unde se obține pentru nucleul  $h_k(\xi)$  din fază a două de interpolare setul de condiții:

$$\sum_{k=-K_1}^{K_2} h_k(\xi) h_b^*(kT_{s2}) = h_b^*(\xi) \quad \text{unde } b \in [-A_1, A_2] \quad (5.26)$$

Pe baza relației (5.26) cunoscînd nucleul utilizat în prima fază se poate determina nucleul optimă pentru fază următoare. Această relație presupune că nucleul din fază a două interpolează perfect nucleul din prima fază de interpolare.

5.7. Estimarea eroilor unui sistem de interpolare în două faze care utilizează în fază a două un nucleu optimul.

Relația (5.26) care exprimă valoarea raportului  $\frac{\sigma_e^2(\xi)}{\sigma_f^2}$  pentru un sistem de interpolare în două faze (în situația în care  $T_{s1}/T_{s2}$  este un număr natural) poate fi adusă la o formă mai simplă dacă al doilea nucleu utilizat este nucleul optimul dedus din setul de relații (5.26).

Relația (5.26) se poate re scrie în forma:

$$\begin{aligned} \frac{\sigma_e^2(\xi)}{\sigma_f^2} = & 1-2 \sum_{a=-A_1}^{A_2} \frac{R_{ff}(\xi-aT_{s1})}{R_{ff}(0)} \sum_{k=-K_1}^{K_2} h_k(\xi) h_a'(kT_{s2}) + \\ & + \sum_{a=-A_1}^{A_2} \sum_{b=-A_1}^{A_2} \frac{R_{ff}[(a-b)T_{s1}]}{R_{ff}(0)} \sum_{k=-K_1}^{K_2} \sum_{\ell=-K_1}^{K_2} h_k(\xi) h_\ell(\xi) h_a'(kT_{s2}) h_b'(\ell T_{s2}) \end{aligned} \quad (5.27)$$

Grupând în mod corespunzător termenii din relația (5.27) se obține:

$$\begin{aligned} \frac{\sigma_e^2(\xi)}{\sigma_f^2} = & 1-2 \sum_{a=-A_1}^{A_2} \frac{R_{ff}(\xi-aT_{s1})}{R_{ff}(0)} \left[ \sum_{k=-K_1}^{K_2} h_k(\xi) h_a'(kT_{s2}) \right] + \\ & + \sum_{a=-A_1}^{A_2} \sum_{b=-A_1}^{A_2} \frac{R_{ff}[(a-b)T_{s1}]}{R_{ff}(0)} \left[ \sum_{k=-K_1}^{K_2} h_k(\xi) h_a'(kT_{s2}) \right] \cdot \left[ \sum_{\ell=-K_1}^{K_2} h_\ell(\xi) h_b'(\ell T_{s2}) \right] \end{aligned} \quad (5.28)$$

Aplicând relația (5.26) în relația (5.28) rezultă:

$$\begin{aligned} \frac{\sigma_e^2(\xi)}{\sigma_f^2} = & 1-2 \sum_{a=-A_1}^{A_2} \frac{R_{ff}(\xi-aT_{s1})}{R_{ff}(0)} h_a'(\xi) + \\ & + \sum_{a=-A_1}^{A_2} \sum_{b=-A_1}^{A_2} \frac{R_{ff}[(a-b)T_{s1}]}{R_{ff}(0)} h_a'(\xi) \cdot h_b'(\xi) \end{aligned} \quad (5.29)$$

Relația (5.29) care se obține din (5.27), în cazul în care a două fază de interpolare este optimă, reprezintă totuși valoarea raportului  $\frac{\sigma_e^2(\xi)}{\sigma_f^2}$  corespunzătoare primei faze de interpolare conform relației (3.13). Acest fapt demonstrează că dacă fază a două de interpolare este optimă ea nu introduce erori suplimentare. Concluzia aceasta poate fi extinsă la o interpolare în mai multe faze consecutive.

O dată stabilit nucleul optimal pentru faza a doua de interpolare, se poate determina în funcție de expresia lui, nucleul optimal pentru faza a treia și.a.m.d.

Un sistem de interpolare în "n" faze consecutive va genera eroare egală cu cea din prima fază dacă nucleul din fază a doua precum și toate nucleele din fazele următoare să fie optimale (determinate din relația (5.26)). Această proprietate are consecințe avantajoase la realizarea practică a sistemelor de interpolare numerică. De exemplu, proiectarea unui interpolator numeric pentru mărirea de 8 ori a numărului de eșantioane poate fi realizată prin legarea în cascadă a trei interpolări numerice care să dubleze fiecare numărul de eșantioane.

Dacă în cazul interpolării directe sunt necesari (pentru  $N=4$ )  $4 \times 8 = 32$  de coeficienți, prin interpolarea în trei faze sunt necesari  $4 \times 3 = 12$  coeficienți.

Dacă fazele a două și a treia sunt optimale, eroarea totală este aceeași ca și în cazul interpolării directe. În cazul general, în loc de  $N \times 2^N$  se folosesc  $N \times n$  coeficienți.

### 5.8. Estimarea erorilor unui sistem de interpolare în două faze care utilizează în ambele faze nucle optimale

Pentru a pune complet în evidență efectul pe care îl au nuclele optimale asupra erorii totale în cazul unui sistem de interpolare în două faze consecutive se poate utiliza relația (3.34).

$$E\{e_T^2(t)\} = E\{e_1^2(t)\} + E\{e_2^2(t)\} + 2E\{e_1(t)e_2(t)\}$$

Termenii care intervin în expresia erorii medii pătrătice totale se pot explicita și pune într-o formă ce permite o discuție edificatoare. Astfel ultimul termen poate fi calculat în modul următor:

$$\begin{aligned} E\{e_1(t)e_2(t)\} &= E\{[f(t)-d(t)][d(t)-g(t)]\} = \\ &= E\{f(t).d(t)\} - E\{f(t).g(t)\} - E\{d^2(t)\} + E\{d(t).g(t)\} \quad (5.30) \end{aligned}$$

Calculând fiecare expresie în parte se obține:

$$E\{f(t).d(t)\} = \sum_{a=-A_1}^{A_2} h_a^*(\xi) R_{ff}(\xi - aT_{S_1}) \quad (5.31)$$

$$E\{f(t) \cdot g(t)\} = \sum_{k=-K_1}^{K_2} h_k(\zeta) \sum_{a=-A_1}^{A_2} h_a'(kT_{s2}) R_{ff}(\zeta - aT_{sl}) \quad (5.32)$$

$$E\{d^2(t)\} = \sum_{a=-A_1}^{A_2} \sum_{b=-A_1}^{A_2} h_a'(\zeta) h_b'(\zeta) R_{ff}[(a-b)T_{sl}] \quad (5.33)$$

$$E\{d(t) \cdot g(t)\} = \sum_{k=-K_1}^{K_2} h_k(\zeta) \sum_{b=-A_1}^{A_2} h_b'(\zeta) \sum_{a=-A_1}^{A_2} h_a'(kT_{s2}) \cdot \\ \cdot R_{ff}[(a-b)T_{sl}] \quad (5.34)$$

Utilizînd aceste expresii în relaþia anterioară se obþine:

$$E\{e_1(t) e_2(t)\} = \sum_{a=-A_1}^{A_2} R_{ff}(\zeta - aT_{sl}) \left[ h_a'(\zeta) - \sum_{k=-K_1}^{K_2} h_k(\zeta) h_a'(kT_{s2}) \right] - \\ - \sum_{a=-A_1}^{A_2} \sum_{b=-A_1}^{A_2} h_b'(\zeta) R_{ff}[(a-b)T_{sl}] \cdot \left[ h_a'(\zeta) - \sum_{k=-K_1}^{K_2} h_k(\zeta) h_a'(kT_{s2}) \right] \quad (5.35)$$

si dind factor comun, rezultă:

$$E\{e_1(t) e_2(t)\} = \sum_{a=-A_1}^{A_2} \left[ h_a'(\zeta) - \sum_{k=-K_1}^{K_2} h_k(\zeta) h_a'(kT_{s2}) \right] \cdot \\ \cdot \left[ R_{ff}(\zeta - aT_{sl}) - \sum_{b=-A_1}^{A_2} h_b'(\zeta) R_{ff}[(a-b)T_{sl}] \right] \quad (5.36)$$

In mod analog se procedează și cu termenul  $E\{e_2^2(t)\}$  din cercarea medie pătratică totală și se obþine:

$$E\{e_2^2(t)\} = E\{(d-g)^2\} = E \\ = E \left\{ \left[ \sum_{a=-A_1}^{A_2} h_a'(\zeta) f(aT_{sl}) - \sum_{k=-K_1}^{K_2} h_k(\zeta) \sum_{a=-A_1}^{A_2} h_a(kT_{s2}) f(aT_{sl}) \right]^2 \right\} \quad (5.37)$$

sau

$$E\{e_2^2(t)\} = E \left\{ \left( \sum_{a=-A_1}^{A_2} f(aT_{sl}) \cdot \left[ h_a'(\zeta) - \sum_{k=-K_1}^{K_2} h_k(\zeta) h_a(kT_{s2}) \right] \right)^2 \right\} \quad (5.38)$$

Analizînd relaþia (5.36) se constată că dacă nucleul din prima fază este optimal, atunci conform proprietăþilor sale are loc relaþia:

$$R_{ff}(\zeta - aT_{s1}) - \sum_{b=-A_1}^{A_2} h_b'(\zeta) R_{ff}[(a-b)T_{s1}] = 0$$

care anulează expresia (5.36).

In aceste condiții rezultă că eroile din cele două faze sunt ortogonale,  $E\{e_1(t)e_2(t)\}=0$  și eroarea totală care se obține este:

$$E\{e_T^2(t)\} = E\{e_1^2(t)\} + E\{e_2^2(t)\} \quad (5.39)$$

Po de altă parte, dacă nucleul din fază a două este optimă, el îndeplinește condiția  $h'$

$$h_a'(\zeta) - \sum_{k=-K_1}^{K_2} h_k'(\zeta) h_a'(kT_{s2}) = 0$$

astfel încât din relațiile (5.36) și (5.38) rezultă că:

$$E\{e_1(t)e_2(t)\} = 0 \quad \text{și} \quad E\{e_2^2(t)\} = 0$$

decic eroarea totală este:

$$E\{e_T^2(t)\} = E\{e_1^2(t)\} \quad (5.40)$$

Dacă nuclele din ambele faze sunt optimale atunci se obține eroarea totală:

$$E\{e_T^2(t)\} = E\{e_{lopt}^2(t)\} \quad (5.41)$$

unde  $E\{e_{lopt}^2(t)\}$  se poate calcula cu relația (5.6) iar raportul  $\sigma_e^2(\zeta)/\sigma_f^2$  cu relația (5.7).

Constatările anterioare sunt valabile și în cazul interpolării optimale în mai multe faze.

## CAPITOLUL 6.

### POSSIBILITATI DE IMPLEMENTARE SI CONCLUZII PRIVIND NUCLEELLE DE INTERPOLARE

#### 6.1. Posibilitățile de implementare a sistemelor de interpolare

Studiul anterior, legat de performanțele nucleelor de interpolare polinomiale sau optimale, trebuie corelat cu suporțul fizic de circuite electronice, utilizabile la construcția sistemelor de interpolare, pentru a se obține o imagine de ansamblu asupra acestora.

In general se pot distinge două categorii de sisteme care utilizează tehnica interpolării. Prima categorie o constituie sistemele care funcționează în timp real (este cazul sistemelor de comutății) iar a doua categorie o constituie sistemele care nu necesită o funcționare în timp real în sensul că, pornind de la o secvență numerică, se efectuează în prealabil interpolarea, urmând ca generarea semnalului analogic să aibă loc după încheierea procesului de interpolare (cazul generatorelor de semnale de formă arbitrară).

##### 6.1.1. Sisteme de interpolare în timp real

Sistemele de interpolare în timp real se pot realiza utilizând practic aceeași bază de circuite ca și în cazul filtrelor numerice. In figura 6.1 se prezintă structura unui filtru numeric de interpolare care asigură dublarea numărului de eșantioane.

Structura utilizează coeficienți variabili a căror valoare se repetă după două tacte consecutive. In cazul interpolării liniare valorile acestor coeficienți sunt  $h_0=0$ ,  $h_1=1$ ,  $h_0'=1/2$ ,  $h_1'=1/2$ .

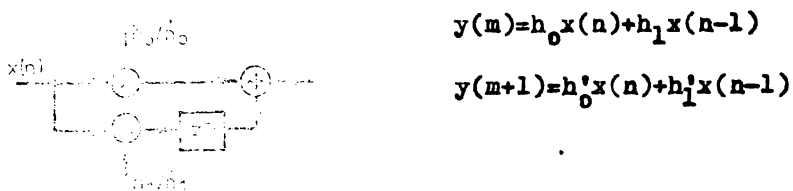


Fig.6.1.

O structură mai complexă, dar care nu mai necesită coeficienți variabili, este cea din figura 6.2 (s-a luat în considerare tot cazul în care se dublează numărul de eșantioane).

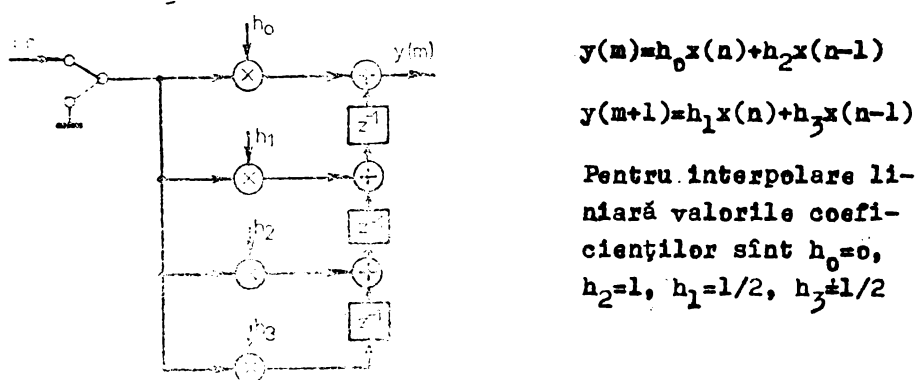


Fig.6.2.

O altă variantă a unui astfel de interpolator o constituie rețeaua polifazică, a cărei structură conține, pentru exemplul considerat, două interpolatoare comutate alternativ ca în fig.6.3.

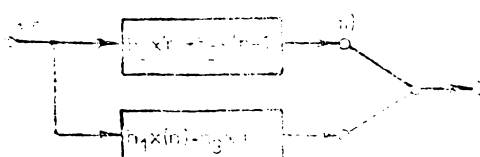


Fig.6.3.

Realizarea unor asemenea structuri necesită utilizarea unor multiplexoare, memorii tampon (pentru coeficienți și rezultate intermedii), multiplicatoare și sumatoare a căror structură trebuie să îndeplinească o serie de condiții legate de numărul de biți al cuvintelor utilizate precum și de viteza de lucru.

Cu cît se urmărește implementarea unui sistem de interpolare mai complex (număr de eșantioane consecutive utilizate la o interpolare, număr de puncte de interpolare între două eșantioane originale consecutive) cu atât se complică mai mult structura sistemului și cresc pretențiile legate de numărul de biți și de viteză.

Anumite simplificări ale structurilor pot fi obținute în cazul în care se ține cont de simetria valorilor coeficienților.

Un exemplu în această privință îl constituie structura din fig.6.4, structură ce reprezintă un sistem de interpolare ce dublează numărul de eșantioane utilizând patru eșantioane consecutive la fiecare interpolare (coeficienții sunt obținuți din nucleul Lagrange de ordinul 3).

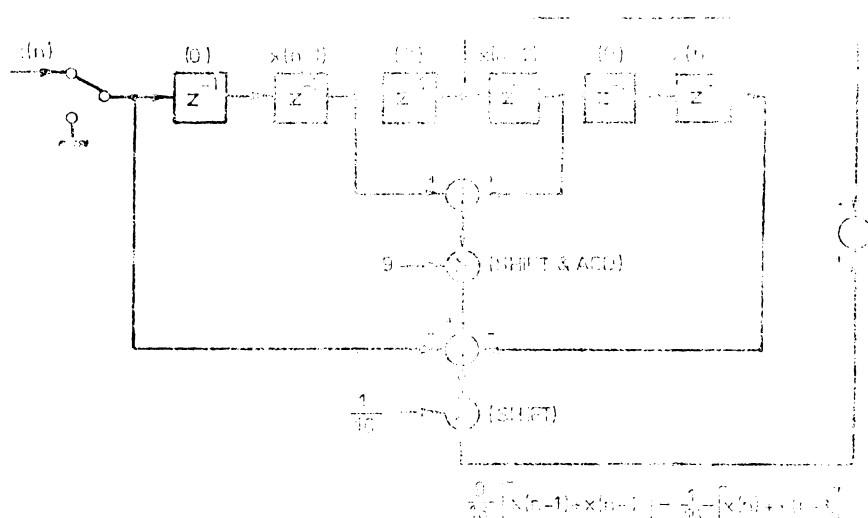


Fig.6.4.

Cele mai avantajoase sisteme de interpolare, din punct de vedere al complexității schemelor precum și al numărului de calcule necesar, se obțin prin intercalarea în cascadă a unor sisteme mai simple (implementarea "multi stage").

Apariția și dezvoltarea din ultimul timp a procesoarelor numerice de semnal (DSP "digital signal processor") a deschis o cale nouă pentru construcția și implementarea sistemelor de interpolare.

ACESTE CIRCUITE S-AU DEZVOLTAT PE BAZA TEHNICII MICROPROCESOARELOR ȘI PERMIS REALIZAREA UNOR STRUCTURI DE FILTRE NUMERICE COMPLEXE PE BAZĂ DE PROGRAME DATORITĂ UNUI SOFT ADECUAT CARE SE MEMOREAZĂ ÎN INTERIORUL CAPSULEI. VALORILE COEFICIENTILOR SE MEMOREAZĂ DE ASEMENEA ÎNTR-O MEMORIE SPECIAL PREVĂZUTĂ ÎN INTERIORUL CIRCUITULUI, CARE MAI CONȚINE ȘI O UNITATE DE CALCUL SUFICIENT DE PUTERNICĂ PENTRU A EFECTUA CALCULELE CERUTE DE ALGORITMI PROGRAMAȚI.

Dacă, din punct de vedere al complexității schemelor, procesoarele numerice de semnal oferă deja o soluție mai avantajoasă decât sistemele hard discrete de interpolare, din punct de vedere al vitezei de lucru acestea rămân deocamdată inferioare fiind aplicabile doar în sistemele în care frecvențele de eşantionare nu depășesc 20 kHz.

Sistemele de interpolare, realizate cu ajutorul procesoarelor numerice de semnale, pot prelucra secvențe de eşantioane codate pe cuvinte de cel puțin 16 biți lungime ceea ce asigură un nivel redus pentru erorile de trunchiere a rezultatelor.

In general asemenea procesoare utilizează un număr redus de instrucții specializate ceea ce ușurează elaborarea programelor de interpolare.

In figura 6.5 se prezintă schema bloc a unui procesor numeric de semnale (valorile numerice corespund tipului μPD7720 NEC).

Inscrierea programului în memoria procesoarelor se face de către producătorul circuitului dar poate fi făcută și de către utilizator la circuitele în varianta EEPROM.

Valorile coeficientilor, utilizati pentru interpolare, pot fi numerotate fie într-o memorie nevolatilă (DATA-ROM) fie într-o memorie RAM și atunci pot fi modificate de utilizator de la caz la caz.

Procesoarele numerice de semnal sunt în general compatibile cu sisteme de calcul echipate cu microprocesor ceea ce permite realizarea de sisteme de prelucrare complexe.

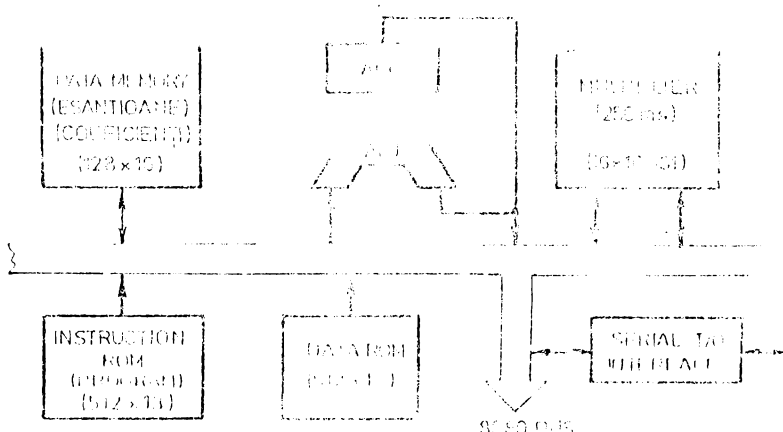


Fig.6.5.

#### 6.1.2. Generatoare de semnale de formă arbitrară

In cadrul sistemelor de interpolare care nu necesită o funcționare în timp real, principala aplicație o constituie generatoarele de semnale analogice cu formă programabilă arbitrar.

In aceste situații, în care interpolarea întregii secvențe numerice inițiale are loc înaintea procesului propriu-zis de generare a semnalului analogic, implementarea interpolării se realizează pe baza unui sistem de calcul numeric.

Un generator de semnale analogice cu formă programabilă arbitrar va conține un sistem de calcul, de genul unui calculator personal, prevăzut cu un set de programe adecvate. Prin dialog cu operatorul, în calculator se introduce secvența de eşantioane inițială. Prin intermediul programelor de interpolare se construiește o secvență numerică ce va conține un număr mult mai mare de eşantioane (cel puțin 4096). Această secvență se stochează într-o unitate de memorie a sistemului de generare, de unde este preluată cu mare viteză și convertită în semnal analogic prin intermediul unui CNA.

Schema bloc a unui generator de semnale analogice de formă programabilă arbitrar este prezentată în fig.6.6.

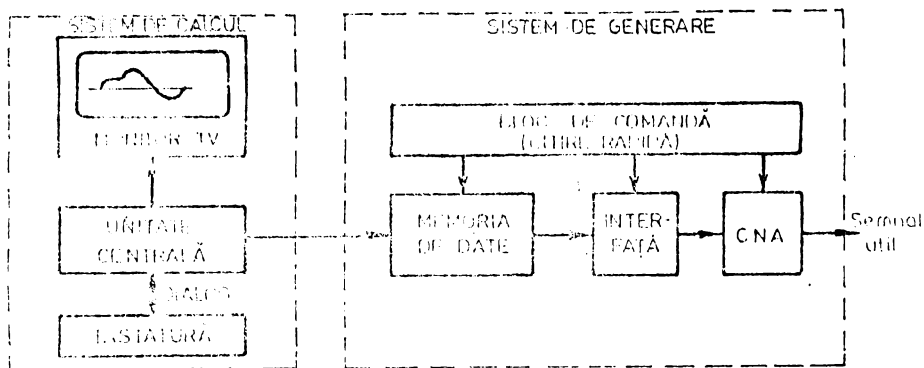


Fig.6.6.

Limita superioară a frecvențelor semnalelor generate depinde exclusiv de posibilitățile și modul de realizare a sistemului de generare.

Setul de programe rezident în unitatea de calcul a generatorului are o structură de genul celei prezentate în fig.6.7.

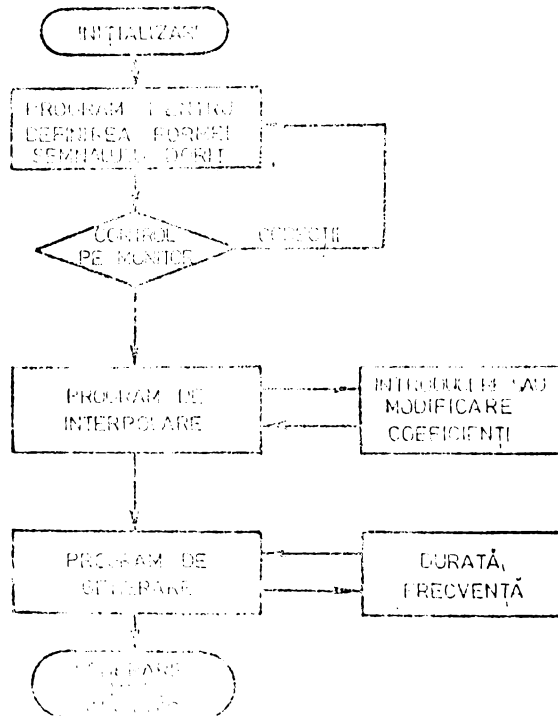


Fig.6.7.

Programul pentru definirea formei semnalului dorit este scris într-un limbaj evoluat (BASIC) pentru a permite un mod de operare conversațional.

Reluarea acestui program permite operatorului definirea formei semnalului dorit prin introducerea în calculator eșantion cu eșantion și controlul formei prin vizualizare pe monitorul TV. Operatorul are posibilitatea corectării valorii oricărui eșantion introdus. Evident, din motive de durată, secvența de eșantioane inițială va conține un număr redus de eșantioane (cel mult cîteva zeci de eșantioane) ce vor reprezenta puncte obligatorii prin care trece funcția analogică ce definește semnalul.

Programul de interpolare poate fi realizat în trei modalități distincte. În primă modalitate, corespunzătoare interpolării numerice într-o singură fază, constă în definirea nucleului de interpolare, care urmează să fie utilizat, sub forma unei funcții într-un limbaj evoluat (de exemplu BASIC).

Calculul eșantioanelor intermediare se efectuează cu precizie ridicată la o singură trecere a secvenței inițiale. Secvența numerică rezultată este convertită apoi într-un cod binar, în virgulă fixă, pe un anumit număr de biți și transferată în memoria de date a sistemului de generare.

Această metodă are avantajul că oferă o implementare facilă a oricărui tip de nucleu de interpolare, inclusiv a nucleelor optimale.

Dezavantajul metodei este timpul mare pe care îl necesită efectuarea calculelor în limbaj evoluat, fiind vorba de calcularea unui număr de eșantioane ridicat, de ordinul miilor, și în plus presupune calcularea coeficienților necesari la fiecare interpolare. În a doua modalitate, echivalentă interpolării numerice în mai multe faze consecutive, constă în dublarea iterativă a numărului de eșantioane din secvența inițială, utilizând un program tot în limbaj evoluat dar care utilizează la calculul valorii eșantionului interpolat o formulă definită sub forma unei funcții în care variabilele sunt eșantioanele consecutive utilizate la interpolare iar coeficienții sunt derivați din expresia analogică a nucleului utilizat și introdusi de operator sau de proiectant.

Să această metodă permite utilizarea oricărui tip de nucleu dar este mai rapidă în comparație cu prima metodă întrucât nu mai necesită calcularea coeficienților la fiecare interpolare.

A treia modalitate, cea mai rapidă, constă în implementarea algoritmului de interpolare sub forma unei subrute, în cod mașină. Coeficienții utilizabili în acest caz pot fi cei derivați din nucleele polinomiale întrucât operațiile de înmulțire necesare la calculul de interpolare pot fi realizate prin operații simple de adunare și deplasare a unor cuvinte în cod binar.

#### 6.2. Descrierea instalației experimentale utilizată pentru implementarea algoritmilor de interpolare

Pentru studii experimentale autorul a utilizat un calculator personal de tipul PRAE-M, aflat în fabricație curentă la ITC filiala Timișoara, calculator construit pe baza unui microsistem echipat cu microprocesorul Z80.

Cu ajutorul instalației experimentale, construite a fost implementată procedura de interpolare iterativă în ambele variante (limbaj BASIC și respectiv cod mașină).

Formula de interpolare implementată utilizează pentru o interpolare patru eşantioane consecutive, coeficienții fiind derivați din nuclee polinomiale de ordinul trei.

"Valoile" esențioanelor folosite pentru generare au fost codificate în cuvinte binare de 8 biți.

Schema bloc a ansamblului utilizat este prezentată în figura 6.8.

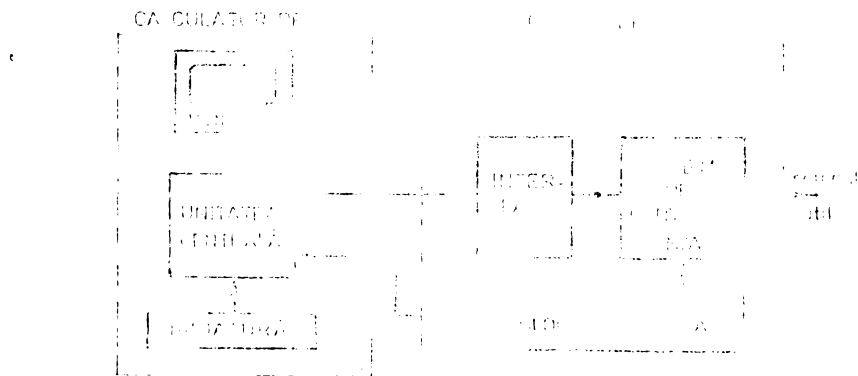


Fig.6.8.

Se observă că, față de schema bloc prezentată în figura 6.6, în aceasta din urmă nu apare o memorie de date separată în blocul de generare. Acest fapt se explică prin faptul că autorul a urmărit în principal să studieze posibilitățile de funcționare ale algoritmilor de interpolare, fără să își propună o generare ultrarapidă de semnale analogice. În acest scop autorul a utilizat pentru stocarea datelor de interpolare o parte din memoria internă de 16 Kocteți a calculatorului PRAE-M.

Intrucit, din memoria de 16 Kocteți a calculatorului, 8 Kocteți sunt utilizati pentru memoria video iar din ceilalți 8 Kocteți o parte este ocupată de programul monitor, de programele BASIC și de subrutele în cod mașină, autorul a copiat pentru utilizarea memoriei video la stocarea datelor necesare generării. Această opțiune a fost posibilă întrucit în timpul generării, monitorul TV nu mai este utilizat și prezintă în plus și avantajul că se poate asigura o citire liniară a zonei de memorie respective utilizând controlerul de monitor TV care realizează un acces direct la memoria calculatorului (independent de funcționarea unității centrale cu Z80).

Intrucit controlerul de monitor TV realizează generarea impulsurilor de sincronizare cadre TV prin resetarea la o anumită combinație prescrisă a stării numărătoarelor de adrese, ceea ce are ca efect o citire repetată a zonei de început din memoria video, a fost necesară implantarea în structura hard a calculatorului a unui sistem de comandă care se activează odată cu subrutea de generare și blochează furnizarea impulsurilor de sincronizare cadre asigurind astfel o adresare liniară a memoriei video.

Zona de 8 Kocteți utilizată pentru stocarea datelor în timpul procesului de interpolare este deplasată față de zona video pentru a lăsa libere două linii de caractere pe monitorul TV pentru mesaje. După încheierea procesului de interpolare și completarea celor 8192 de locații de memorie cu valorile esanțioanelor, zona de memorie respectivă se translatează pentru a se suprapune perfect peste zona de memorie video după care se apelează subrutea de generare.

Gestionarea memoriei de date în timpul procesului de interpolare a fost realizată în modul următor. Secvența inițială se dispune în memorie începînd de la prima adresă disponibilă lăsînd după fiecare locație de memorie ocupată cîte o locație liberă care se completează apoi cu rezultatul interpolării co-

respunzătoare. După ce s-au completat toate spațiile libere (s-a încheiat prima fază de interpolare) zona ocupată este rezarsă ocupindu-se o zonă de memorie dublă și lăsându-se din nou spații goale între două eșantioane consecutive. Urmează apoi completarea acestora prin următoarea etapă de interpolare. Procesul se repetă pînă la ocuparea completă a celor 8192 de locații afectate acestui scop.

Rescrierea tabelului se face de fiecare dată în ordine inversă, începînd cu ultima locație ocupată, pentru a nu se distrugă datele calculate în etapa anterioară.

In situația în care formula de interpolare a fost implementată în limbaj BASIC, timpul necesar pentru a calcula cele 8192 de eșantioane, utilizate în faza de generare și stocate în 8 Kocetei de memorie a fost de aproximativ 20 minute, valoare mult prea mare pentru ca metoda să poată fi utilizată în sisteme operative.

Prin implementarea interpolării sub forma unei subrutine în cod mașină se obține o reducere substanțială a timpului necesar comparativ cu metoda precedentă, în condițiile în care calitatea semnalului obținut este practic aceeași. Astfel, timpul necesar pentru calcularea celor 8192 de eșantioane precum și amplasarea lor în memorie se reduce la numai o secundă, ceea ce face posibilă utilizarea acestei metode la sisteme operative.

### 6.3. Concluzii privind performanțele și facilitățile de implementare a diferitelor tipuri de nuclee de interpolare

#### 6.3.1. Nucleele polinomiale

Nucleele polinomiale, definite în capitolul 2 și analizate în capitolul 4, prezintă ca principal avantaj expresia analitică relativ simplă (polinomială) pe baza căreia se pot obține ușor valorile coeficientilor necesari în procesul de interpolare.

Alegerea nucleului potrivit în funcție de valoarea parametrului  $A = \omega_s / 2\omega_c$  permite reducerea nivelului eroilor la valori acceptabile. După cum s-a arătat în capitolul 4, în situația în care  $A \geq 2$  această alegere asigură o eroare totală egală practic cu cea pe care o introduce faza de interpolare

analogică (CNA), corespunzînd unei frecvențe de eșantionare mărite la un număr de ori egal cu factorul  $L$ , cu care se multiplică numărul de eșantioane inițial.

Nucleele polinomiale permit implementarea unor sisteme de interpolare în cascadă și pot fi utilizate în diferite combinații în funcție de valoarea parametrului  $A$ .

O altă calitate importantă a nucleelor polinomiale o constituie dependența relativ redusă a performanțelor funcție de structura spectrală a semnalului original.

Din punct de vedere al facilităților de implementare, nucleele polinomiale sunt avantajoase și datorită valorilor coeficienților. În tabelul 6.1 se prezintă valorile coeficienților a trei tipuri de nucle polinomiale pentru calculul eșantionului în punctul  $T_S/2$ .

Tabelul 6.1.

Tipul de nucleu	$h_{-1}$	$h_0$	$h_1$	$h_2$
Spline (3)	-1/8	5/8	5/8	-1/8
Lagrange (3)	-1/16	9/16	9/16	-1/16
Cubic continual	-3/32	19/32	19/32	-3/32

Se observă că astfel de valori de coeficienți pot fi ușor implementate în structuri hard pentru interpolare în timp real precum și în cazul unor sisteme de interpolare realizate prin programe în cod mașină.

### 6.3.2. Nucleele optimale

Utilizarea nucleelor optimale este avantajoasă în situațiile în care se cunoaște exact sau aproximativ densitatea spectrală de putere a semnalului original. În aceste cazuri nucleele optimale asigură un nivel al erorilor sensibil mai redus decât în cazul utilizării nucleelor polinomiale. Diferența dintre nivelul erorilor între cele două tipuri de nucle se accentuează cu creșterea valorii parametrului  $A$  (după cum s-a arătat în capitolul 5).

Un prim dezavantaj al nucleelor optimale îl constituie creșterea foarte pronunțată a nivelului erorilor pentru un nu-

cleu optimal, implementat pentru o anumită situație, în cazul în care se modifică structura spectrală a semnalului original sau valoarea parametrului A.

Un alt dezavantaj al nucleelor optimale îl constituie expresia analitică mai complicată, ceea ce implică un calcul mai laborios al valorilor coeficienților și conduce la valori de coeficienți cu multe cifre zecimale semnificative.

Utilizarea nucleelor de interpolare optimale în cadrul unor sisteme în cascadă asigură menținerea nivelului erorii totale la valoarea erorii introduse de prima fază de interpolare dacă se respectă procedura prezentată în capitolul 5.

Datorită valorilor numerice ale coeficienților derivați din nucleele optimale, implementarea unor sisteme în timp real sau a unor programe în cod mașină este mult mai dificilă decât în cazul nucleelor polinomiale. Utilizarea unor procesoare numerice de semnal (DSP) precum și a unor programe în limbiage evaluate permite totuși utilizarea nucleelor optimale.

## CONTRIBUTII

Prezenta lucrare ridică pe un nou stadiu problema reconstituirii fidale a unor semnale eșantionate prin metoda interpolării și își găsește numeroase aplicații atât în domeniul sistemelor de reconstrucție în timp real cît și în cazul sistemelor de generare prin sinteză.

Principalele contribuții aduse de autor temei tratate pe parcursul acestei lucrări sunt concretizate în cele ce urmează:

### In capitolul I:

1.1. Se prezintă într-o sinteză unitară fundamentele teoretice ale procesului de reconstrucție fizică, prin interpolare, a unui semnal eșantionat. Se tratează în paralel, pe baza modelului de semnal, răspunsul în frecvență al sistemelor de reconstrucție atât în cazul semnalelor aperiodice cît și în cazul semnalelor periodice.

1.2. Se deduce expresia funcției de interpolare în cazul semnalelor periodice, echivalentă structurii spectrale a funcției de interpolare pentru semnale aperiodice, expresie avantajoasă pentru aprecierea cantitativă a distorsiunilor și a componentelor armonice suplimentare introduse prin interpolare.

1.3. Pe baza unui amplu studiu bibliografic, se face o analiză a sistemelor analogice de reconstrucție punindu-se în evidență limitele sistemelor clasice de conversie numeric-analogică.

1.4. Se prezintă tendința actuală de realizare a unor sisteme de reconstrucție de fidelitate ridicată prin utilizarea combinată a interpolării în fază numerică și fază analogică. Trecind în revistă principiul sistemelor de interpolare numerică și metodele de proiectare aferente, conform diferitelor referiri bibliografice, se alege ca metodă de lucru metoda erorii medii pătratice, metodă ce oferă premizele unei tratări unitare a sistemelor de interpolare în ambele faze (numerică și analogică).

In capitolul 2:

2.1. Se sintetizează condițiile pe care trebuie să le îndeplinească nucleele polinomiale de interpolare. Aceste condiții sunt determinate de faptul că lungimea în timp a acestor nuclee este finită și dependentă de numărul de eşantioane consecutive ( $N$ ) care se folosesc pentru o interpolare precum și de faptul că aceste nuclee trebuie să interpoleze nucleul ideal.

2.2. Se face o analiză a principalelor tipuri de nuclee polinomiale prezentate în literatura de specialitate. Se analizează expresia analitică și funcția de transfer a nucleelor de ordinul 0, 1, 2 și 3, corespunzătoare cazurilor  $N=1, 2, 3$  și 4.

Se arată că pentru  $N=4$  se pot construi mai multe tipuri de nuclee, în funcție de metoda adoptată la interpolarea nucleului ideal (metoda Lagrange, Spline etc.).

2.3. Se construiește un nucleu polinomial de ordinul 3 original, denumit cubic continual, care, pe baza analizei răspunsului în frecvență, se dovedește superior celorlalte nuclee în anumite condiții legate de raportul dintre banda de frecvență a semnalului original și frecvența de eşantionare.

In capitolul 3:

3.1. Se analizează o relație de estimare a performanțelor sistemelor de interpolare într-o singură fază, utilizată în literatură și derivată din metoda de evaluare a erorii medii pătratică în sens statistic. Se scoat în evidență proprietățile acestei relații aplicabile în cazul în care se cunosc expresia analitică a nucleului utilizat și funcția de autocorelație a semnalului original.

3.2. Se face o extindere a acestei relații pentru cazul interpolării în două faze consecutive, obținându-se astfel o metodă de analiză unitară a sistemelor de interpolare combinată (numerică și analogică) aplicabilă și în cazul interpolării numerice iterative corespunzătoare interpolatoarelor numerice conectate în cascadă ("multistage").

3.3. Se face o interpretare a erorii totale de interpolare în cazul sistemelor conectate în cascadă evidențindu-se posibilitatea ca eroarea totală să crească față de cazul interpolării într-o singură fază.

In capitolul 4:

4.1. Se stabilesc condițiile de aplicare a relațiilor dezvoltate în capitolul precedent și se definesc trei tipuri de densități spectrale de putere utilizabile ca elemente de test pentru situația în care nu se cunoaște funcția de autocorelație a semnalului original.

4.2. Se aplică metoda dezvoltată anterior la mai multe tipuri de nuclee polinomiale de același ordin sau de ordin diferit și se scoate în evidență necesitatea calculării valorilor raportului  $\Gamma_e^2(\xi)/\Gamma_p^2$ , într-un număr suficient de puncte, pentru a se obține forma de variație a erorii între două eșantioane consecutive.

4.3. Se compară rezultatele obținute și se stabilește o ierarhie a diferitelor nuclee, pentru condițiile de test considerate, confirmindu-se superioritatea nucleului original, definit în capitolul al doilea, față de celelalte nuclee polinomiale de ordinul trei, într-un anumit domeniu de utilizare, în funcție de valoarea parametrului  $A = \omega_s/2\omega_c$ .

4.4. Se aplică metoda de estimare dezvoltată anterior pentru cazul sistemelor de interpolare combinate (interpolare numerică urmată de conversie N/A) și se obțin concluzii importante privind nivelul total al erorii și posibilitățile de reducere a acesteia sub o anumită limită impusă.

4.5. Se calculează și se compară nivelul erorilor pentru cazul interpolării numerice în două faze consecutive și se stabilesc concluzii privind nivelul erorilor și combinațiile optimale de nuclee.

In capitolul 5:

5.1. Se analizează metoda de obținere a nucleelor optimale, din punct de vedere al erorii medii pătratice, se calculează în diferite cazuri concrete nivelul erorilor corespunzătoare și se pune în evidență superioritatea nucleelor optimale față de cele polinomiale în privința nivelului erorilor pentru condiții de lucru fixate anterior (structură spectrală și parametru A).

5.2. Se constată dezavantajele pe care le prezintă nucleele optimale în legătură cu nivelul erorilor în situația modificării structurii spectrale a secvenței originale sau a parametrului A, față de situația inițială, pentru care au fost

elaborate nucleele optimale respective.

5.3. Se calculează nivelul erorilor pentru sisteme de interpolare combinată (optimal + CNA) și se stabilesc condițiile de utilizare eficientă în aceste cazuri.

5.4. Se elaborează o metodă de construcție a nucleului optimal pentru faza a doua de interpolare, în cazul sistemelor de interpolare numerică în cascadă, demonstrându-se conservarea în acest caz a nivelului erorii generate de prima fază de interpolare.

5.5. Se estimează nivelul erorilor unui sistem de interpolare în două faze care utilizează în ambele faze nuclee optimale.

In capitolul 6:

6.1. Se analizează posibilitățile practice de implementare a nucleelor de interpolare în funcție de tipul de construcție adoptat pentru realizarea sistemului de interpolare: sisteme hard, procesare numerice de semnal, sisteme de calcul.

6.2. Se prezintă principiile de construcție și funcționare ale generatoarelor de semnale de formă arbitrară și se analizează diferite metode de implementare a algoritmilor de interpolare.

6.3. Se elaborează un program BASIC care asigură utilizarea oricărora tipuri de nucle (polinomiale sau optimale) și realizează un algoritm de interpolare iterativă. Intrucit timpul necesar în procesul de interpolare pentru calculul celor 8192 de eșantioane, utilizate în faza de generare și stocate în 8 kocete de memorie, a rezultat de cca.20 minute, se stabilește că metoda nu este operativă.

6.4. Se elaborează o subrutină de interpolare în cod mașină (pentru microprocesorul Z80) care, utilizând nucle polinomiale de ordinul 3 pentru dublarea iterativă a numărului de eșantioane, permite reducerea timpului necesar calculelor la o secundă.

6.5. Se descrie o instalație experimentală de generare a unor semnale de formă arbitrară, construită și utilizată de autor și care are la bază un calculator personal de tipul PRAE-M din fabricația curentă a ITC - filiala Timișoara.

6.6. Se prezintă o sinteză a performanțelor nucleelor de interpolare văzute prin prisma erorilor și facilităților de implementare.

BIBLIOGRAFIE

1. B.Amazeen, P.Holloway, D.Mercer, "Monolithic D-A Converter operates on Single supply" Electronics Febr.28, 1980, pp. 125-131.
2. H.Bachmaier, R.Volmert, "Comparison of Admitances by Means of Digital Double-Sinewave Generator", IEEE Trans.Instr. and Meas. vol. IM-29 nr.4 Dec.1980, pp.370-372.
3. M.G.Bellanger, J.L.Daguet, G.P.Lepagnol, "Interpolation, Extrapolation and Reduction of Computational Speed in Digital Filters", IEEE Trans.on ASSP, vol.22, nr.4, Aug.1974, pp.231-235.
4. M.G.Bellanger, G.Bonnerot, M.Coudreuse, "Digital filtering by polyphase network: Application to Sample-rate alteration and filter banks", IEEE Trans.on ASSP, vol.24, nr.2, Apr. 1975, pp.109-114.
5. M.G.Bellanger, "Computational rate and storage estimation in multirate digital filtering with half-band filters", IEEE Trans.on ASSP, vol.25, nr.5, 1977, pp.344-347.
6. M.G.Bellanger, G.Bonnerot, "Premultiplication scheme for digital FIR Filters with applications to multirate filtering" IEEE Trans.on ASSP, vol.26, nr.1, Febr.1978, pp.50-55.
7. Beckman Technical Bulletin, Nov.1980; Microprocessor compatible CMOS 12 bit DAC.
8. P.J.Berkheut, L.D.J.Eggermont, "Digital Audio Systems", IEEE ASSP Magazine, vol.2, nr.4, Oct.1985, pp.45-67.
9. P.J.Bloom, "High-Quality Digital Audio in the Entertainment Industry: An overview of Achievements and Challenges", IEEE ASSP Magazine, vol.2, nr.4, oct.1985, pp.2-25.
10. A.P.Brokaw, "Analog Signal-Handling For High Speed and Accuracy", Analog Dialog, vol.11, nr.2, 1977.
11. P.Burton, "Generating complex waveform and vector using multiplying D/A Converters", Electronic Engineering, oct. 1981, pp.37-51.
12. D.P.Burton, A.L.Dexter, "Microprocessor Systems Hand book" Analog Device Inc., 1977.
13. Gh.Cartianu, M.Săvescu, I.Constantin, D.Stancosir, "Semnale circuite și sisteme", Editura didactică și pedagogică, București, 1980.

14. D.Caviglia, A.De Gloria și alții, "Design and Construction of an Arbitrary Waveform Generator", IEEE Trans.on Instr. and Meas., Vol.32, Sept.1983, pp.398-403.
15. D.S.Chan și alții, "Analysis of quantisation errors in the direct form for finite impulse response digital filters", IEEE Trans.on Audio Electroacoust, Vol.21, Aug.1973, pp. 334-336.
16. T.C.Chen, R.J.P. de Figueiredo, "Two dimensional interpolation by generalized Spline Filters Based on Partial Differential Equation Image Models", IEEE Trans.on ASSP, vol.33, nr.3, June 1985, pp.631-641.
17. T.C.Chen, R.J.P. de Figueiredo, "Image decimation and interpolation techniques based on frequency domain analysis", IEEE Trans.on Commun., Vol.COM-32, nr.2, Apr.1984, pp.479-484.
18. R.E. Crochiere, L.R.Rabiner, "Optimum FIR Digital Filter Implementation for Decimation, Interpolation and Narrow-band Filtering", IEEE Trans.on ASSP, vol.23, nr.5, Oct. 1975, pp.444-456.
19. R.E.Crochiere, L.R.Rabiner, "Further Considerations on the design of decimators and interpolators", IEEE Trans.on ASSP vol.24, nr.4, Aug.1976, pp.296-311.
20. R.E.Crochiere, L.R.Rabiner, "Interpolation and decimation of digital signals - A tutorial Review", Proc.of.the IEEE, vol.69, nr.3, March 1981, pp.300-331.
21. J.H.J.Dawson, "Direct digital frequency synthesizer", Wireless World, Dec.1981, pp.40-43.
22. J.M.De Carvalho, "Real-Time interpolation with slope or curvature continuity", EUSIPCO-86, the Hague (Olanda) 1986 Part.I B5, pp.97-100.
23. I.Dragu, I.M.Iosif, "Prelucrarea numerică a semnalelor discrete în timp", Ed.Militară, București, 1985.
24. D.L.Duttweiler, D.G.Messerschmitt, "Analysis of Digitally Generated Sinusoids with Application to A/D and D/A Converter Testing", IEEE Trans.on Commun., Vol.26, nr.5, May 1978.
25. T.M.Frederiksen, J.B.Cecil, "C-MOS D-A Converters match most microprocessors", Electronics, June 19, 1980, pp.140-144.

26. St. Gărlașu, "Prelucrarea în timp real a semnalelor fizice", Ed. Scrisul Românesc, Craiova, 1978.
27. T.W.Goodell, S.C.Bass, "High Quality Synthesis of Musical Voices in Discrete Time", IEEE Trans.on ASSP, vol.32, nr.3, June 1984, pp.623-633.
28. D.J.Goodman, M.J.Carey, "Nine digital filters for decimation and interpolation", IEEE Trans.on ASSP, vol.25, nr.2, Apr.1977, pp.121-126.
29. D.Grant, "Putting the AD 558 DAC PORT ON THE BUSS", Analog Dialog, vol.14, nr.2, 1980, pp.16-17.
30. U.Hakenjos, W.Srok, R.Kreiser, "User interface and software Architecture for a Data and Arbytrary Waveform Generator", Hewlett Packard Journal, Apr.1987, pp.12-20.
31. V.Harea, A.Mureșan, E.Mârza, H.Cărstea, "Sistem de achiziții de date pentru realizarea reglării automate a turăției unei mașini electrice cu comutatie statică", Volumul: Sesiunea jubiliară de comunicări științifice, Craiova, 27-28 noiembrie 1981.
32. B.Hick, "Post sampling reconstruction filter for VFsystems", Electronic Engineering, July 1978, pp.55-58.
33. J.J.Hill, "Digital Generation of a Nonlinear Time-Base", IEEE Trans.on Instr. and Meas., vol.27, nr.3, sept.1978, pp.298-300.
34. E.R.Hnatek, "A User Handbook of D/A and A/D Converters", John Wiley and Sons Inc., 1976.
35. D.F.Hoeschele, "Analog to Digital/Digital to Analog Conversion Techniques", John Wiley and Sons Inc., 1968.
36. L.L.Horowitz, "The Effects of Spline Interpolation on Power Spectral Density", IEEE Trans.on ASSP, vol.22, nr.1, Febr. 1974, pp.22-27.
37. H.S.Hou, H.C.Andrews, "Cubic Splines for image interpolation and digital filtering", IEEE Trans.on ASSP, vol.26, nr.6, Dec.1978.
38. I.Ichim, G.Marinescu, "Metode de aproximare numerică", Ed. Academiei RSR, București, 1986.
39. R.G.Keys, "Cubic Convolution interpolation for digital image processing", IEEE Trans.on ASSP, vol.26, nr.6, Dec.1981, pp.1153-1160.
40. J.S.Kriz, "A 16-bit A-D-A Conversion System for High-Fidelity Audio Research", IEEE Trans.on ASSP, vol.23, nr.1,

- Febr. 1975, pp.146-149.
41. C.Koken, "L.F.Synthesizer designed to meet automatic testing needs", Electronic Engineering, Sept.1981.
  42. B.Liu, P.A.Franaszek, "A Class of Time-varying digital filters", IEEE Trans.on Circuit Theory, vol.16, Nov.1969, pp. 467-471.
  43. H.G.Martinez, T.W.Parks, "A class of infinite-duration impulse response filters for sampling rate reduction", IEEE Trans.on Audio Electroacoust, Vol.21, Aug.1973, pp.334-336.
  44. L.Mattera, "Data converters Patch onto microprocessors", Electronics, Sept.1, 1977, pp.81-90.
  45. J.Max, "Méthodes et Techniques de traitement du singal et applications aux mesures phisiques", Ed.Massen, Paris, 1977.
  46. E.Mărza, V.Harea, "Convertor N/A de viteză cu componente discrete, Limitări privind performanțele CNA", Vol. Simpozionul Național de Teoria Sistemelor, Craiova, oct.1986,
  47. E.Mărza, V.Harea, "Asupra reconstituirii semnalelor eșantionate utilizând convertoare N/A cu interpolarare", Vol. Simpozionul Național de Teoria Sistemelor, Craiova, oct.1984.
  48. E.Mărza, T.Jurca, "Determinarea erorilor de neliniaritate ale convertoarelor numeric-analogice", Sesiunea de comunicări "Teoria și tehnica măsurării", Buziaș, 3-5 dec.1985.
  49. E.Mărza, "Construcția unui nucleu de interpolare de ordinul 3 cu performanțe ridicate", Vol. Sesiunea de comunicări "Realizări în domeniul electronicii profesionale" Snagov Parc, 3-5 sept.1987.
  50. E.Mărza, "Criteriu rapid de estimare a performanțelor nucleelor de interpolare", Vol. Sesiunsa de comunicări "Realizări în domeniul electronicii profesionale", Snagov Parc, 3-5 sept.1987.
  51. J.H.Mc.Clellan, T.W.Parks, L.R.Rabiner, "A computer program for design optimum FIR linear phase digital filters", IEEE Trans.on Audio Electroacoust. Vol.21, Dec.1973, pp. 506-526.
  52. G.H.Mc.Nally, "Digital Audio in Broadcasting", IEEE Trans. on ASSP Magazine, vol.2, nr.4, oct.1985, pp.26-44.
  53. F.Mesch, "Sampling, Scanning and interpolation errors in digital processing of two-dimensional signals", IMEKO Symp. on Comp.Meas., Dubrovnik, 1981, pp.83-88.

54. R.A.Meyer, C.S.Burrus, "A unified analysis of multirate time-varying digital filters", IEEE Trans.on Circ.and Systems, vol.22, March 1975, pp.162-168.
55. Gh.Micula, "Funcții Spline și aplicații", Ed.Tehnică, București, 1978.
56. Gh.Mitrofan, "Televiziunea digitală", Ed.Academiei RSR, București, 1986.
57. S.Nakamura, S.Yasuda, "An approach to the Realization of a Programmable FIR Digital Filters", IEEE Trans.on ASSP, vol. 33, nr.3, June 1985.
58. J.Nakazoe, A.Minom, "A 20-bit Digital to Analog Converter Using a Magnetic Modulator" IEEE Trans.on Instr.and Meas., vol.32, nr.1, March.1983, pp.187-190.
59. National Semiconductor Catalogue, "Micro DAC: Double-Buffered D To A Converters P.Compatible", oct.1980..
60. U.Neumann, M.Vogt, F.Brilhaus, F.Husfeld, "Digital Signal generator combines Digital and Analog Worlds", Hewlett Packard Journal, Apr.1987, pp.4-12.
61. Y.Neuvo, C.Y.Deng, S.K.Mitra, "Interpolated Finite impulse Response Filters", IEEE Trans.on ASSP, Vol.32, nr.3, June 1984, pp.563-570.
62. G.Oetken, T.W.Parks, H.W.Schussler, "New Results in the design of Digital Interpolators", IEEE Trans.on ASSP, vol.23, June 1975, nr.3, pp.301-309.
63. G.Oetken, "New approach for the design of digital interpolating filters", IEEE Trans.on ASSP, vol.27, Dec.1979, ns. 6, pp.637-643.
64. N.M.Oldham, "A 50-ppm AC Reference Standard which spans 1 Hz to 50 Hz", IEEE Trans.on Instr.and Meas., vol.32, nr. 1, March.1983, pp.176-179.
65. A.W.Oppenheim, R.W.Schafer, "Digital Signal processing", Prentice Hall, 1975.
66. A.W.Oppenheim, A.S.Wilsky, I.T.Young, "Signal and Systems", Prentice Hall, 1983.
67. E.Palmieri, "Sampling theorem for Polynomial interpolation" IEEE Trans.on ASSP, vol.34, nr.4, Aug.1986, pp.846-857.
68. A.Papoulis "The Fourier integral and its applications", Mc. Graw Hill Book Comp., 1962.
69. A.Papoulis "Error analysis in Sampling Theory", Proc. of the IEEE, July 1966.

70. A.Papoulis, "Signal Analysis", Mc.Graw Hill Book Comp., 1977..
71. T.W.Parks, J.H.Mc.Clellan, "Chebyshev approximation for nonrecursive digital filters with linear phase", IEEE Trans. on Circuit Theory, vol.19, March 1972.
72. T.W.Parks, D.P.Kolba, "Interpolation minimizing maximum normalized error for band-limited signals", IEEE Trans.on ASSP, vol.26, nr.3, Aug. 1978, pp.381-384.
73. A.Peled, B.Liu,"A New Hardware realisation of Digital Filters", IEEE Trans.on ASSP, vol.22, nr.6, Dec. 1974, pp.456 -462.
74. D.P.Petersen, D.Middleton, "Linear interpolation, Extrapolation and Prediction of Random Space-Time Fields with a Limited Domain of Measurement", IEEE Trans.on Inform.Theory, vol. , nr.1, Jan.1965, pp.18-30.
75. J.R.Pierce, F.C.Posner, "Introduction to Communication Science and Systems", Plenum Pres, N.Y., 1980.
76. A.Policec, "Tehnica modernă a comunicațiilor", Editura I.P. Timișoara, 1982 - curs.
77. E.Pop, V.Stoica, "Principii și metode de măsurare numerică", Ed.Facla, 1977, Timișoara.
78. E.Pop, V.Stoica și colectiv, "Tehnici moderne de măsurare", Ed.Facla, Timișoara, 1983.
79. E.Pop și colectiv, "Metode în prelucrarea numerică a semnalelor", Ed.Facla, Timișoara, 1986.
80. W.K.Pratt, "Digital Image Processing", John Wiley and Sons, 1978.
81. L.R.Rabiner, B.Gold, "Theory and Application of digital signal processing", Prentice Hall, 1975.
82. L.R.Rabiner, R.E.Crochiere, "A Novel Implementation for Narrow-Band FIR Digital Filters", IEEE Trans.on ASSP, vol. 23, No.5, Dec.1975, pp.457-464.
83. O.Radu, Gh.Săndulescu, "Filtre numerice, aplicatii", Ed. tehnică, Bucureşti, 1979.
84. T.A.Ramstad, "Digital two-rate IIR and hybrid IIR/FIR filters for Sampling rate conversion", IEEE Trans.on Commun., vol.30, July 1982, pp.1466-1476.
85. T.A.Ramstad, "Digital method for conversion between Arbitrarily Sampling Frequencies", IEEE Trans.on ASSP, vol.32, nr.3, June 1984, pp.577-591.

86. D.J.Quazby, "Signal Processor Chip", Granada Publishing Ltd, 1984.
87. M.Sâmpăleanu, "Circuite pentru conversia datelor", Editura Tehnică, Bucureşti, 1983.
88. R.W.Schafer, L.R.Rabiner, "A Digital Signal Approach to Interpolation", Proc. of the IEEE, vol.61, nr.6, June 1973, pp.692-702.
89. S.M.Schlosser, "The Third Generation of ATE", IEEE Trans. on Instr. and Meas., vol.27, June 1978, nr.2, pp.122-126.
90. H.Schmid, "Electronic Analog/Digital Conversions", van Nostrand Reinhold Comp., 1970.
91. J.A.Schoeff, "A microprocessor Compatible High-Speed 8 bit DAC", IEEE Journal of Solid State Circ., vol.13, nr.6, Dec.1978, pp.746-753.
92. J.A.Schoeff, "Standard bipolar process yields 12-bit monotonic d-a converter", Electronics, Dec.6, 1979, pp.152-158.
93. H.K.Schoenwetter, "An RMS Digital Voltmeter/Calibrator for very Low Frequencies", IEEE Trans.on Instr. and Meas., vol. 27, nr.3, Sept. 1988, pp.259-264.
94. H.K.Schoenwetter, "NBS Provides Voltage Calibration Service in 0,1-10 Hz Range Using AC Voltmeter/Calibrator", IEEE Trans.on Instr.and Meas., vol.28, nr.4, Dec.1979, pp.327-331.
95. H.K.Schoenwetter, "A High-Speed Low-noise 18 bit Digital to Analog Converter", IEEE Trans.on Instr.and Meas., vol. 27, nr.4, Dec.1978, pp.413-417.
96. H.Schumny, "Signal-Ubertragung", F.Wieweg and Sons Verlag, 1978.
97. M.Schwartz, L.Shaw, "Signal Processing", Mc.Graw Hill Inc. 1975.
98. T.A.Seim, "Numerical interpolation for P based Systems", Computer Design, Febr.1978, pp.111-116.
99. B.Siedel, "Interpreting ADC and DAC Specifications", Electronic Engineering, May 1978, pp.54-60.
100. L.Shapiro, "Sampling theory in digital processing", Electronic Engineering, May 1978, pp.45-50.
101. Al.Spătaru, "Teoria transmiterii informației", Ed.Didactică și pedagogică, București, 1983.

102. D.Stamoxir, O.Stănsilă, "Metode matematice în teoria semnalelor", Ed.Tehnică, Bucureşti, 1980.
103. D.S.Stearns, "Digital Signal Analysis", Hayden Book Comp., 1975.
104. V.Stoica, "Transmiterea informaţiei continue", Ed. IFT, curs, 1978.
105. I.G.Sabac, P.Cocârlan, "Matematici speciale", vol.II, Ed. Didactică și pedagogică, Bucureşti, 1983.
106. R.P.Talambiras, "Digital to Analog Converters: Some problems in producing high-fidelity signals", Computer Design Jan. 1976, pp.63-69.
107. F.N.Trofimenkoff, R.H.Smallwood, A.F.D'sa, "Use of Digital to Analog Converters in Circuit Design", IEEE Trans.on Instr. and Meas., vol.26, nr.4, Dec.1977, pp.342-345.
108. H.Uzkowitz, "Parallel Realisation of Digital Interpolation Filters for Increasing the Sampling rate", IEEE Trans.on Circ. and Syst., vol.22, nr.2, Febr.1975.
109. J.Wynne, "12 bit CMOS M-DAC interfaces directly with Ps", Analog Dialog, vol.12, nr.2, 1980, pp.9-10.

A . N . E . X . A

Pentru înțelegerea funcționării instalației experimentale descrise în paragraful 6.2, în continuare se prezintă gestionarea eșantioanelor și datelor initiale în memoria calculatorului precum și subrutina de răsfirare și interpolare utilizată pentru implementarea iterativă a unui nucleu polinomial.

**INTRODUCEREA DATELOR INITIALE PRIN PROGRAMUL PRINCIPAL  
(BASIC)**

&5DB8	N <sub>C</sub>	00	XX	XX	XX	XX	XX	XX
&5DF0	N	00	F8	5D	XX	XX	XX	XX
&5DF8	XX	XX	XX	XX	XX	XX	XX	XX
⋮								

&5DF8 : prima adresă a tabelului

N<sub>C</sub>00 : numărul curent în ciclul de interpolare N<sub>C</sub>=N...0

N 00 : numărul initial de eșantioane introduse (2 octeți)

Rezultatul răsfirării - interpolării se obține începând cu &5DF8

În funcționare:

⋮

&5DE8	N <sub>C</sub>	00	XX	XX	XX	XX	XX	XX
&5DFO	N	00	(F8	5D)	prima adresă a ciclului de in-	XX	XX	XX

{  
terpolare  
XX

&5DF8	E <sub>S.1</sub>	E <sub>S.2</sub>	E <sub>S.3</sub>	⋮	⋮	⋮	⋮	⋮
-------	------------------	------------------	------------------	---	---	---	---	---

⋮

ZONA UTILĂ

&7DFO	⋮	⋮	⋮	⋮	⋮	⋮	⋮	⋮
-------	---	---	---	---	---	---	---	---

&7DF8	XX							
-------	----	----	----	----	----	----	----	----

⋮

eșantioane pozitionate pentru realizarea interpolării

PROGRAMUL SUBRUTINA DE RASFIRARE - INTERPOLARE

Limbaj asamblare	Cod mașină	Comentarii
LD DE,(&5DF2)	ED 5B F2 5D	DE ← &5DF8: prima adresă a tabelului
LD HL,(&5DFO)	2A F0 5D	HL ← NI (numărul inițial de eșantioane)
ADD HL,HL	29	HL ← 2 NI
ADD HL,DE	19	Se adună la adresa de început a tabelului cantitatea 2 NI
DEC HL	2B	Se decrementează de 2 ori
DEC HL	2B	pentru ca în HL să avem adresa ultimă a tabelului răsfirat
EX DE,HL	FB	în DE: ultima adresă din tabel în HL: prima adresă a tabelelor
LD BC,(&5DFO)	ED 4B F0 5D	încarcă în BC numărul inițial de eșantioane NI
ADD HL,BC	09	Se obține în HL ultima adresă a tabelului nerăsfirat
DEC HL	2B	
DEC BC	0B	Se obține în BC numărul (NI-1) care reprezintă numărul de pași ai unui cielu
SLDD	ED A8	(DE) ← (HL), DE ← DE-1, HL ← HL-1, BC ← BC-1. Registrul BC e pe post de contor
DEC DE	1B	DE are pasul de decrementare în buclă de 2 (este răsfirat)

LD A,C	79	Modalitate de verificare dacă BC=0
OR B	B0	Ciclul se încheie după NI pasi, în HL și DE avem prima adresă a tabelelor
JP NZ,*	C2 13 5D	
LD HL,(&5DF0)	2A F0 5D	Incarcă HL cu numărul NI
ADD HL,HL	29	Inscrie în HL numărul 2*NI
DEC DF	1B	In DF se obține adresa la care se
DEC DF	1B	înscriu (cu 2 adrese mai "sus" decât adresa de început în tabel)
ADD HL,DE	19	In HL se trece adresa de la care citesc în vederea înscrerii în locul dat de DE
EX DE,HL	EB	HL: adresa de înscrere DE: adresa de citire
LD A,(DE)	1A	Conținutul locației de adresă dată de DE (citire) e trecut în registrul A
LD (HL),A	77	Conținutul registrului A e trecut în locația de adresă dată de HL (înscrere)
INC HL	23	In HL se obține adresa de citire
INC HL	23	la aranjarea celui de-al 2-lea element din tabel (prelungire de la sfîrșitul tabelului)
INC DE	13	Se ajunge cu DE la adresa de înscrere
INC DE	13	
EX DE,HL	EB	HL: adresa de înscrere DE: adresa de citire
LDA,(DE)	1A	Ce se citește de la adresa de citire, se înscrive la adresa de înscrere
LD (HL),A	77	
INC HL	23	Se ajunge cu HL la noua adresă la care înscriv (pasul 3 în aranjarea de la capetele tabelului)
INC HL	23	

INC DE	13	In DE se obține adresa de la care se face citirea
INC .DE	13	
LDA,(DE)	1A	In locația de adresă dată de 'HL (înscriere) e depus ce s-a citit din locația de adresă dată de DE
LD(HL),A	77	
LD HL,(&5DF2)	2A F2 5D	Se încarcă HL cu conținutul locației de adresă 5DF2, adică cu 5DF8 care reprezintă adresa de început a tabelului HL-&45DF8
LD (&5DF4),HL	22 F4 5D	5DF8 e depus la adresa &5DF4, acolo unde se păstrează prima adresă a unui ciclu de interpolare
LD HL,(&5DF4)	2A F4 5D	Încarcă în HL cantitatea 5DF8; adresa de început, ulterior alte adrese de început ale unui ciclu de interpolare
XOR A	AF	Se anulează conținutul lui A A $\leftarrow$ 0
ADD A,(HL)	86	Se încarcă în A conținutul adresei de început &5DF8: cantitatea $x_1$
INC HL	23	In HL se ajunge la adresa de la care se extrage cantitatea $x_2$
INC HL	23	
ADD A,(HL)	86	In A se înscrie rezultatul adunării $x_1+x_2$ . CY e afectat
LD C,A	4F	Se trece rezultatul în registrul C
ADC A,A	8F	Pentru separarea lui CY: A $\leftarrow$ A+A+CY
SUB C	91	A $\leftarrow$ A+CY
SUB C	91	A $\leftarrow$ CY
LD B,A	47	Bitul CY e trecut în registrul B
LD H,B	60	In HL obținem rezultatul exact
LD L,C	69	$(x_1+x_2)$ în bitul 1 avind bitul de CY rezultat la adunare
RL C	CB 11	Rotire stînga C prin CY
RL B	CB 10	Rotire stînga B prin CY anterior BC $\leftarrow 2^m(x_1+x_2)$

RL C	CB 11	BC: $\leftarrow 4*(x_1 \wedge x_2)$
RL B	CB 10	
ADD HL, BC	09	$HL \leftarrow 4*(x_1 + x_2) + (x_1 + x_2) = 5*(x_1 + x_2)$
EX DE, HL	EB	HL: nesemnificativ DE: rezultatul $5*(x_1 + x_2)$
LD HL, (&5DF4)	2A F4 5D	Se încarcă în HL adresa de început în cadrul ciclului de interpolare
DEC HL	2B	In HL avem adresa lui $x_0$
DEC HL	2B	
XOR A	AF	Se anulează conținutul registrului A
ADD A, (HL)	86	Se încarcă A cu cantitatea $x_0$
INC HL	23	
INC HL	23	In HL se obține adresa lui $x_3$ (pla- sată cu 6 adrese mai "în față" de- cât adresa lui $x_0$ )
INC HL	23	
INC HL	23	
INC HL	23	
ADD A, (HL)	86	In A se încarcă suma $x_0 + x_3$ . CY e afectat
LD C, A	4F	Salvează rezultatul fără CY în re- gistrul C
ADC A, A	8F	Pentru separarea lui CY: $A \leftarrow A + A + CY$
SUB C	91	$A \leftarrow A + CY$
SUB C	91	$A \leftarrow CY$
LD B, A	47	Salvez CY în registrul B. În regis- trul BC am rezultatul complet $(x_0 + x_3)$
XOR A	AF	Anulează conținutul lui A și pune fanionul CY pe 0
EX DE, HL	EB	In HL se obține valoarea $5*(x_1 + x_2)$ In DE: nesemnificativ
SBC HL, BC	ED 42	$HL \leftarrow HL - BC - \underline{CY}$ . In HL se obține $5*(x_1 + x_2) - (x_0 + x_3)$

RR H	CB 1C	In HL se obține împărțirea cu 8 a cantității avute inițial.
RR L	CB 1D	
RR H	CB 1C	In HL avem: $\frac{1}{8} [5m(x_1+x_2)-(x_0+x_3)]$
RR L	CB 1D	
RR H	CB 1C	
RR L	CB 1D	
LD B,L	45	Salvează rezultatul în registrul B (rezultatul se află doar în registrul L)
LD HL,(&5DF4)	2A F4 5D	Se încarcă HL cu prima adresă a tabelului la un ciclu de interpolare
INC HL	23	In HL avem locul de inscriere al rezultatului interpolării aflat în B
LD (HL),B	70	Se depune rezultatul interpolării la locul de inscriere pentru care s-a făcut interpolarea
LD HL,(&5DF4)	2A F4 5D	Încarcă în HL: prima adresă a tabelului la un ciclu de interpolare
INC HL	23	In HL se obține prima adresă a tabelului la următorul ciclu pe care o inscriu în locația rezervată adreselor de început, deci la adresa &5DF4
INC HL	23	
LD (&5DF4),HL	22 F4 5D	
LD HL,(&5DE8)	2A E8 5D	Se scade din conținutul locației de adresă 5DE8 (numărul curent în ciclul de interpolare), o unitate după care se inscrie în același loc.
DEC HL	2B	
LD (&5DE8),HL	22 E8 5D	
LD (&5DEA),HL	22 EA 5D	
LD A,L	7D	Se verifică dacă conținutul lui HL a ajuns la 0 (dacă s-au făcut toate interpolările din cadrul unui ciclu de interpolare cu un număr de eșanțioane
OR H	B4	
JP NZ,m	C2 38 5D	

LD HL,(&5DFO)	2A F0 5D	După terminarea unui ciclu de interpolare, se dublează numărul de eșantioane care deci se înscriu la adresa rezervată: &5DFO
ADD HL,HL	29	
LD &5DFO,HL	22.F0 '5D	
	...	
LD &5DE8,HL	22 B8 5D	Același număr nou de eșantioane se trece și în locația de adresă &5DE8 rezervată numărului curent în ciclul de interpolare (scade de la N la 0)
EX DE,HL	FB	DE: numărul nou la începutul unui nou ciclu de interpolare HL: nesemnificativ
LD HL,00 20	21 00 20	Se înscrie în HL valoarea 00 20 H reprezentând limita superioară a numărului de eșantioane cu care se poate lucra
SCF	37	Pun fanionul CY pe 0
CCF	3F	
SBC HL,DE	ED 52	Se verifică dacă s-a ajuns, prin dublarea numărului eșantioanelor, la valoarea limită a numărului fixată.
JP NZ, &5D00	C2 00 5D	Dacă nu se reia un ciclu complet de răsfirare-interpolare
RET	C9	Retur în programul principal

DISPUNEREA IN MEMORIA PRAE-M A SUBRUTINELOR

SUBRUTINA DE RASFIRARE : &5D00 ... &5D31  
SUBRUTINA DE INTERPOLARE: &5D32 ... &5DA6

&5D00	ED	5B	F2	5D	2A	F0	5D	29
&5D08	19	2B	2B	EB	ED	4B	F0	5D
&5D10	09	2B	0B	ED	A8	1B	79	B0
&5D18	C2	13	5D	2A	F0	5D	29	1B
&5D20	1B	19	EB	1A	77	23	23	13
&5D28	13	EB	1A	77	23	23	13	13
&5D30	1A	77	2A	F2	5D	22	F4	5D
&5D38	2A	F4	5D	AF	86	23	23	86
&5D40	4F	8F	91	91	47	60	69	CB
&5D48	11	CB	10	CB	11	CB	10	09
&5D50	FB	2A	F4	5D	2B	2B	AF	86
&5D58	23	23	23	23	23	23	86	4F
&5D60	8F	91	91	47	AF	EB	ED	42
&5D68	CB	1C	CB	1D	CB	1C	CB	1D
&5D70	CB	1C	CB	1D	45	2A	F4	5D
&5D78	23	70	2A	F4	5D	23	23	22
&5D80	F4	5D	2A	EB	5D	2B	22	E8
&5D88	5D	22	EA	5D	7D	B4	C2	38
&5D90	5D	2A	F0	5D	29	22	F0	5D
&5D98	22	EB	5D	EB	21	00	20	37
&5DA0	3F	ED	52	C2	00	5D	C9	